

Siehe ähnliche Dateien: <http://www.ps.bam.de/ZG90/>; www.ps.bam.de/ZG.HTM
Technische Information: [http://www.ps.bam.de/Version 2.1, 10=1, 1](http://www.ps.bam.de/Version%201.10%1.1)

BAM-Registrierung: 20071001-ZG90/10L/L90G00NA.PS.TXT BAM-Material: Code=rha4ta
Anwendung für Beurteilung und Messung von Drucker- oder Monitorsystemen

Eingabe: Farbmétrisches Offset-Reflektiv-System ORS18

für Buntton $h^* = lab^*h = 38/360 = 0.105$

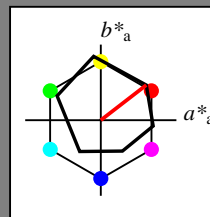
lab*tch und lab*nch

D65: Buntton O

LCH*Ma: 52 76 38

olv*Ma: 1.0 0.0 0.0

Dreiecks-Helligkeit t^*



%Umfang

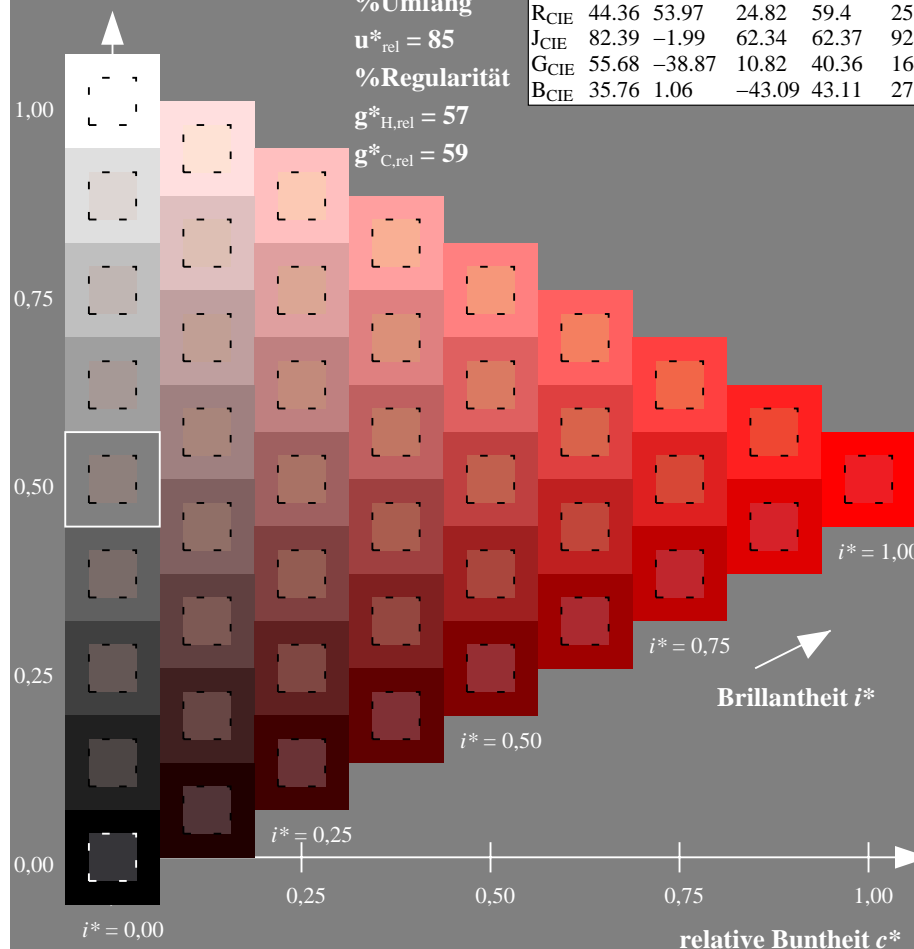
$$\mathbf{u}_{\text{rel}}^* = 85$$

%Regularität

$$g^*_{H,rel} = 57$$

$g^*_{C_{rel}} = 59$

ORS18; adaptierte CIELAB-Daten						
	L^*_a	a^*_a	b^*_a	$C^*_{ab,a}$	$h^*_{ab,a}$	
O _{Ma}	51.74	60.16	46.48	76.02	38	
Y _{Ma}	90.77	-9.44	84.41	84.94	96	
L _{Ma}	54.46	-57.8	32.16	66.15	151	
C _{Ma}	61.56	-27.91	-41.41	49.95	236	
V _{Ma}	31.3	28.61	-40.85	49.88	305	
M _{Ma}	51.91	69.26	-7.69	69.68	354	
N _{Ma}	24.2	0.0	0.0	0.0	0	
W _{Ma}	95.41	0.0	0.0	0.0	0	
R _{CIE}	44.36	53.97	24.82	59.4	25	
J _{CIE}	82.39	-1.99	62.34	62.37	92	
G _{CIE}	55.68	-38.87	10.82	40.36	164	
B _{CIE}	35.76	1.06	-43.09	43.11	271	



ZG900-7N, 9stufige Reihen für konstanten CIELAB Buntton $38/360 = 0.105$ (links)

Seite 1/36

BAM-Prüfvorlage ZG90: Farbmatrik-Systeme, Seite 1/36

D65: 9 und 16stufige Farbreihen für 6 Geräte-Bunttöne

Ausgabe: Farbmétrisches Offset-Reflektiv-System ORS18

für Buntton $h^* = lab^*h = 38/360 = 0.105$

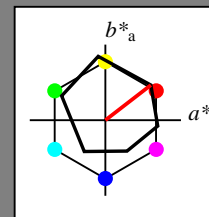
*lab*tch* und *lab*nch*

D65: Buntton O

LCH*Ma: 52 76 38

olv*Ma: 1.0 0.0 0.0

Dreiecks-Helligkeit t^*



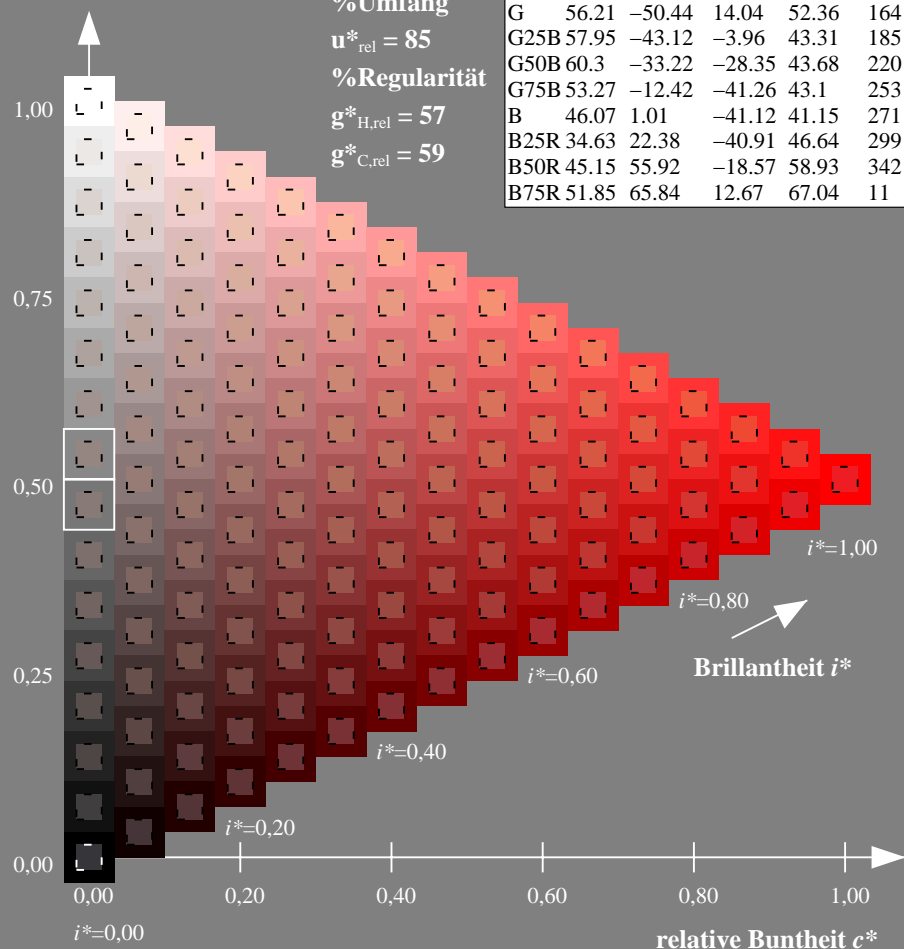
%Umfang

$$\mathbf{u}_{\text{rel}}^* = 85$$

%Regularität

$$g^*_{H,rel} = 57$$
$$g^*_{C,rel} = 59$$

ORS18; adaptierte CIELAB-Daten					
	L^*_a	a^*_a	b^*_a	$C^*_{ab,a}$	$h^*_{ab,a}$
R	51.79	63.09	29.02	69.44	25
R25J	53.73	56.6	48.42	74.48	41
R50J	65.47	35.67	59.82	69.65	59
R75J	76.51	15.98	70.55	72.34	77
J	86.93	-2.58	80.67	80.71	92
J25G	84.92	-17.23	75.99	77.92	103
J50G	73.11	-32.96	59.0	67.58	119
J75G	60.06	-50.34	40.22	64.44	141
G	56.21	-50.44	14.04	52.36	164
G25B	57.95	-43.12	-3.96	43.31	185
G50B	60.3	-33.22	-28.35	43.68	220
G75B	53.27	-12.42	-41.26	43.1	253
B	46.07	1.01	-41.12	41.15	271
B25R	34.63	22.38	-40.91	46.64	299
B50R	45.15	55.92	-18.57	58.93	342
B75R	51.85	65.84	12.67	67.04	411



ZG900-7N, 16stufige Reihen für konstanten CIELAB Buntton $38/360 = 0.105$ (rechts)

Eingabe: *rgb / cmv0 set(rgb/cmyk)color*

Ausgabe: keine Eingabeänderung

Eingabe: Farbmimetrisches Offset-Reflektiv-System ORS18

für Buntton $h^* = lab^*h = 96/360 = 0.268$

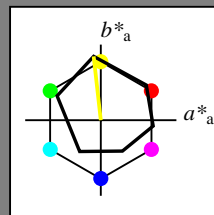
lab^*tch und lab^*nch

D65: Buntton Y

LCH*Ma: 91 85 96

olv*Ma: 1.0 1.0 0.0

Dreiecks-Helligkeit t^*



%Umfang

$u^*_{rel} = 85$

%Regularität

$g^*_{H,rel} = 57$

$g^*_{C,rel} = 59$

ORS18; adaptierte CIELAB-Daten

	$L^*=L^*_a$	a^*_a	b^*_a	$C^*_{ab,a}$	$h^*_{ab,a}$
O _{Ma}	51.74	60.16	46.48	76.02	38
Y _{Ma}	90.77	-9.44	84.41	84.94	96
L _{Ma}	54.46	-57.8	32.16	66.15	151
C _{Ma}	61.56	-27.91	-41.41	49.95	236
V _{Ma}	31.3	28.61	-40.85	49.88	305
M _{Ma}	51.91	69.26	-7.69	69.68	354
N _{Ma}	24.2	0.0	0.0	0.0	0
W _{Ma}	95.41	0.0	0.0	0.0	0
R _{CIE}	44.36	53.97	24.82	59.4	25
J _{CIE}	82.39	-1.99	62.34	62.37	92
G _{CIE}	55.68	-38.87	10.82	40.36	164
B _{CIE}	35.76	1.06	-43.09	43.11	271

Ausgabe: Farbmimetrisches Offset-Reflektiv-System ORS18

für Buntton $h^* = lab^*h = 96/360 = 0.268$

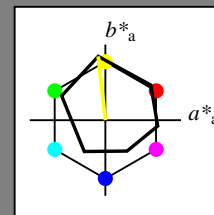
lab^*tch und lab^*nch

D65: Buntton Y

LCH*Ma: 91 85 96

olv*Ma: 1.0 1.0 0.0

Dreiecks-Helligkeit t^*



%Umfang

$u^*_{rel} = 85$

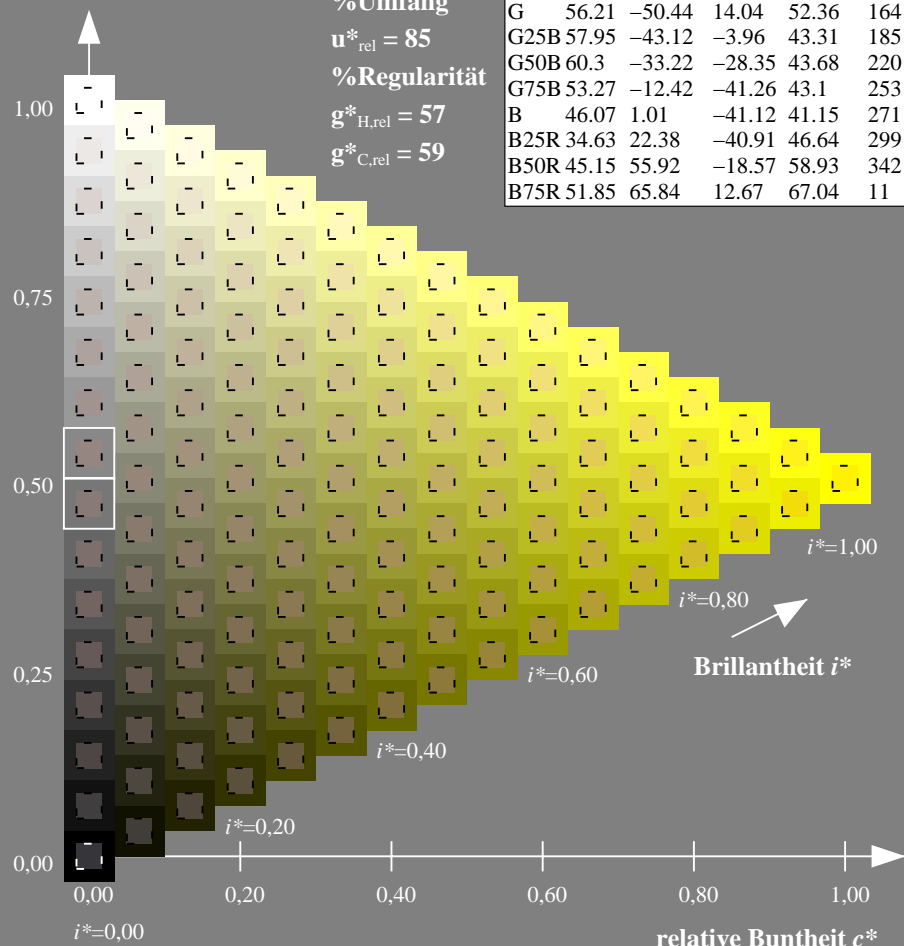
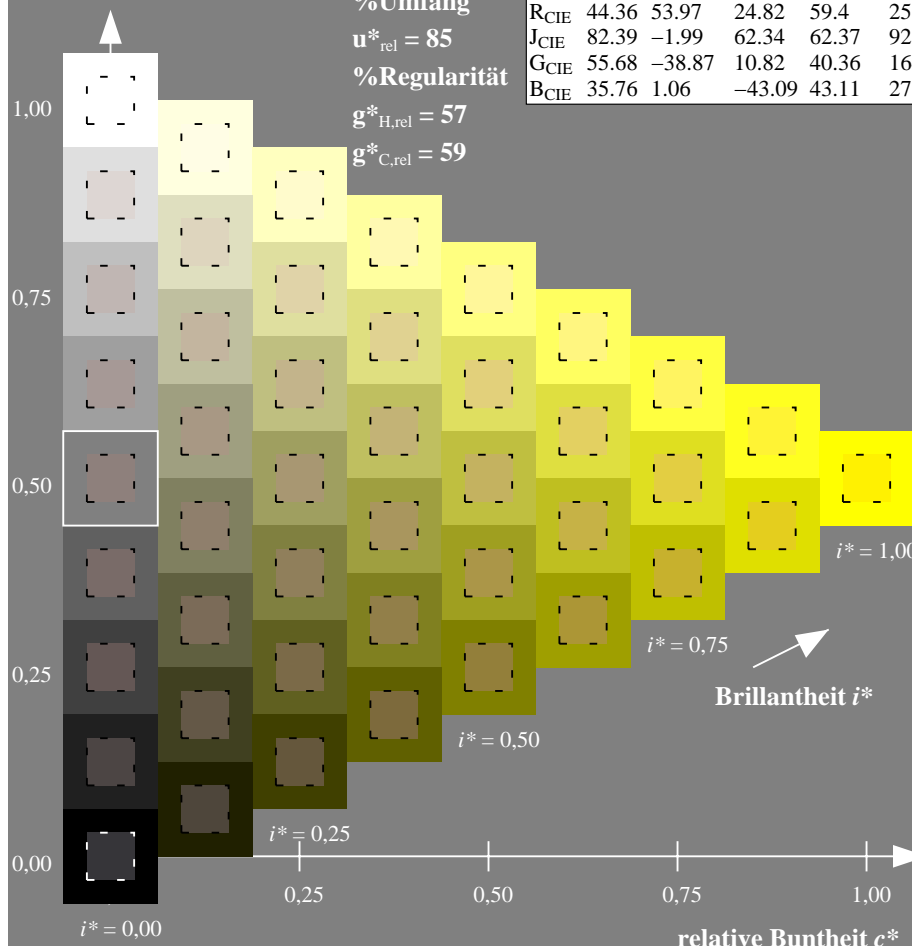
%Regularität

$g^*_{H,rel} = 57$

$g^*_{C,rel} = 59$

ORS18; adaptierte CIELAB-Daten

	$L^*=L^*_a$	a^*_a	b^*_a	$C^*_{ab,a}$	$h^*_{ab,a}$
R	51.79	63.09	29.02	69.44	25
R25J	53.73	56.6	48.42	74.48	41
R50J	65.47	35.67	59.82	69.65	59
R75J	76.51	15.98	70.55	72.34	77
J	86.93	-2.58	80.67	80.71	92
J25G	84.92	-17.23	75.99	77.92	103
J50G	73.11	-32.96	59.0	67.58	119
J75G	60.06	-50.34	40.22	64.44	141
G	56.21	-50.44	14.04	52.36	164
G25B	57.95	-43.12	-3.96	43.31	185
G50B	60.3	-33.22	-28.35	43.68	220
G75B	53.27	-12.42	-41.26	43.1	253
B	46.07	1.01	-41.12	41.15	271
B25R	34.63	22.38	-40.91	46.64	299
B50R	45.15	55.92	-18.57	58.93	342
B75R	51.85	65.84	12.67	67.04	11



ZG900-7N, 9stufige Reihen für konstanten CIELAB Buntton 96/360 = 0.268 (links)

Seite 2/36

ZG900-7N, 16stufige Reihen für konstanten CIELAB Buntton 96/360 = 0.268 (rechts)

BAM-Prüfvorlage ZG90; Farbmimetrik-Systeme, Seite 2/36

D65: 9 und 16stufige Farbreihen für 6 Geräte-Bunttöne

Eingabe: $rgb / cmy0$ set($rgb/cmyk$)color

Ausgabe: keine Eingabeänderung

Eingabe: Farbmimetrisches Offset-Reflektiv-System ORS18

für Buntton $h^* = lab^*h = 151/360 = 0.419$

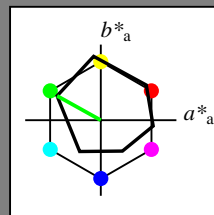
lab^*tch und lab^*nch

D65: Buntton L

LCH*Ma: 54 66 151

olv*Ma: 0.0 1.0 0.0

Dreiecks-Helligkeit t^*



%Umfang

$u^*_{rel} = 85$

%Regularität

$g^*_{H,rel} = 57$

$g^*_{C,rel} = 59$

ORS18; adaptierte CIELAB-Daten

	$L^*=L^*_a$	a^*_a	b^*_a	$C^*_{ab,a}$	$h^*_{ab,a}$
O _{Ma}	51.74	60.16	46.48	76.02	38
Y _{Ma}	90.77	-9.44	84.41	84.94	96
L _{Ma}	54.46	-57.8	32.16	66.15	151
C _{Ma}	61.56	-27.91	-41.41	49.95	236
V _{Ma}	31.3	28.61	-40.85	49.88	305
M _{Ma}	51.91	69.26	-7.69	69.68	354
N _{Ma}	24.2	0.0	0.0	0.0	0
W _{Ma}	95.41	0.0	0.0	0.0	0
R _{CIE}	44.36	53.97	24.82	59.4	25
J _{CIE}	82.39	-1.99	62.34	62.37	92
G _{CIE}	55.68	-38.87	10.82	40.36	164
B _{CIE}	35.76	1.06	-43.09	43.11	271

Ausgabe: Farbmimetrisches Offset-Reflektiv-System ORS18

für Buntton $h^* = lab^*h = 151/360 = 0.419$

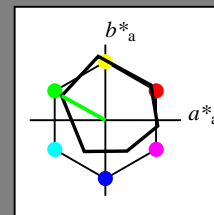
lab^*tch und lab^*nch

D65: Buntton L

LCH*Ma: 54 66 151

olv*Ma: 0.0 1.0 0.0

Dreiecks-Helligkeit t^*



%Umfang

$u^*_{rel} = 85$

%Regularität

$g^*_{H,rel} = 57$

$g^*_{C,rel} = 59$

ORS18; adaptierte CIELAB-Daten

	$L^*=L^*_a$	a^*_a	b^*_a	$C^*_{ab,a}$	$h^*_{ab,a}$
R	51.79	63.09	29.02	69.44	25
R25J	53.73	56.6	48.42	74.48	41
R50J	65.47	35.67	59.82	69.65	59
R75J	76.51	15.98	70.55	72.34	77
J	86.93	-2.58	80.67	80.71	92
J25G	84.92	-17.23	75.99	77.92	103
J50G	73.11	-32.96	59.0	67.58	119
J75G	60.06	-50.34	40.22	64.44	141
G	56.21	-50.44	14.04	52.36	164
G25B	57.95	-43.12	-3.96	43.31	185
G50B	60.3	-33.22	-28.35	43.68	220
G75B	53.27	-12.42	-41.26	43.1	253
B	46.07	1.01	-41.12	41.15	271
B25R	34.63	22.38	-40.91	46.64	299
B50R	45.15	55.92	-18.57	58.93	342
B75R	51.85	65.84	12.67	67.04	11

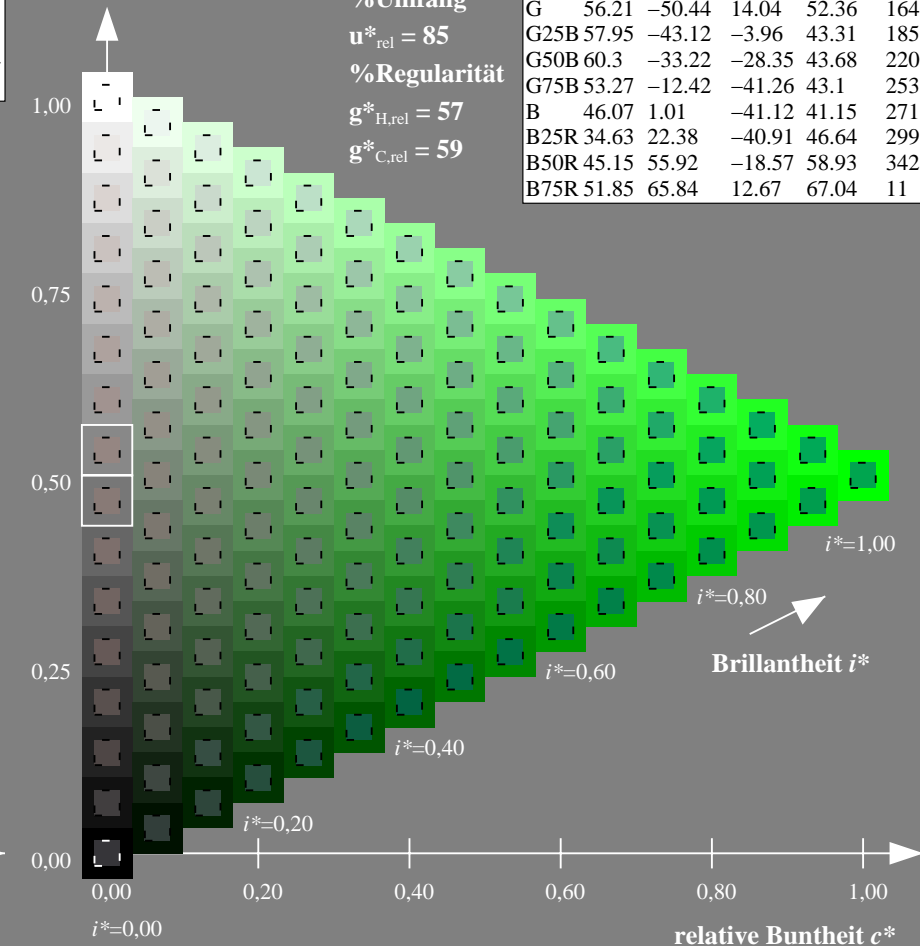
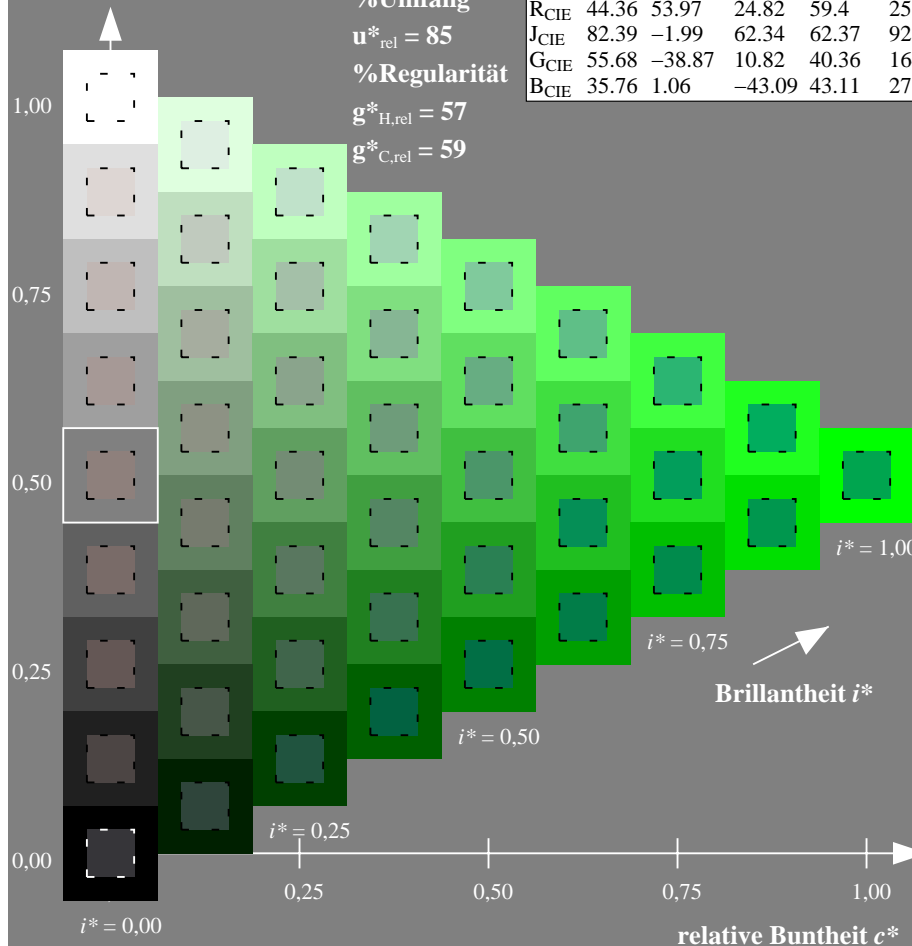
%Umfang

$u^*_{rel} = 85$

%Regularität

$g^*_{H,rel} = 57$

$g^*_{C,rel} = 59$



ZG900-7N, 9stufige Reihen für konstanten CIELAB Buntton 151/360 = 0.419 (links)

Seite 3/36

ZG900-7N, 16stufige Reihen für konstanten CIELAB Buntton 151/360 = 0.419 (rechts)

BAM-Prüfvorlage ZG90; Farbmimetrik-Systeme, Seite 3/36

D65: 9 und 16stufige Farbreihen für 6 Geräte-Bunttöne

Eingabe: $rgb / cmy0$ set($rgb/cmyk$)color

Ausgabe: keine Eingabeänderung

Siehe ähnliche Dateien: <http://www.ps.bam.de/ZG90/>, www.ps.bam.de/ZG.HTM
Technische Information: [http://www.ps.bam.de/Version 2.1, io=1,1](http://www.ps.bam.de/Version%202.1,%20io=1,1)

BAM-Registrierung: 20071001-ZG90/10/L/90G00NA.PS/.TXT BAM-Material: Code=rha4ta
Anwendung für Beurteilung und Messung von Drucker- oder Monitorsystemen

Eingabe: Farbmétrisches Offset-Reflektiv-System ORS18

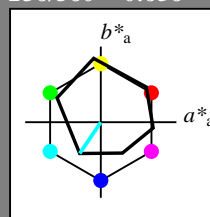
für Buntton $h^* = lab^*h = 236/360 = 0.656$

lab*tch und lab*nch

D65: Buntton C

LCH*Ma: 62 50 236

olv*Ma: 0.0 1.0 1.0



Dreiecks-Helligkeit t^*

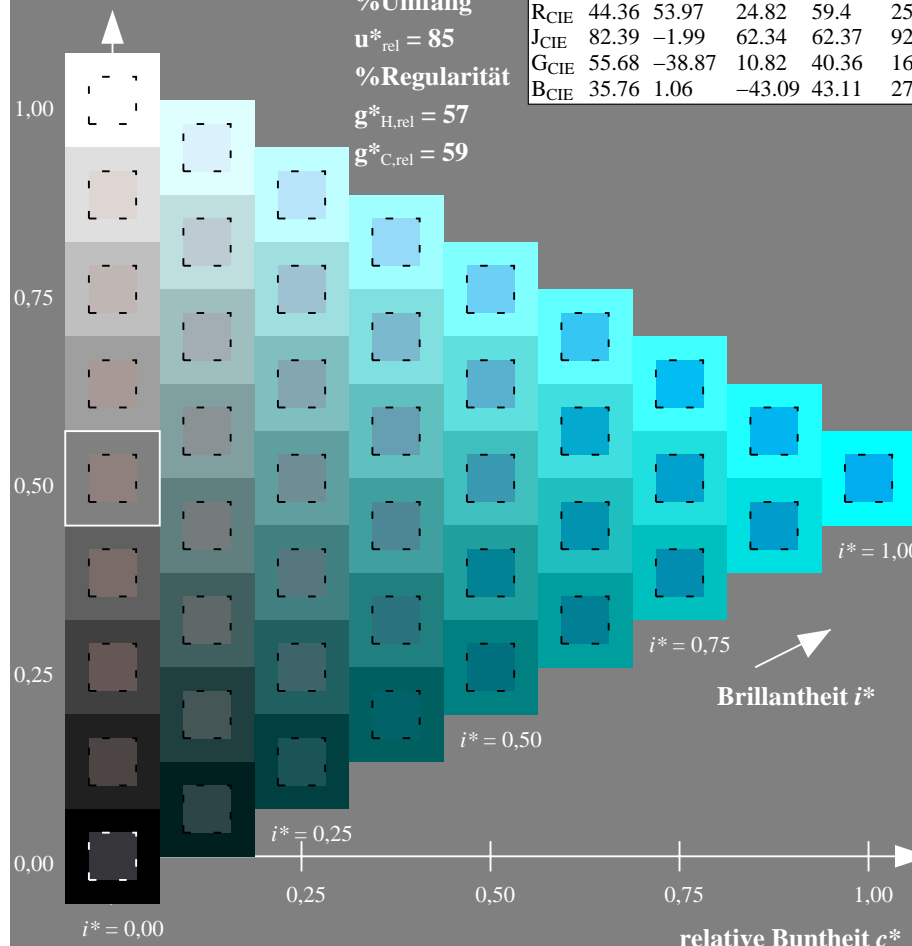
%Umfang

$$\mathbf{u}_{\text{rel}}^* = 85$$

%Regularität

$$g^*_{H_{rel}} = 57$$

■ $g^*_{C_{rel}} = 59$



ZG900–7N, 9stufige Reihen für konstanten CIELAB Buntton $236/360 = 0.656$ (links)

Seite 4/36

BAM-Prüfvorlage ZG90: Farbmimetrik-Systeme. Seite 4/36

D65: 9 und 16stufige Farbreihen für 6 Geräte-Bunttöne

Ausgabe: Farbmetrisches Offset-Reflektiv-System ORS18

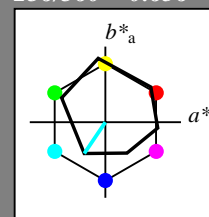
für Buntton $h^* = lab^*h = 236/360 = 0.656$

*lab*tch* und *lab*nch*

D65: Buntton C

LCH*Ma: 62 50 236

olv*Ma: 0.0 1.0 1.0

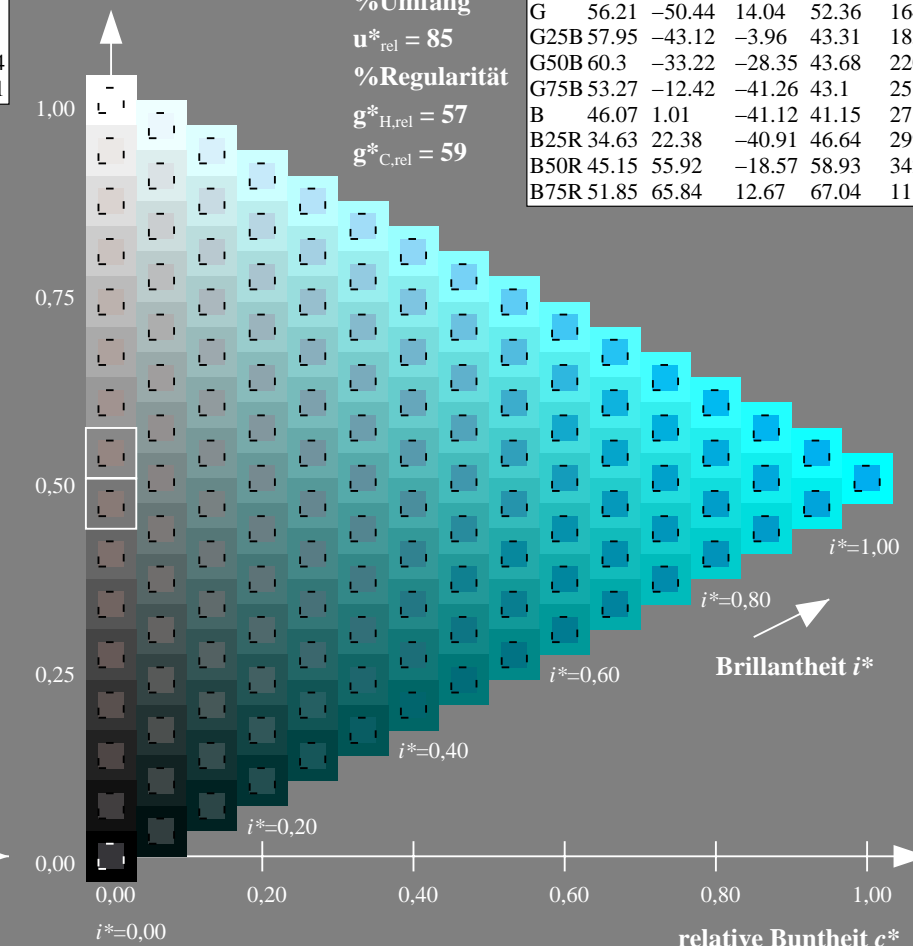


Dreiecks-Helligkeit t^*

%Umfang

$$\mathbf{u}_{\text{rel}}^* = 85$$

%Regularität

$$\mathbf{g}_{\text{H rel}}^* = 57$$
$$g^*_{C_{rel}} = 59$$
ZG900-7N, 16stufige Reihen für konstanten CIELAB Buntton $236/360 = 0.656$ (rechts)

4/36 Eingabe: *rgb / cmv0 set(rgb/cmyk)color*

Ausgabe: keine Eingabeänderung

Eingabe: Farbmimetrisches Offset-Reflektiv-System ORS18

für Buntton $h^* = lab^*h = 305/360 = 0.847$

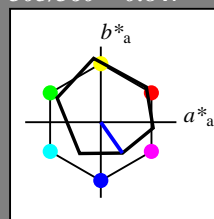
lab^*tch und lab^*nch

D65: Buntton V

LCH*Ma: 31 50 305

olv*Ma: 0.0 0.0 1.0

Dreiecks-Helligkeit t^*



%Umfang

$u^*_{rel} = 85$

%Regularität

$g^*_{H,rel} = 57$

$g^*_{C,rel} = 59$

ORS18; adaptierte CIELAB-Daten

	$L^*=L^*_a$	a^*_a	b^*_a	$C^*_{ab,a}$	$h^*_{ab,a}$
O _{Ma}	51.74	60.16	46.48	76.02	38
Y _{Ma}	90.77	-9.44	84.41	84.94	96
L _{Ma}	54.46	-57.8	32.16	66.15	151
C _{Ma}	61.56	-27.91	-41.41	49.95	236
V _{Ma}	31.3	28.61	-40.85	49.88	305
M _{Ma}	51.91	69.26	-7.69	69.68	354
N _{Ma}	24.2	0.0	0.0	0.0	0
W _{Ma}	95.41	0.0	0.0	0.0	0
R _{CIE}	44.36	53.97	24.82	59.4	25
J _{CIE}	82.39	-1.99	62.34	62.37	92
G _{CIE}	55.68	-38.87	10.82	40.36	164
B _{CIE}	35.76	1.06	-43.09	43.11	271

Ausgabe: Farbmimetrisches Offset-Reflektiv-System ORS18

für Buntton $h^* = lab^*h = 305/360 = 0.847$

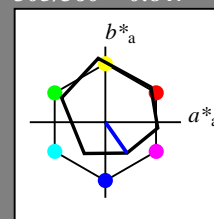
lab^*tch und lab^*nch

D65: Buntton V

LCH*Ma: 31 50 305

olv*Ma: 0.0 0.0 1.0

Dreiecks-Helligkeit t^*



%Umfang

$u^*_{rel} = 85$

%Regularität

$g^*_{H,rel} = 57$

$g^*_{C,rel} = 59$

ORS18; adaptierte CIELAB-Daten

	$L^*=L^*_a$	a^*_a	b^*_a	$C^*_{ab,a}$	$h^*_{ab,a}$
R	51.79	63.09	29.02	69.44	25
R25J	53.73	56.6	48.42	74.48	41
R50J	65.47	35.67	59.82	69.65	59
R75J	76.51	15.98	70.55	72.34	77
J	86.93	-2.58	80.67	80.71	92
J25G	84.92	-17.23	75.99	77.92	103
J50G	73.11	-32.96	59.0	67.58	119
J75G	60.06	-50.34	40.22	64.44	141
G	56.21	-50.44	14.04	52.36	164
G25B	57.95	-43.12	-3.96	43.31	185
G50B	60.3	-33.22	-28.35	43.68	220
G75B	53.27	-12.42	-41.26	43.1	253
B	46.07	1.01	-41.12	41.15	271
B25R	34.63	22.38	-40.91	46.64	299
B50R	45.15	55.92	-18.57	58.93	342
B75R	51.85	65.84	12.67	67.04	11

%Umfang

$u^*_{rel} = 85$

%Regularität

$g^*_{H,rel} = 57$

$g^*_{C,rel} = 59$

%Umfang

$u^*_{rel} = 85$

%Regularität

$g^*_{H,rel} = 57$

$g^*_{C,rel} = 59$

%Umfang

$u^*_{rel} = 85$

%Regularität

$g^*_{H,rel} = 57$

$g^*_{C,rel} = 59$

%Umfang

$u^*_{rel} = 85$

%Regularität

$g^*_{H,rel} = 57$

$g^*_{C,rel} = 59$

%Umfang

$u^*_{rel} = 85$

%Regularität

$g^*_{H,rel} = 57$

$g^*_{C,rel} = 59$

%Umfang

$u^*_{rel} = 85$

%Regularität

$g^*_{H,rel} = 57$

$g^*_{C,rel} = 59$

%Umfang

$u^*_{rel} = 85$

%Regularität

$g^*_{H,rel} = 57$

$g^*_{C,rel} = 59$

%Umfang

$u^*_{rel} = 85$

%Regularität

$g^*_{H,rel} = 57$

$g^*_{C,rel} = 59$

%Umfang

$u^*_{rel} = 85$

%Regularität

$g^*_{H,rel} = 57$

$g^*_{C,rel} = 59$

%Umfang

$u^*_{rel} = 85$

%Regularität

$g^*_{H,rel} = 57$

$g^*_{C,rel} = 59$

%Umfang

$u^*_{rel} = 85$

%Regularität

$g^*_{H,rel} = 57$

$g^*_{C,rel} = 59$

%Umfang

$u^*_{rel} = 85$

%Regularität

$g^*_{H,rel} = 57$

$g^*_{C,rel} = 59$

%Umfang

$u^*_{rel} = 85$

%Regularität

$g^*_{H,rel} = 57$

$g^*_{C,rel} = 59$

%Umfang

$u^*_{rel} = 85$

%Regularität

$g^*_{H,rel} = 57$

$g^*_{C,rel} = 59$

%Umfang

$u^*_{rel} = 85$

%Regularität

$g^*_{H,rel} = 57$

$g^*_{C,rel} = 59$

%Umfang

$u^*_{rel} = 85$

%Regularität

$g^*_{H,rel} = 57$

$g^*_{C,rel} = 59$

%Umfang

$u^*_{rel} = 85$

%Regularität

$g^*_{H,rel} = 57$

$g^*_{C,rel} = 59$

%Umfang

$u^*_{rel} = 85$

%Regularität

$g^*_{H,rel} = 57$

$g^*_{C,rel} = 59$

%Umfang

$u^*_{rel} = 85$

%Regularität

$g^*_{H,rel} = 57$

$g^*_{C,rel} = 59$

%Umfang

$u^*_{rel} = 85$

%Regularität

$g^*_{H,rel} = 57$

$g^*_{C,rel} = 59$

%Umfang

$u^*_{rel} = 85$

%Regularität

$g^*_{H,rel} = 57$

$g^*_{C,rel} = 59$

%Umfang

$u^*_{rel} = 85$

%Regularität

$g^*_{H,rel} = 57$

$g^*_{C,rel} = 59$

%Umfang

$u^*_{rel} = 85$

%Regularität

$g^*_{H,rel} = 57$

$g^*_{C,rel} = 59$

%Umfang

$u^*_{rel} = 85$

%Regularität

$g^*_{H,rel} = 57$

$g^*_{C,rel} = 59$

%Umfang

$u^*_{rel} = 85$

%Regularität

$g^*_{H,rel} = 57$

$g^*_{C,rel} = 59$

%Umfang

$u^*_{rel} = 85$

%Regularität

$g^*_{H,rel} = 57$

$g^*_{C,rel} = 59$

%Umfang

$u^*_{rel} = 85$

%Regularität

$g^*_{H,rel} = 57$

$g^*_{C,rel} = 59$

%Umfang

$u^*_{rel} = 85$

%Regularität

$g^*_{H,rel} = 57$

$g^*_{C,rel} = 59$

%Umfang

$u^*_{rel} = 85$

%Regularität

$g^*_{H,rel} = 57$

$g^*_{C,rel} = 59$

%Umfang

$u^*_{rel} = 85$

%Regularität

$g^*_{H,rel} = 57$

$g^*_{C,rel} = 59$

%Umfang

$u^*_{rel} = 85$

%Regularität

$g^*_{H,rel} = 57$

$g^*_{C,rel} = 59$

%Umfang

$u^*_{rel} = 85$

%Regularität

$g^*_{H,rel} = 57$

$g^*_{C,rel} = 59$

%Umfang

$u^*_{rel} = 85$

%Regularität

$g^*_{H,rel} = 57$

$g^*_{C,rel} = 59$

%Umfang

$u^*_{rel} = 85$

%Regularität

$g^*_{H,rel} = 57$

$g^*_{C,rel} = 59$

%Umfang

$u^*_{rel} = 85$

%Regularität

$g^*_{H,rel} = 57$

$g^*_{C,rel} = 59$

%Umfang

$u^*_{rel} = 85$

%Regularität

$g^*_{H,rel} = 57$

$g^*_{C,rel} = 59$

%Umfang

$u^*_{rel} = 85$

%Regularität

$g^*_{H,rel} = 57$

$g^*_{C,rel} = 59$

%Umfang

$u^*_{rel} = 85$

%Regularität

$g^*_{H,rel} = 57$

$g^*_{C,rel} = 59$

%Umfang

$u^*_{rel} = 85$

%Regularität

$g^*_{H,rel} = 57$

$g^*_{C,rel} = 59$

%Umfang

$u^*_{rel} = 85$

%Regularität

$g^*_{H,rel} = 57$

$g^*_{C,rel} = 59$

%Umfang

Siehe ähnliche Dateien: <http://www.ps.bam.de/ZG90/>, www.ps.bam.de/ZG.HTM
Technische Information: [http://www.ps.bam.de/Version 2.1, io=1,1](http://www.ps.bam.de/Version%202.1,%20io=1,1)

BAM-Registrierung: 20071001-ZG90/10/L/90G00NA.PS/.TXT BAM-Material: Code=rha4ta
Anwendung für Beurteilung und Messung von Drucker- oder Monitorsystemen

Eingabe: Farbmétrisches Offset-Reflektiv-System ORS18

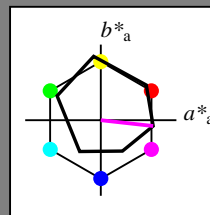
für Buntton $h^* = lab^*h = 354/360 = 0.982$

lab*tch und lab*nch

D65: Buntton M

LCH*Ma: 52 70 354

olv*Ma: 1.0 0.0 1.0



Dreiecks-Helligkeit t^*

%Umfang

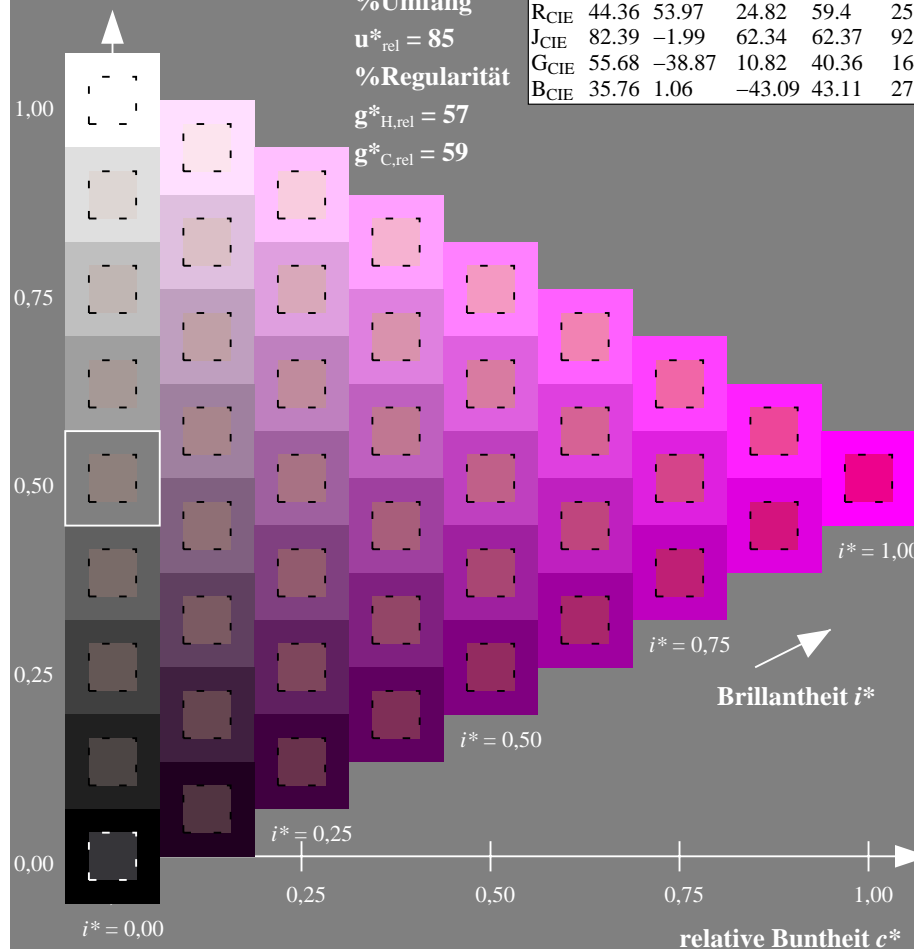
$$\mathbf{u}_{\text{rel}}^* = 85$$

%Regularität

$$g^*_{H,rel} = 57$$

$g^*_{C,rel} = 59$

ORS18; adaptierte CIELAB-Daten					
	$L^* = L^*_a$	a^*_a	b^*_a	$C^*_{ab,a}$	h^*_{ab}
O _{Ma}	51.74	60.16	46.48	76.02	38
Y _{Ma}	90.77	-9.44	84.41	84.94	96
L _{Ma}	54.46	-57.8	32.16	66.15	15
C _{Ma}	61.56	-27.91	-41.41	49.95	230
V _{Ma}	31.3	28.61	-40.85	49.88	303
M _{Ma}	51.91	69.26	-7.69	69.68	354
N _{Ma}	24.2	0.0	0.0	0.0	0
W _{Ma}	95.41	0.0	0.0	0.0	0
R _{CIE}	44.36	53.97	24.82	59.4	25
J _{CIE}	82.39	-1.99	62.34	62.37	92
G _{CIE}	55.68	-38.87	10.82	40.36	167
B _{CIE}	35.76	1.06	-43.09	43.11	27

ZG900-7N, 9stufige Reihen für konstanten CIELAB Buntton $354/360 = 0.982$ (links) Seite 6/36

BAM-Prüfvorlage ZG90: Farbmetrik-Systeme. Seite 6/36

D65: 9 und 16stufige Farbreihen für 6 Geräte-Bunttöne

Ausgabe: Farbmétrisches Offset-Reflektiv-System ORS18

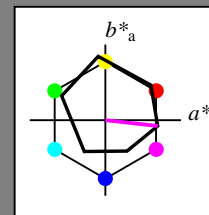
für Buntton $h^* = lab^*h = 354/360 = 0.982$

lab*tch und lab*nch

D65: Buntton M

LCH*Ma: 52 70 354

olv*Ma: 1.0 0.0 1.0



Dreiecks-Helligkeit t^*

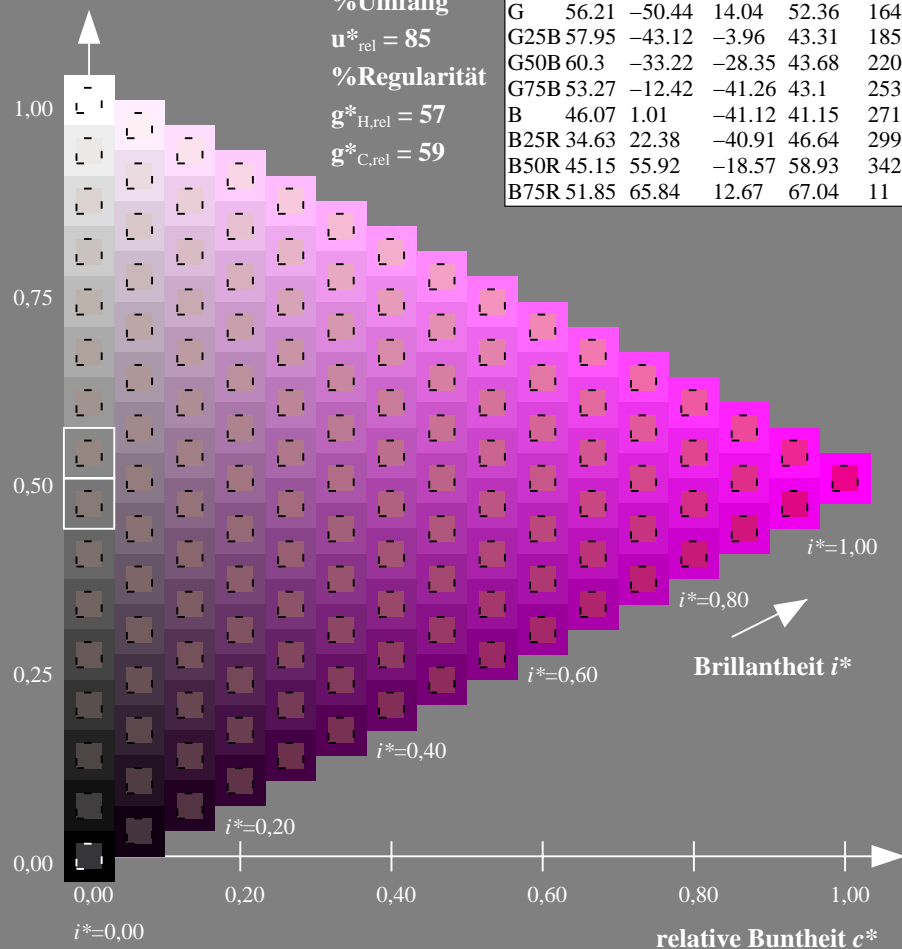
%Umfang

$$\mathbf{u}_{\text{rel}}^* = 85$$

%Regularität

$$g^*_{H,rel} = 57$$
$$g^*_{C,rel} = 59$$

ORS18; adaptierte CIELAB-Daten					
	L^*_a	a^*_a	b^*_a	$C^*_{ab,a}$	$h^*_{ab,a}$
R	51.79	63.09	29.02	69.44	25
R25J	53.73	56.6	48.42	74.48	41
R50J	65.47	35.67	59.82	69.65	59
R75J	76.51	15.98	70.55	72.34	77
J	86.93	-2.58	80.67	80.71	92
J25G	84.92	-17.23	75.99	77.92	103
J50G	73.11	-32.96	59.0	67.58	119
J75G	60.06	-50.34	40.22	64.44	141
G	56.21	-50.44	14.04	52.36	164
G25B	57.95	-43.12	-3.96	43.31	185
G50B	60.3	-33.22	-28.35	43.68	220
G75B	53.27	-12.42	-41.26	43.1	253
B	46.07	1.01	-41.12	41.15	271
B25R	34.63	22.38	-40.91	46.64	299
B50R	45.15	55.92	-18.57	58.93	342
B75R	51.85	65.84	12.67	67.04	411



ZG900-7N, 16stufige Reihen für konstanten CIELAB Buntton $354/360 = 0.982$ (rechts)

Eingabe: *rgb / cmv0 set(rgb/cmyk)color*

Ausgabe: keine Eingabeänderung

Eingabe: Farbmétrisches Offset-Reflektiv-System ORS18

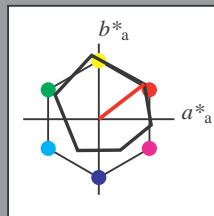
für Buntton $h^* = lab^*h = 38/360 = 0.105$

*lab*tch* und *lab*nch*

D65: Buntton O

LCH*Ma: 52 76 38

olv*Ma: 1.0 0.0 0.0



Dreiecks-Helligkeit t^*

%Umfang

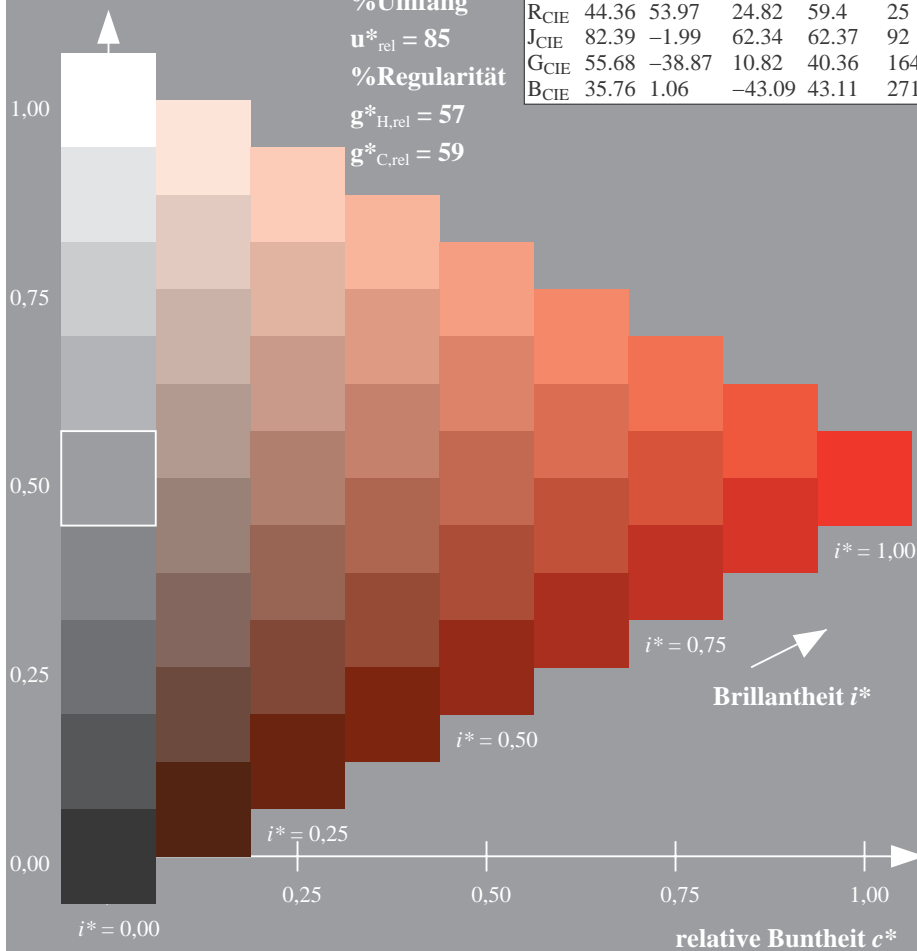
$$\mathbf{u}_{\text{rel}}^* = 85$$

%Regularität

$$g^*_{H,rel} = 57$$

$g^*_{C,rel} = 59$

ORS18; adaptierte CIELAB-Daten					
	L^*_a	a^*_a	b^*_a	$C^*_{ab,a}$	$h^*_{ab,a}$
O _{Ma}	51.74	60.16	46.48	76.02	38
Y _{Ma}	90.77	-9.44	84.41	84.94	96
L _{Ma}	54.46	-57.8	32.16	66.15	151
C _{Ma}	61.56	-27.91	-41.41	49.95	236
V _{Ma}	31.3	28.61	-40.85	49.88	305
M _{Ma}	51.91	69.26	-7.69	69.68	354
N _{Ma}	24.2	0.0	0.0	0.0	0
W _{Ma}	95.41	0.0	0.0	0.0	0
R _{CIE}	44.36	53.97	24.82	59.4	25
J _{CIE}	82.39	-1.99	62.34	62.37	92
G _{CIE}	55.68	-38.87	10.82	40.36	164
B _{CIE}	35.76	1.06	-43.09	43.11	271



ZG900-7N, 9stufige Reihen für konstanten CIELAB Buntton $38/360 = 0.105$ (links)

Seite 7/36

BAM-Prüfvorlage ZG90: Farbmetrik-Systeme, Seite 7/36

D65: 9 und 16stufige Farbreihen für 6 Geräte-Bunttöne

Ausgabe: Farbmetrisches Offset-Reflektiv-System ORS18

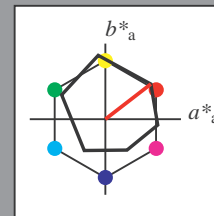
für Buntton $h^* = lab^*h = 38/360 = 0.105$

*lab*tch* und *lab*nch*

D65: Buntton O

LCH*Ma: 52 76 38

olv*Ma: 1.0 0.0 0.0



Dreiecks-Helligkeit t^*

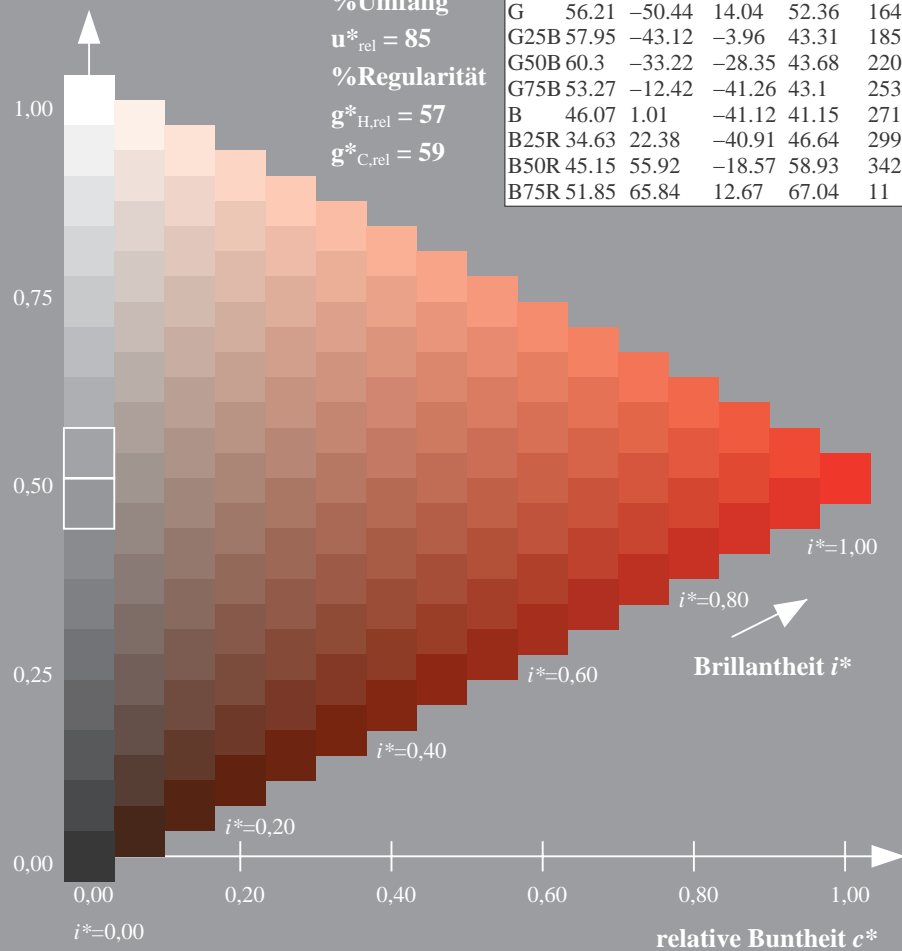
%Umfang

$$\mathbf{u}_{\text{rel}}^* = 85$$

%Regularität

$$g^*_{H,rel} = 57$$
$$g^*_{C,rel} = 59$$

ORS18; adaptierte CIELAB-Daten					
	L^*_a	a^*_a	b^*_a	$C^*_{ab,a}$	$h^*_{ab,a}$
R	51.79	63.09	29.02	69.44	25.00
R25J	53.73	56.6	48.42	74.48	41.00
R50J	65.47	35.67	59.82	69.65	59.00
R75J	76.51	15.98	70.55	72.34	77.00
J	86.93	-2.58	80.67	80.71	92.00
J25G	84.92	-17.23	75.99	77.92	103.00
J50G	73.11	-32.96	59.0	67.58	119.00
J75G	60.06	-50.34	40.22	64.44	141.00
G	56.21	-50.44	14.04	52.36	164.00
G25B	57.95	-43.12	-3.96	43.31	185.00
G50B	60.3	-33.22	-28.35	43.68	220.00
G75B	53.27	-12.42	-41.26	43.1	253.00
B	46.07	1.01	-41.12	41.15	271.00
B25R	34.63	22.38	-40.91	46.64	299.00
B50R	45.15	55.92	-18.57	58.93	342.00
B75R	51.85	65.84	12.67	67.04	392.00

ZG900-7N, 16stufige Reihen für konstanten CIELAB Buntton $38/360 = 0.105$ (rechts)

7/36 Eingabe: *rgb / cmv0 set(rgb/cmyk)color*

Ausgabe: $\rightarrow cmy\mathbf{n}5^* \text{ setcmykcolor}$

Eingabe: Farbmimetrisches Offset-Reflektiv-System ORS18

für Buntton $h^* = lab^*h = 96/360 = 0.268$

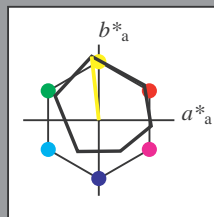
lab^*tch und lab^*nch

D65: Buntton Y

LCH*Ma: 91 85 96

olv*Ma: 1.0 1.0 0.0

Dreiecks-Helligkeit t^*



%Umfang

$u^*_{rel} = 85$

%Regularität

$g^*_{H,rel} = 57$

$g^*_{C,rel} = 59$

ORS18; adaptierte CIELAB-Daten

	$L^*=L^*_a$	a^*_a	b^*_a	$C^*_{ab,a}$	$h^*_{ab,a}$
O _{Ma}	51.74	60.16	46.48	76.02	38
Y _{Ma}	90.77	-9.44	84.41	84.94	96
L _{Ma}	54.46	-57.8	32.16	66.15	151
C _{Ma}	61.56	-27.91	-41.41	49.95	236
V _{Ma}	31.3	28.61	-40.85	49.88	305
M _{Ma}	51.91	69.26	-7.69	69.68	354
N _{Ma}	24.2	0.0	0.0	0.0	0
W _{Ma}	95.41	0.0	0.0	0.0	0
R _{CIE}	44.36	53.97	24.82	59.4	25
J _{CIE}	82.39	-1.99	62.34	62.37	92
G _{CIE}	55.68	-38.87	10.82	40.36	164
B _{CIE}	35.76	1.06	-43.09	43.11	271

Ausgabe: Farbmimetrisches Offset-Reflektiv-System ORS18

für Buntton $h^* = lab^*h = 96/360 = 0.268$

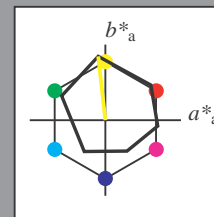
lab^*tch und lab^*nch

D65: Buntton Y

LCH*Ma: 91 85 96

olv*Ma: 1.0 1.0 0.0

Dreiecks-Helligkeit t^*



%Umfang

$u^*_{rel} = 85$

%Regularität

$g^*_{H,rel} = 57$

$g^*_{C,rel} = 59$

ORS18; adaptierte CIELAB-Daten

	$L^*=L^*_a$	a^*_a	b^*_a	$C^*_{ab,a}$	$h^*_{ab,a}$
R	51.79	63.09	29.02	69.44	25
R25J	53.73	56.6	48.42	74.48	41
R50J	65.47	35.67	59.82	69.65	59
R75J	76.51	15.98	70.55	72.34	77
J	86.93	-2.58	80.67	80.71	92
J25G	84.92	-17.23	75.99	77.92	103
J50G	73.11	-32.96	59.0	67.58	119
J75G	60.06	-50.34	40.22	64.44	141
G	56.21	-50.44	14.04	52.36	164
G25B	57.95	-43.12	-3.96	43.31	185
G50B	60.3	-33.22	-28.35	43.68	220
G75B	53.27	-12.42	-41.26	43.1	253
B	46.07	1.01	-41.12	41.15	271
B25R	34.63	22.38	-40.91	46.64	299
B50R	45.15	55.92	-18.57	58.93	342
B75R	51.85	65.84	12.67	67.04	11

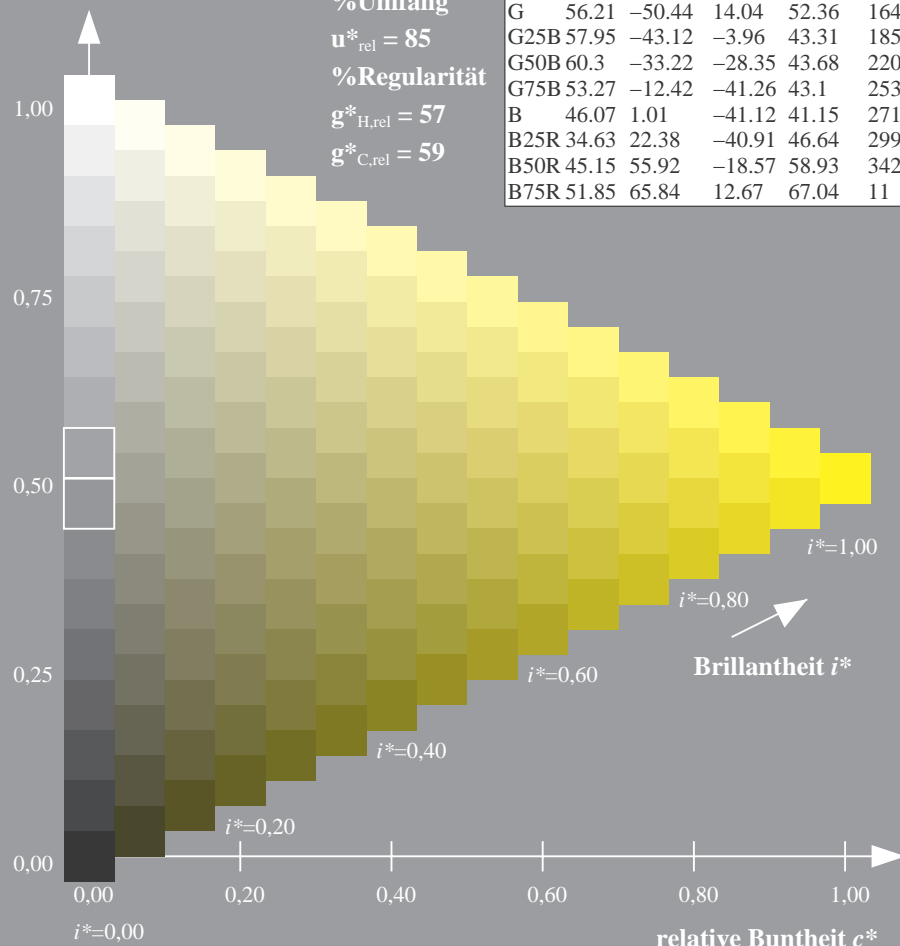
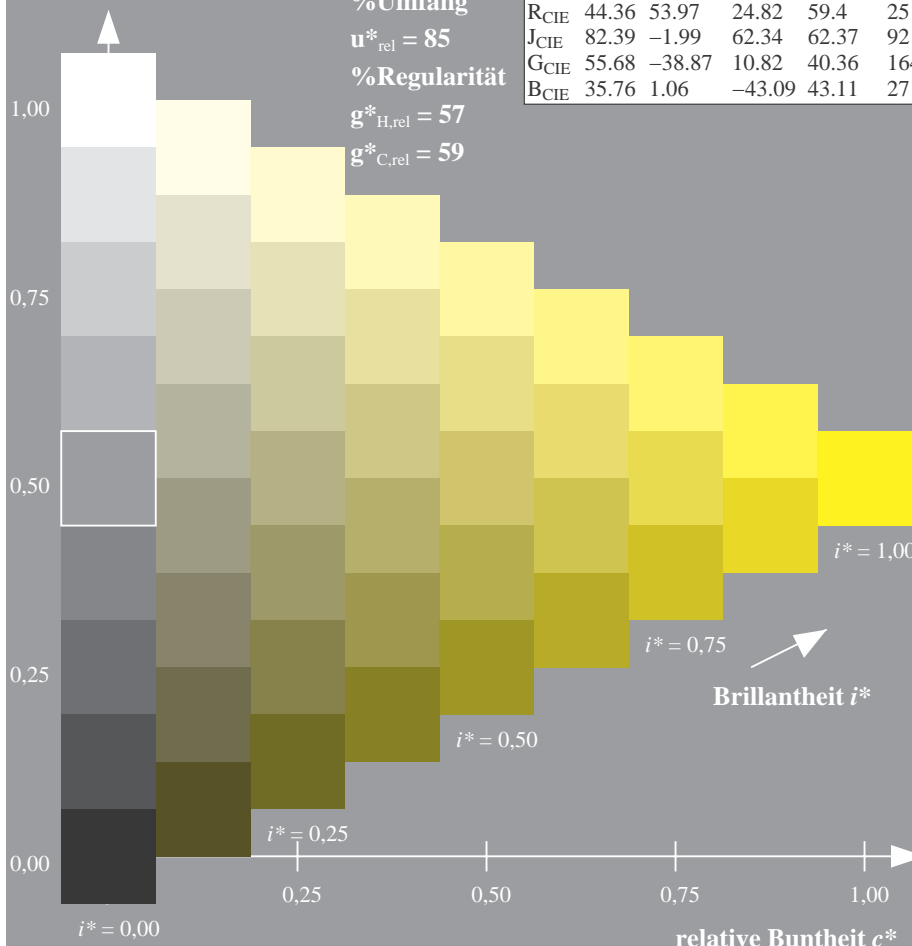
%Umfang

$u^*_{rel} = 85$

%Regularität

$g^*_{H,rel} = 57$

$g^*_{C,rel} = 59$



ZG900-7N, 9stufige Reihen für konstanten CIELAB Buntton 96/360 = 0.268 (links)

Seite 8/36

ZG900-7N, 16stufige Reihen für konstanten CIELAB Buntton 96/360 = 0.268 (rechts)

BAM-Prüfvorlage ZG90; Farbmimetrik-Systeme, Seite 8/36

D65: 9 und 16stufige Farbreihen für 6 Geräte-Bunttöne

Eingabe: $rgb / cmy0 set(rgb/cmyk)color$

Ausgabe: $-> cmy5* setcmykcolor$

Eingabe: Farbmétrisches Offset-Reflektiv-System ORS18

für Buntton $h^* = lab^*h = 151/360 = 0.419$

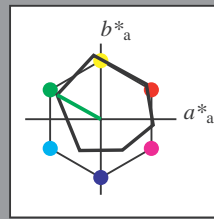
lab^*tch und lab^*nch

D65: Buntton L

LCH*Ma: 54 66 151

olv*Ma: 0.0 1.0 0.0

Dreiecks-Helligkeit t^*



%Umfang

$u^*_{rel} = 85$

%Regularität

$g^*_{H,rel} = 57$

$g^*_{C,rel} = 59$

ORS18; adaptierte CIELAB-Daten	$L^*=L^*_a$	a^*_a	b^*_a	$C^*_{ab,a}$	$h^*_{ab,a}$
O _{Ma}	51.74	60.16	46.48	76.02	38
Y _{Ma}	90.77	-9.44	84.41	84.94	96
L _{Ma}	54.46	-57.8	32.16	66.15	151
C _{Ma}	61.56	-27.91	-41.41	49.95	236
V _{Ma}	31.3	28.61	-40.85	49.88	305
M _{Ma}	51.91	69.26	-7.69	69.68	354
N _{Ma}	24.2	0.0	0.0	0.0	0
W _{Ma}	95.41	0.0	0.0	0.0	0
R _{CIE}	44.36	53.97	24.82	59.4	25
J _{CIE}	82.39	-1.99	62.34	62.37	92
G _{CIE}	55.68	-38.87	10.82	40.36	164
B _{CIE}	35.76	1.06	-43.09	43.11	271

Ausgabe: Farbmétrisches Offset-Reflektiv-System ORS18

für Buntton $h^* = lab^*h = 151/360 = 0.419$

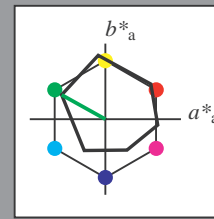
lab^*tch und lab^*nch

D65: Buntton L

LCH*Ma: 54 66 151

olv*Ma: 0.0 1.0 0.0

Dreiecks-Helligkeit t^*



%Umfang

$u^*_{rel} = 85$

%Regularität

$g^*_{H,rel} = 57$

$g^*_{C,rel} = 59$

ORS18; adaptierte CIELAB-Daten	$L^*=L^*_a$	a^*_a	b^*_a	$C^*_{ab,a}$	$h^*_{ab,a}$
R	51.79	63.09	29.02	69.44	25
R25J	53.73	56.6	48.42	74.48	41
R50J	65.47	35.67	59.82	69.65	59
R75J	76.51	15.98	70.55	72.34	77
J	86.93	-2.58	80.67	80.71	92
J25G	84.92	-17.23	75.99	77.92	103
J50G	73.11	-32.96	59.0	67.58	119
J75G	60.06	-50.34	40.22	64.44	141
G	56.21	-50.44	14.04	52.36	164
G25B	57.95	-43.12	-3.96	43.31	185
G50B	60.3	-33.22	-28.35	43.68	220
G75B	53.27	-12.42	-41.26	43.1	253
B	46.07	1.01	-41.12	41.15	271
B25R	34.63	22.38	-40.91	46.64	299
B50R	45.15	55.92	-18.57	58.93	342
B75R	51.85	65.84	12.67	67.04	11

%Umfang

$u^*_{rel} = 85$

%Regularität

$g^*_{H,rel} = 57$

$g^*_{C,rel} = 59$

%Umfang

$u^*_{rel} = 85$

%Regularität

$g^*_{H,rel} = 57$

$g^*_{C,rel} = 59$

%Umfang

$u^*_{rel} = 85$

%Regularität

$g^*_{H,rel} = 57$

$g^*_{C,rel} = 59$

%Umfang

$u^*_{rel} = 85$

%Regularität

$g^*_{H,rel} = 57$

$g^*_{C,rel} = 59$

%Umfang

$u^*_{rel} = 85$

%Regularität

$g^*_{H,rel} = 57$

$g^*_{C,rel} = 59$

%Umfang

$u^*_{rel} = 85$

%Regularität

$g^*_{H,rel} = 57$

$g^*_{C,rel} = 59$

%Umfang

$u^*_{rel} = 85$

%Regularität

$g^*_{H,rel} = 57$

$g^*_{C,rel} = 59$

%Umfang

$u^*_{rel} = 85$

%Regularität

$g^*_{H,rel} = 57$

$g^*_{C,rel} = 59$

%Umfang

$u^*_{rel} = 85$

%Regularität

$g^*_{H,rel} = 57$

$g^*_{C,rel} = 59$

%Umfang

$u^*_{rel} = 85$

%Regularität

$g^*_{H,rel} = 57$

$g^*_{C,rel} = 59$

%Umfang

$u^*_{rel} = 85$

%Regularität

$g^*_{H,rel} = 57$

$g^*_{C,rel} = 59$

%Umfang

$u^*_{rel} = 85$

%Regularität

$g^*_{H,rel} = 57$

$g^*_{C,rel} = 59$

%Umfang

$u^*_{rel} = 85$

%Regularität

$g^*_{H,rel} = 57$

$g^*_{C,rel} = 59$

%Umfang

$u^*_{rel} = 85$

%Regularität

$g^*_{H,rel} = 57$

$g^*_{C,rel} = 59$

%Umfang

$u^*_{rel} = 85$

%Regularität

$g^*_{H,rel} = 57$

$g^*_{C,rel} = 59$

%Umfang

$u^*_{rel} = 85$

%Regularität

$g^*_{H,rel} = 57$

$g^*_{C,rel} = 59$

%Umfang

$u^*_{rel} = 85$

%Regularität

$g^*_{H,rel} = 57$

$g^*_{C,rel} = 59$

%Umfang

$u^*_{rel} = 85$

%Regularität

$g^*_{H,rel} = 57$

$g^*_{C,rel} = 59$

%Umfang

$u^*_{rel} = 85$

%Regularität

$g^*_{H,rel} = 57$

$g^*_{C,rel} = 59$

%Umfang

$u^*_{rel} = 85$

%Regularität

$g^*_{H,rel} = 57$

$g^*_{C,rel} = 59$

%Umfang

$u^*_{rel} = 85$

%Regularität

$g^*_{H,rel} = 57$

$g^*_{C,rel} = 59$

%Umfang

$u^*_{rel} = 85$

%Regularität

$g^*_{H,rel} = 57$

$g^*_{C,rel} = 59$

%Umfang

$u^*_{rel} = 85$

%Regularität

$g^*_{H,rel} = 57$

$g^*_{C,rel} = 59$

%Umfang

$u^*_{rel} = 85$

%Regularität

$g^*_{H,rel} = 57$

$g^*_{C,rel} = 59$

%Umfang

$u^*_{rel} = 85$

%Regularität

$g^*_{H,rel} = 57$

$g^*_{C,rel} = 59$

%Umfang

$u^*_{rel} = 85$

%Regularität

$g^*_{H,rel} = 57$

$g^*_{C,rel} = 59$

%Umfang

$u^*_{rel} = 85$

%Regularität

$g^*_{H,rel} = 57$

$g^*_{C,rel} = 59$

%Umfang

$u^*_{rel} = 85$

%Regularität

$g^*_{H,rel} = 57$

$g^*_{C,rel} = 59$

%Umfang

$u^*_{rel} = 85$

%Regularität

$g^*_{H,rel} = 57$

$g^*_{C,rel} = 59$

%Umfang

$u^*_{rel} = 85$

%Regularität

$g^*_{H,rel} = 57$

$g^*_{C,rel} = 59$

%Umfang

$u^*_{rel} = 85$

%Regularität

$g^*_{H,rel} = 57$

$g^*_{C,rel} = 59$

%Umfang

$u^*_{rel} = 85$

%Regularität

$g^*_{H,rel} = 57$

$g^*_{C,rel} = 59$

%Umfang

$u^*_{rel} = 85$

%Regularität

$g^*_{H,rel} = 57$

$g^*_{C,rel} = 59$

%Umfang

$u^*_{rel} = 85$

%Regularität

$g^*_{H,rel} = 57$

$g^*_{C,rel} = 59$

%Umfang

$u^*_{rel} = 85$

%Regularität

$g^*_{H,rel} = 57$

$g^*_{C,rel} = 59$

%Umfang

$u^*_{rel} = 85$

%Regularität

$g^*_{H,rel} = 57$

$g^*_{C,rel} = 59$

%Umfang

$u^*_{rel} = 85$

%Regularität

$g^*_{H,rel} = 57$

$g^*_{C,rel} = 59$

%Umfang

$u^*_{rel} = 85$

%Regularität

$g^*_{H,rel} = 57$

$g^*_{C,rel} = 59$

%Umfang

$u^*_{rel} = 85$

%Regularität

$g^*_{H,rel} = 57$

$g^*_{C,rel} = 59$

%Umfang

$u^*_{rel} = 85$

%Regularität

$g^*_{H,rel} = 57$

$g^*_{C,rel} = 59$

%Umfang

<

Eingabe: Farbmimetrisches Offset-Reflektiv-System ORS18

für Buntton $h^* = lab^*h = 236/360 = 0.656$

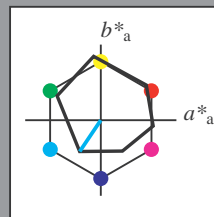
lab^*tch und lab^*nch

D65: Buntton C

LCH*Ma: 62 50 236

olv*Ma: 0.0 1.0 1.0

Dreiecks-Helligkeit t^*



%Umfang

$u^*_{rel} = 85$

%Regularität

$g^*_{H,rel} = 57$

$g^*_{C,rel} = 59$

ORS18; adaptierte CIELAB-Daten	$L^*=L^*_a$	a^*_a	b^*_a	$C^*_{ab,a}$	$h^*_{ab,a}$
O _{Ma}	51.74	60.16	46.48	76.02	38
Y _{Ma}	90.77	-9.44	84.41	84.94	96
L _{Ma}	54.46	-57.8	32.16	66.15	151
C _{Ma}	61.56	-27.91	-41.41	49.95	236
V _{Ma}	31.3	28.61	-40.85	49.88	305
M _{Ma}	51.91	69.26	-7.69	69.68	354
N _{Ma}	24.2	0.0	0.0	0.0	0
W _{Ma}	95.41	0.0	0.0	0.0	0
R _{CIE}	44.36	53.97	24.82	59.4	25
J _{CIE}	82.39	-1.99	62.34	62.37	92
G _{CIE}	55.68	-38.87	10.82	40.36	164
B _{CIE}	35.76	1.06	-43.09	43.11	271

Ausgabe: Farbmimetrisches Offset-Reflektiv-System ORS18

für Buntton $h^* = lab^*h = 236/360 = 0.656$

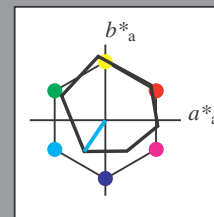
lab^*tch und lab^*nch

D65: Buntton C

LCH*Ma: 62 50 236

olv*Ma: 0.0 1.0 1.0

Dreiecks-Helligkeit t^*



%Umfang

$u^*_{rel} = 85$

%Regularität

$g^*_{H,rel} = 57$

$g^*_{C,rel} = 59$

ORS18; adaptierte CIELAB-Daten	$L^*=L^*_a$	a^*_a	b^*_a	$C^*_{ab,a}$	$h^*_{ab,a}$
R	51.79	63.09	29.02	69.44	25
R25J	53.73	56.6	48.42	74.48	41
R50J	65.47	35.67	59.82	69.65	59
R75J	76.51	15.98	70.55	72.34	77
J	86.93	-2.58	80.67	80.71	92
J25G	84.92	-17.23	75.99	77.92	103
J50G	73.11	-32.96	59.0	67.58	119
J75G	60.06	-50.34	40.22	64.44	141
G	56.21	-50.44	14.04	52.36	164
G25B	57.95	-43.12	-3.96	43.31	185
G50B	60.3	-33.22	-28.35	43.68	220
G75B	53.27	-12.42	-41.26	43.1	253
B	46.07	1.01	-41.12	41.15	271
B25R	34.63	22.38	-40.91	46.64	299
B50R	45.15	55.92	-18.57	58.93	342
B75R	51.85	65.84	12.67	67.04	11

%Umfang

$u^*_{rel} = 85$

%Regularität

$g^*_{H,rel} = 57$

$g^*_{C,rel} = 59$

%Umfang

$u^*_{rel} = 85$

%Regularität

$g^*_{H,rel} = 57$

$g^*_{C,rel} = 59$

%Umfang

$u^*_{rel} = 85$

%Regularität

$g^*_{H,rel} = 57$

$g^*_{C,rel} = 59$

%Umfang

$u^*_{rel} = 85$

%Regularität

$g^*_{H,rel} = 57$

$g^*_{C,rel} = 59$

%Umfang

$u^*_{rel} = 85$

%Regularität

$g^*_{H,rel} = 57$

$g^*_{C,rel} = 59$

%Umfang

$u^*_{rel} = 85$

%Regularität

$g^*_{H,rel} = 57$

$g^*_{C,rel} = 59$

%Umfang

$u^*_{rel} = 85$

%Regularität

$g^*_{H,rel} = 57$

$g^*_{C,rel} = 59$

%Umfang

$u^*_{rel} = 85$

%Regularität

$g^*_{H,rel} = 57$

$g^*_{C,rel} = 59$

%Umfang

$u^*_{rel} = 85$

%Regularität

$g^*_{H,rel} = 57$

$g^*_{C,rel} = 59$

%Umfang

$u^*_{rel} = 85$

%Regularität

$g^*_{H,rel} = 57$

$g^*_{C,rel} = 59$

%Umfang

$u^*_{rel} = 85$

%Regularität

$g^*_{H,rel} = 57$

$g^*_{C,rel} = 59$

%Umfang

$u^*_{rel} = 85$

%Regularität

$g^*_{H,rel} = 57$

$g^*_{C,rel} = 59$

%Umfang

$u^*_{rel} = 85$

%Regularität

$g^*_{H,rel} = 57$

$g^*_{C,rel} = 59$

%Umfang

$u^*_{rel} = 85$

%Regularität

$g^*_{H,rel} = 57$

$g^*_{C,rel} = 59$

%Umfang

$u^*_{rel} = 85$

%Regularität

$g^*_{H,rel} = 57$

$g^*_{C,rel} = 59$

%Umfang

$u^*_{rel} = 85$

%Regularität

$g^*_{H,rel} = 57$

$g^*_{C,rel} = 59$

%Umfang

$u^*_{rel} = 85$

%Regularität

$g^*_{H,rel} = 57$

$g^*_{C,rel} = 59$

%Umfang

$u^*_{rel} = 85$

%Regularität

$g^*_{H,rel} = 57$

$g^*_{C,rel} = 59$

%Umfang

$u^*_{rel} = 85$

%Regularität

$g^*_{H,rel} = 57$

$g^*_{C,rel} = 59$

%Umfang

$u^*_{rel} = 85$

%Regularität

$g^*_{H,rel} = 57$

$g^*_{C,rel} = 59$

%Umfang

$u^*_{rel} = 85$

%Regularität

$g^*_{H,rel} = 57$

$g^*_{C,rel} = 59$

%Umfang

$u^*_{rel} = 85$

%Regularität

$g^*_{H,rel} = 57$

$g^*_{C,rel} = 59$

%Umfang

$u^*_{rel} = 85$

%Regularität

$g^*_{H,rel} = 57$

$g^*_{C,rel} = 59$

%Umfang

$u^*_{rel} = 85$

%Regularität

$g^*_{H,rel} = 57$

$g^*_{C,rel} = 59$

%Umfang

$u^*_{rel} = 85$

%Regularität

$g^*_{H,rel} = 57$

$g^*_{C,rel} = 59$

%Umfang

$u^*_{rel} = 85$

%Regularität

$g^*_{H,rel} = 57$

$g^*_{C,rel} = 59$

%Umfang

$u^*_{rel} = 85$

%Regularität

$g^*_{H,rel} = 57$

$g^*_{C,rel} = 59$

%Umfang

$u^*_{rel} = 85$

%Regularität

$g^*_{H,rel} = 57$

$g^*_{C,rel} = 59$

%Umfang

$u^*_{rel} = 85$

%Regularität

$g^*_{H,rel} = 57$

$g^*_{C,rel} = 59$

%Umfang

$u^*_{rel} = 85$

%Regularität

$g^*_{H,rel} = 57$

$g^*_{C,rel} = 59$

%Umfang

$u^*_{rel} = 85$

%Regularität

$g^*_{H,rel} = 57$

$g^*_{C,rel} = 59$

%Umfang

$u^*_{rel} = 85$

%Regularität

$g^*_{H,rel} = 57$

$g^*_{C,rel} = 59$

%Umfang

$u^*_{rel} = 85$

%Regularität

$g^*_{H,rel} = 57$

$g^*_{C,rel} = 59$

%Umfang

$u^*_{rel} = 85$

%Regularität

$g^*_{H,rel} = 57$

$g^*_{C,rel} = 59$

%Umfang

$u^*_{rel} = 85$

%Regularität

$g^*_{H,rel} = 57$

$g^*_{C,rel} = 59$

%Umfang

$u^*_{rel} = 85$

%Regularität

$g^*_{H,rel} = 57$

$g^*_{C,rel} = 59$

%Umfang

$u^*_{rel} = 85$

%Regularität

$g^*_{H,rel} = 57$

$g^*_{C,rel} = 59$

%Umfang

$u^*_{rel} = 85$

%Regularität

$g^*_{H,rel} = 57$

$g^*_{C,rel} = 59$

%Umfang

$u^*_{rel} = 85$

%Regularität

$g^*_{H,rel} = 57$

$g^*_{C,rel} = 59$

%Umfang

$u^*_{rel} = 85$

%Regularität

$g^*_{H,rel} = 57$

$g^*_{C,rel} = 59$

%Umfang

Eingabe: Farbmétrisches Offset-Reflektiv-System ORS18

für Buntton $h^* = lab^*h = 305/360 = 0.847$

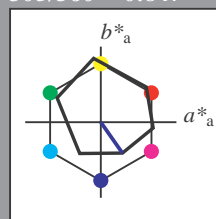
lab^*tch und lab^*nch

D65: Buntton V

LCH*Ma: 31 50 305

olv*Ma: 0.0 0.0 1.0

Dreiecks-Helligkeit t^*



%Umfang

$u^*_{rel} = 85$

%Regularität

$g^*_{H,rel} = 57$

$g^*_{C,rel} = 59$

ORS18; adaptierte CIELAB-Daten	$L^*=L^*_a$	a^*_a	b^*_a	$C^*_{ab,a}$	$h^*_{ab,a}$
O _{Ma}	51.74	60.16	46.48	76.02	38
Y _{Ma}	90.77	-9.44	84.41	84.94	96
L _{Ma}	54.46	-57.8	32.16	66.15	151
C _{Ma}	61.56	-27.91	-41.41	49.95	236
V _{Ma}	31.3	28.61	-40.85	49.88	305
M _{Ma}	51.91	69.26	-7.69	69.68	354
N _{Ma}	24.2	0.0	0.0	0.0	0
W _{Ma}	95.41	0.0	0.0	0.0	0
R _{CIE}	44.36	53.97	24.82	59.4	25
J _{CIE}	82.39	-1.99	62.34	62.37	92
G _{CIE}	55.68	-38.87	10.82	40.36	164
B _{CIE}	35.76	1.06	-43.09	43.11	271

Ausgabe: Farbmétrisches Offset-Reflektiv-System ORS18

für Buntton $h^* = lab^*h = 305/360 = 0.847$

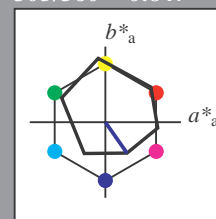
lab^*tch und lab^*nch

D65: Buntton V

LCH*Ma: 31 50 305

olv*Ma: 0.0 0.0 1.0

Dreiecks-Helligkeit t^*



%Umfang

$u^*_{rel} = 85$

%Regularität

$g^*_{H,rel} = 57$

$g^*_{C,rel} = 59$

ORS18; adaptierte CIELAB-Daten	$L^*=L^*_a$	a^*_a	b^*_a	$C^*_{ab,a}$	$h^*_{ab,a}$
R	51.79	63.09	29.02	69.44	25
R25J	53.73	56.6	48.42	74.48	41
R50J	65.47	35.67	59.82	69.65	59
R75J	76.51	15.98	70.55	72.34	77
J	86.93	-2.58	80.67	80.71	92
J25G	84.92	-17.23	75.99	77.92	103
J50G	73.11	-32.96	59.0	67.58	119
J75G	60.06	-50.34	40.22	64.44	141
G	56.21	-50.44	14.04	52.36	164
G25B	57.95	-43.12	-3.96	43.31	185
G50B	60.3	-33.22	-28.35	43.68	220
G75B	53.27	-12.42	-41.26	43.1	253
B	46.07	1.01	-41.12	41.15	271
B25R	34.63	22.38	-40.91	46.64	299
B50R	45.15	55.92	-18.57	58.93	342
B75R	51.85	65.84	12.67	67.04	11

%Umfang

$u^*_{rel} = 85$

%Regularität

$g^*_{H,rel} = 57$

$g^*_{C,rel} = 59$

%Umfang

$u^*_{rel} = 85$

%Regularität

$g^*_{H,rel} = 57$

$g^*_{C,rel} = 59$

%Umfang

$u^*_{rel} = 85$

%Regularität

$g^*_{H,rel} = 57$

$g^*_{C,rel} = 59$

%Umfang

$u^*_{rel} = 85$

%Regularität

$g^*_{H,rel} = 57$

$g^*_{C,rel} = 59$

%Umfang

$u^*_{rel} = 85$

%Regularität

$g^*_{H,rel} = 57$

$g^*_{C,rel} = 59$

Brillantheit i^*

Brillantheit i^*

ZG900-7N, 9stufige Reihen für konstanten CIELAB Buntton 305/360 = 0.847 (links)

ZG900-7N, 16stufige Reihen für konstanten CIELAB Buntton 305/360 = 0.847 (rechts)

BAM-Prüfvorlage ZG90; Farbmétrik-Systeme, Seite 11/36 Eingabe: $rgb / cmy0 set(rgb/cmyk)color$

D65: 9 und 16stufige Farbreihen für 6 Geräte-Bunttöne Ausgabe: $-> cmy5* setcmykcolor$

Eingabe: Farbmimetrisches Offset-Reflektiv-System ORS18

für Buntton $h^* = lab^*h = 354/360 = 0.982$

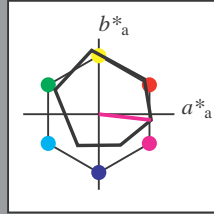
lab^*tch und lab^*nch

D65: Buntton M

LCH*Ma: 52 70 354

olv*Ma: 1.0 0.0 1.0

Dreiecks-Helligkeit t^*



%Umfang

$u^*_{rel} = 85$

%Regularität

$g^*_{H,rel} = 57$

$g^*_{C,rel} = 59$

ORS18; adaptierte CIELAB-Daten					
	$L^*=L^*_a$	a^*_a	b^*_a	$C^*_{ab,a}$	$h^*_{ab,a}$
O _{Ma}	51.74	60.16	46.48	76.02	38
Y _{Ma}	90.77	-9.44	84.41	84.94	96
L _{Ma}	54.46	-57.8	32.16	66.15	151
C _{Ma}	61.56	-27.91	-41.41	49.95	236
V _{Ma}	31.3	28.61	-40.85	49.88	305
M _{Ma}	51.91	69.26	-7.69	69.68	354
N _{Ma}	24.2	0.0	0.0	0.0	0
W _{Ma}	95.41	0.0	0.0	0.0	0
R _{CIE}	44.36	53.97	24.82	59.4	25
J _{CIE}	82.39	-1.99	62.34	62.37	92
G _{CIE}	55.68	-38.87	10.82	40.36	164
B _{CIE}	35.76	1.06	-43.09	43.11	271

Ausgabe: Farbmimetrisches Offset-Reflektiv-System ORS18

für Buntton $h^* = lab^*h = 354/360 = 0.982$

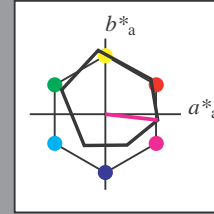
lab^*tch und lab^*nch

D65: Buntton M

LCH*Ma: 52 70 354

olv*Ma: 1.0 0.0 1.0

Dreiecks-Helligkeit t^*



%Umfang

$u^*_{rel} = 85$

%Regularität

$g^*_{H,rel} = 57$

$g^*_{C,rel} = 59$

ORS18; adaptierte CIELAB-Daten					
	$L^*=L^*_a$	a^*_a	b^*_a	$C^*_{ab,a}$	$h^*_{ab,a}$
R	51.79	63.09	29.02	69.44	25
R25J	53.73	56.6	48.42	74.48	41
R50J	65.47	35.67	59.82	69.65	59
R75J	76.51	15.98	70.55	72.34	77
J	86.93	-2.58	80.67	80.71	92
J25G	84.92	-17.23	75.99	77.92	103
J50G	73.11	-32.96	59.0	67.58	119
J75G	60.06	-50.34	40.22	64.44	141
G	56.21	-50.44	14.04	52.36	164
G25B	57.95	-43.12	-3.96	43.31	185
G50B	60.3	-33.22	-28.35	43.68	220
G75B	53.27	-12.42	-41.26	43.1	253
B	46.07	1.01	-41.12	41.15	271
B25R	34.63	22.38	-40.91	46.64	299
B50R	45.15	55.92	-18.57	58.93	342
B75R	51.85	65.84	12.67	67.04	11

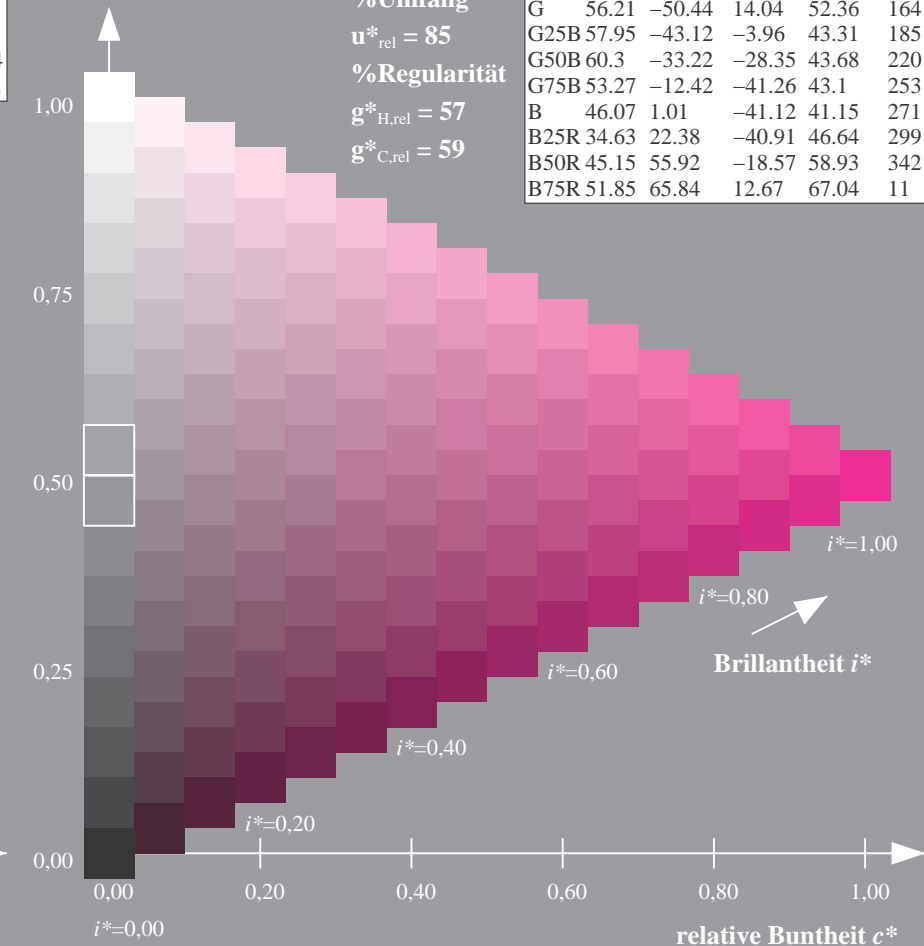
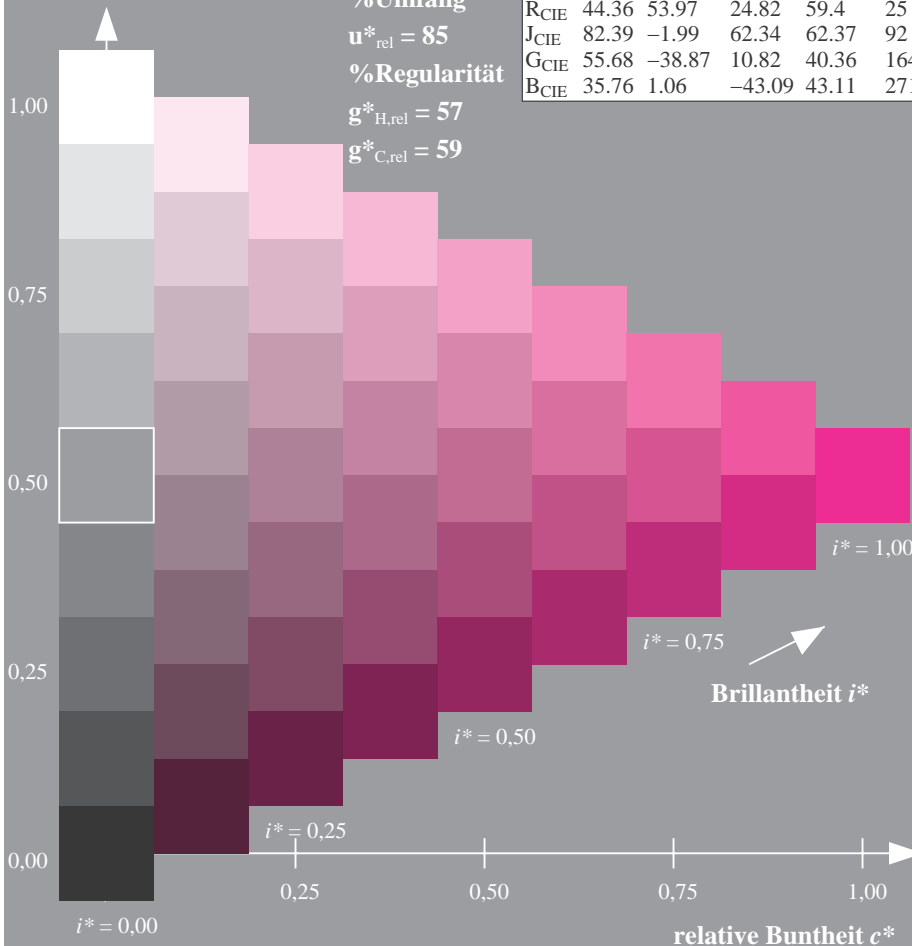
%Umfang

$u^*_{rel} = 85$

%Regularität

$g^*_{H,rel} = 57$

$g^*_{C,rel} = 59$



ZG900-7N, 9stufige Reihen für konstanten CIELAB Buntton 354/360 = 0.982 (links)

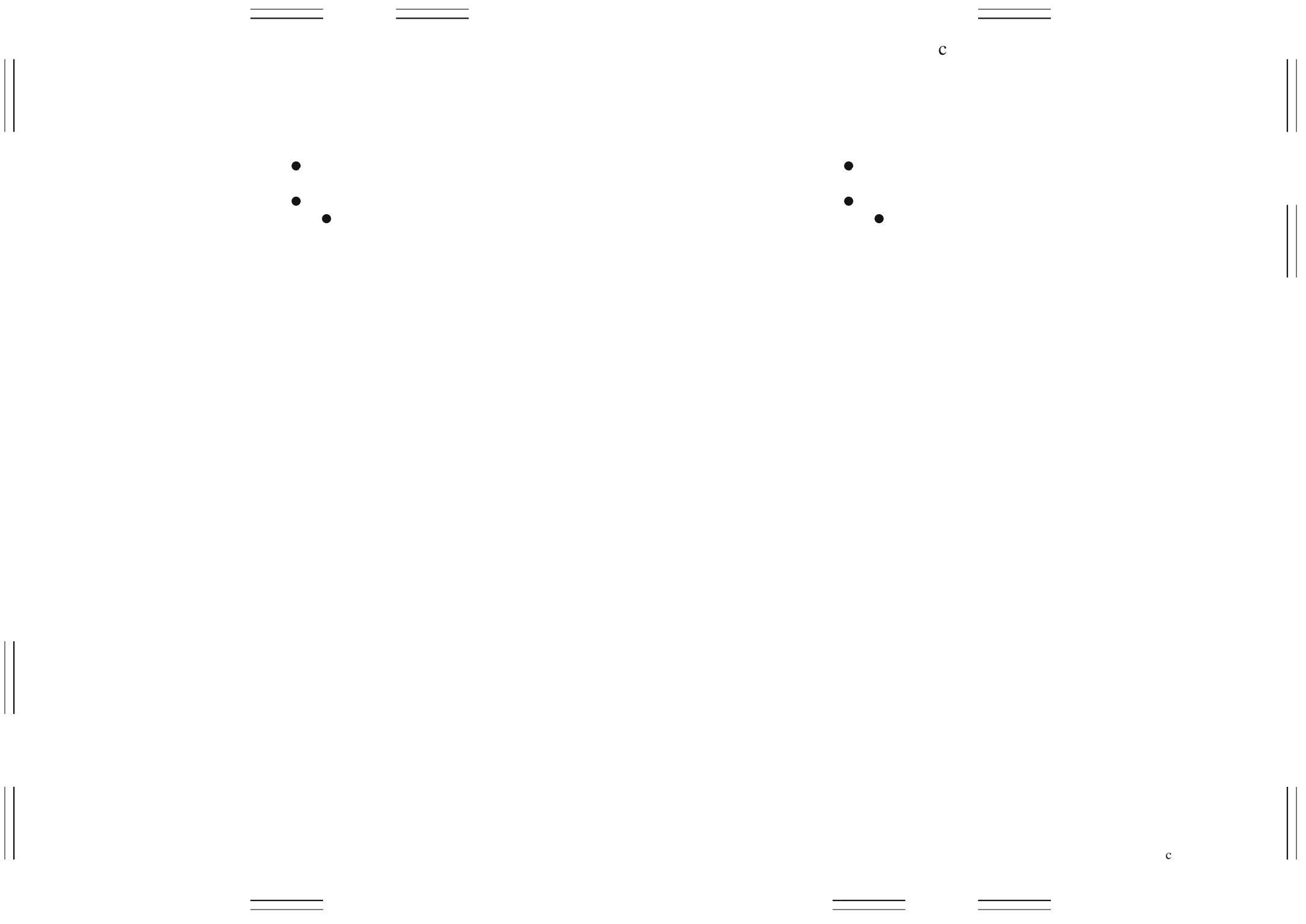
Seite 12/36

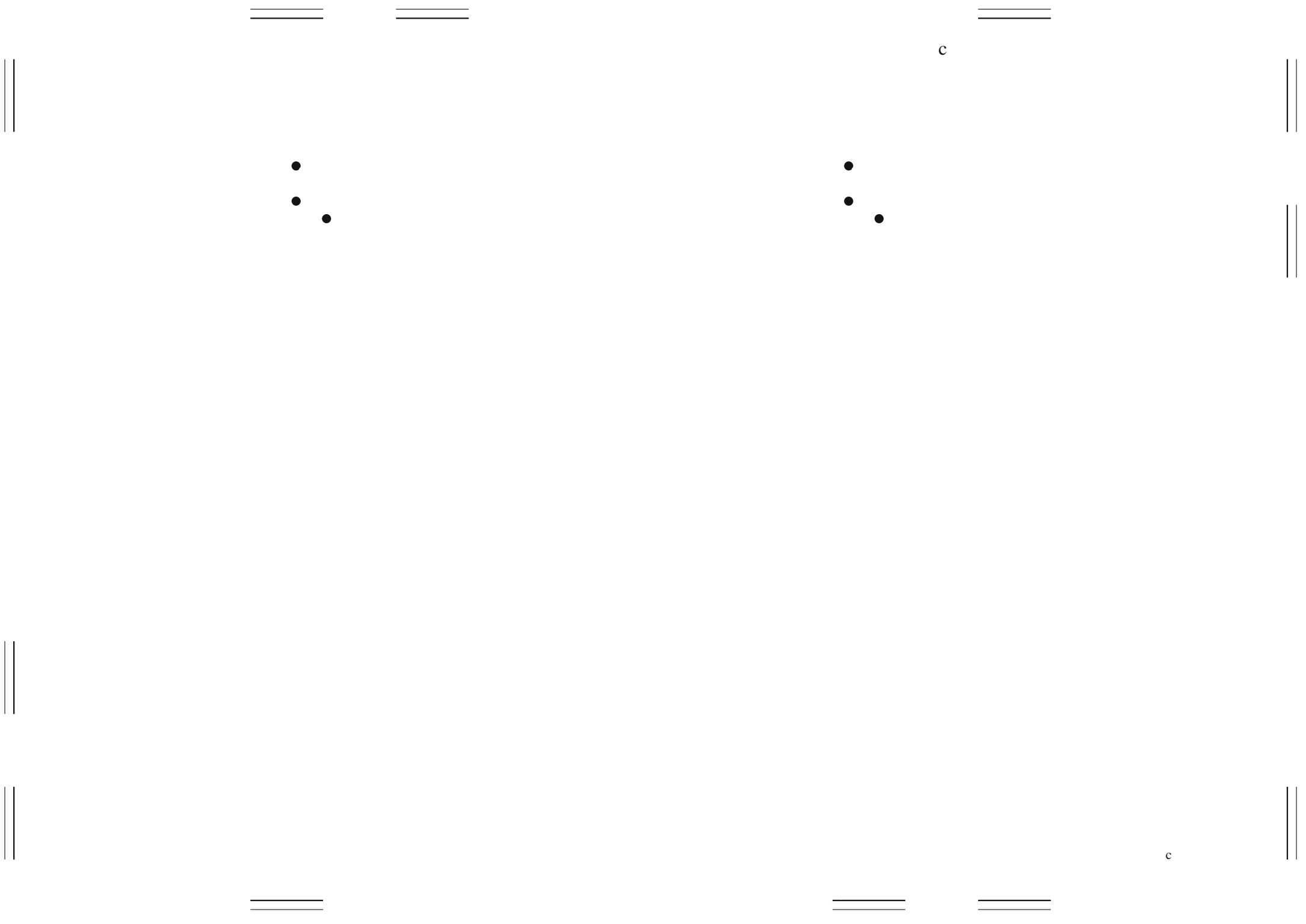
ZG900-7N, 16stufige Reihen für konstanten CIELAB Buntton 354/360 = 0.982 (rechts)

BAM-Prüfvorlage ZG90; Farbmimetrik-Systeme, Seite 12/36 Eingabe: $rgb / cmy0\ set(rgb/cmyk)color$

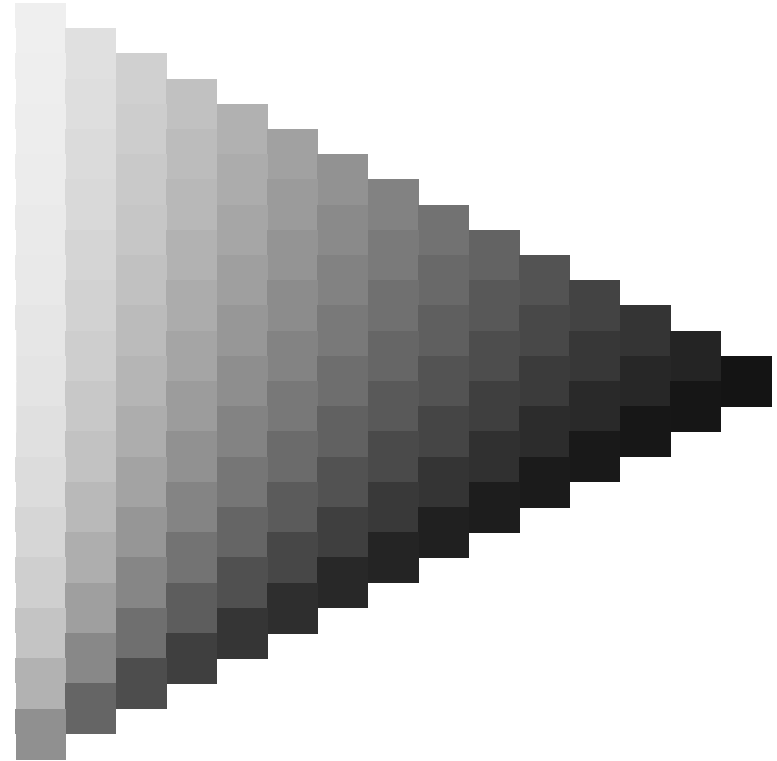
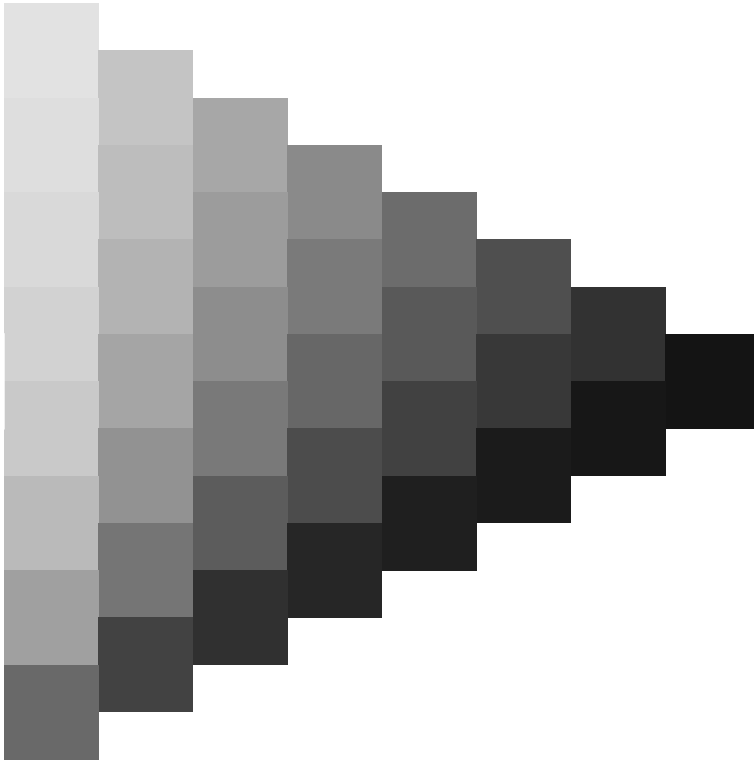
D65: 9 und 16stufige Farbreihen für 6 Geräte-Bunttöne

Ausgabe: $->cmy5*\ setcmykcolor$



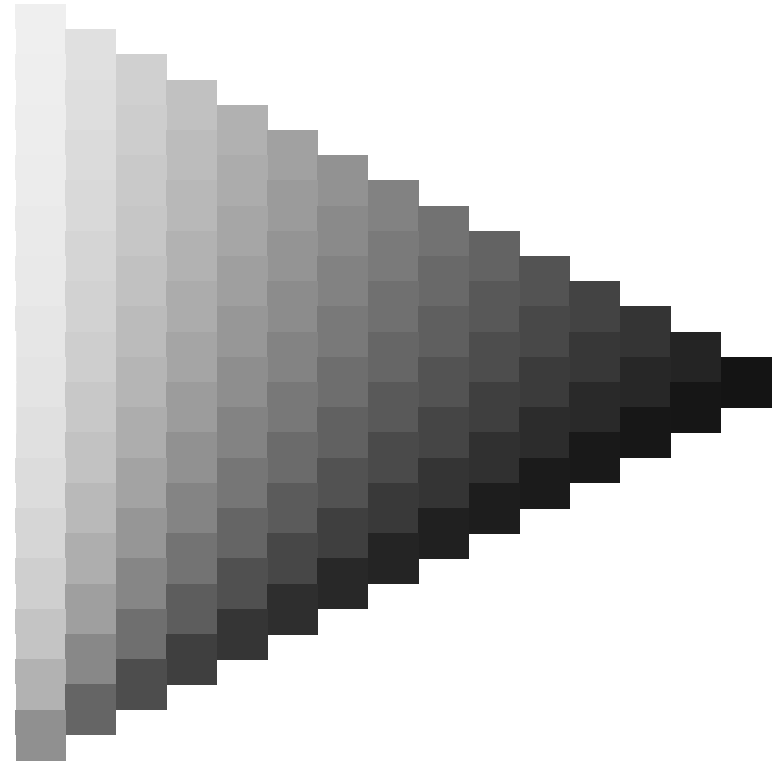
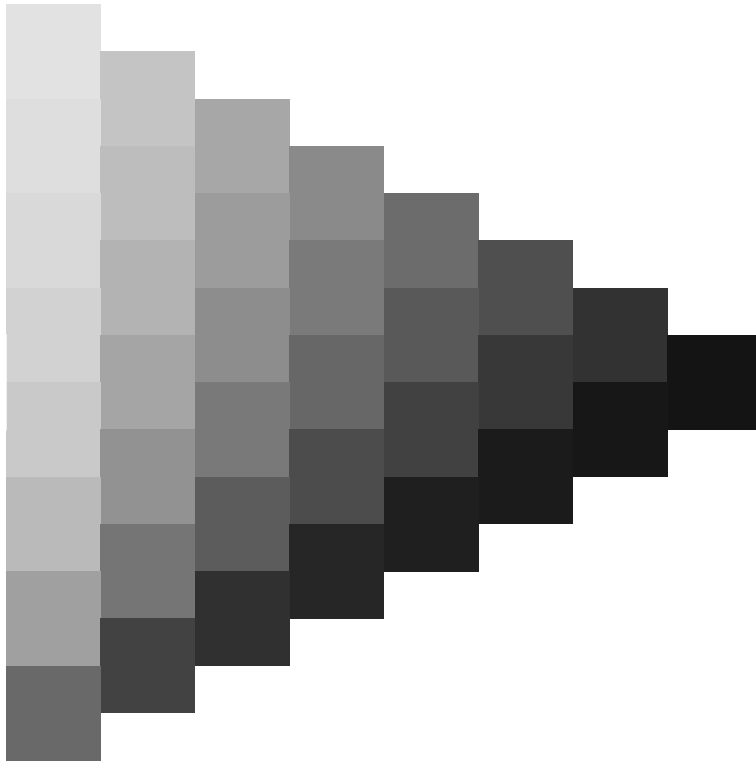


c

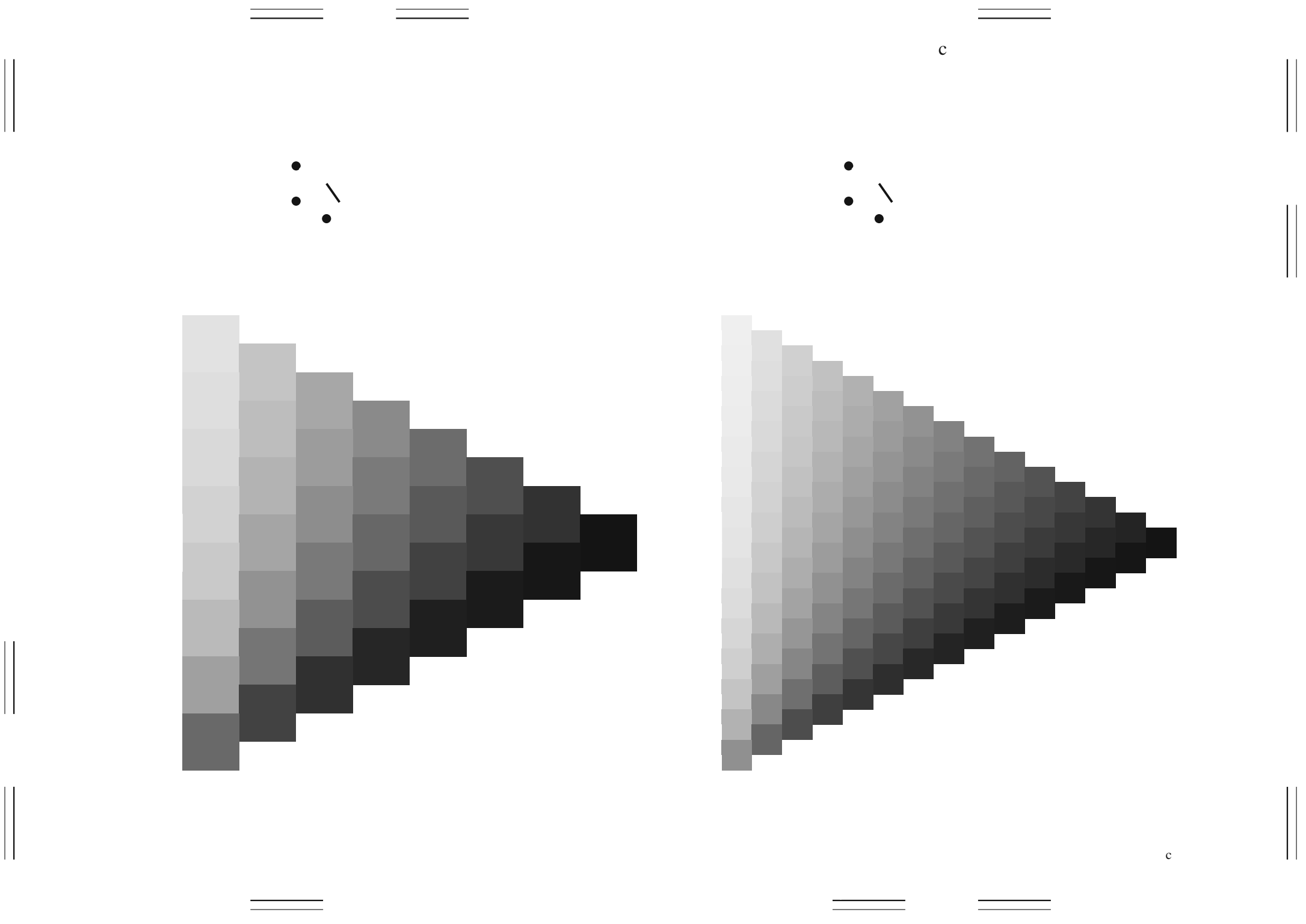


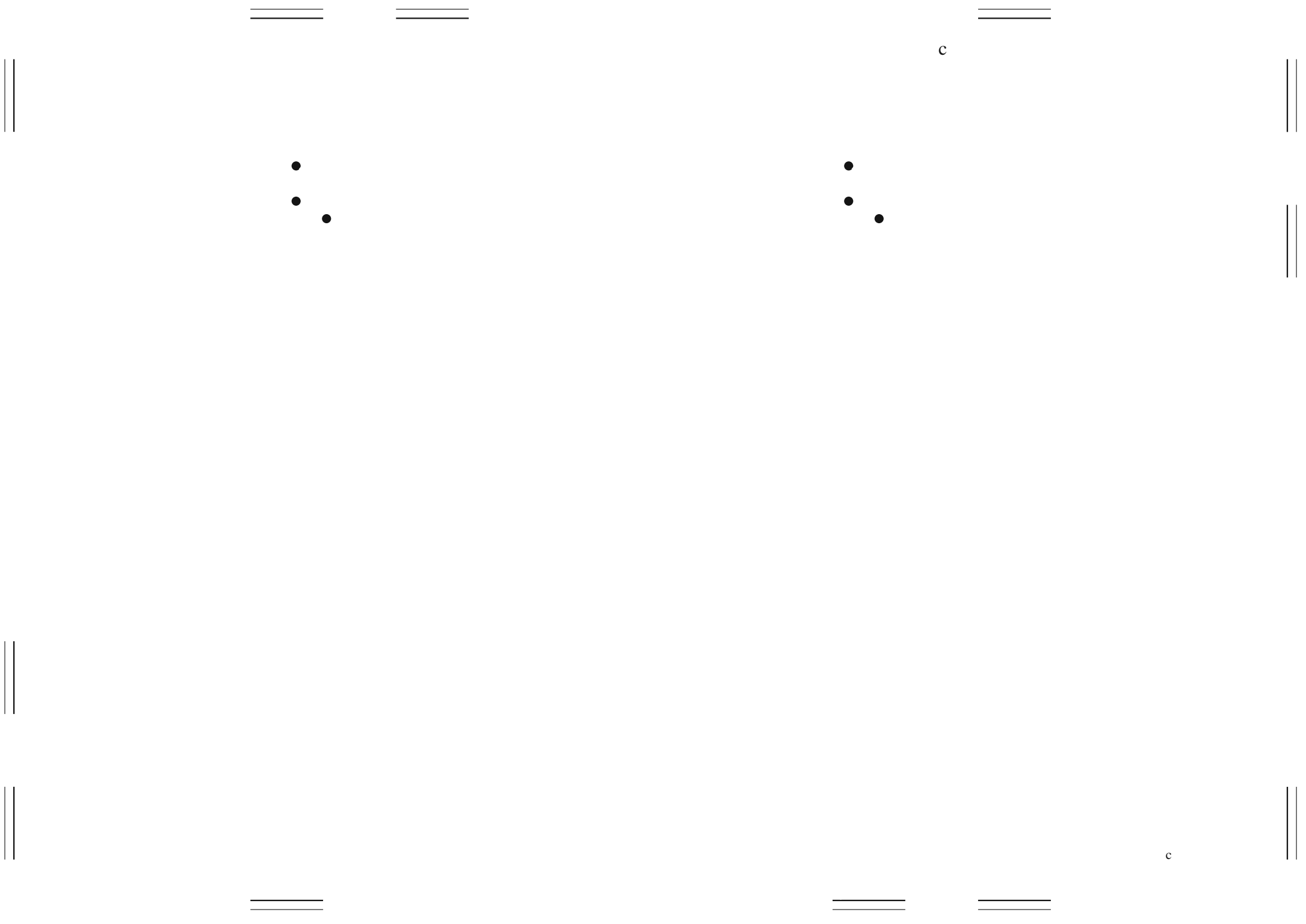
c

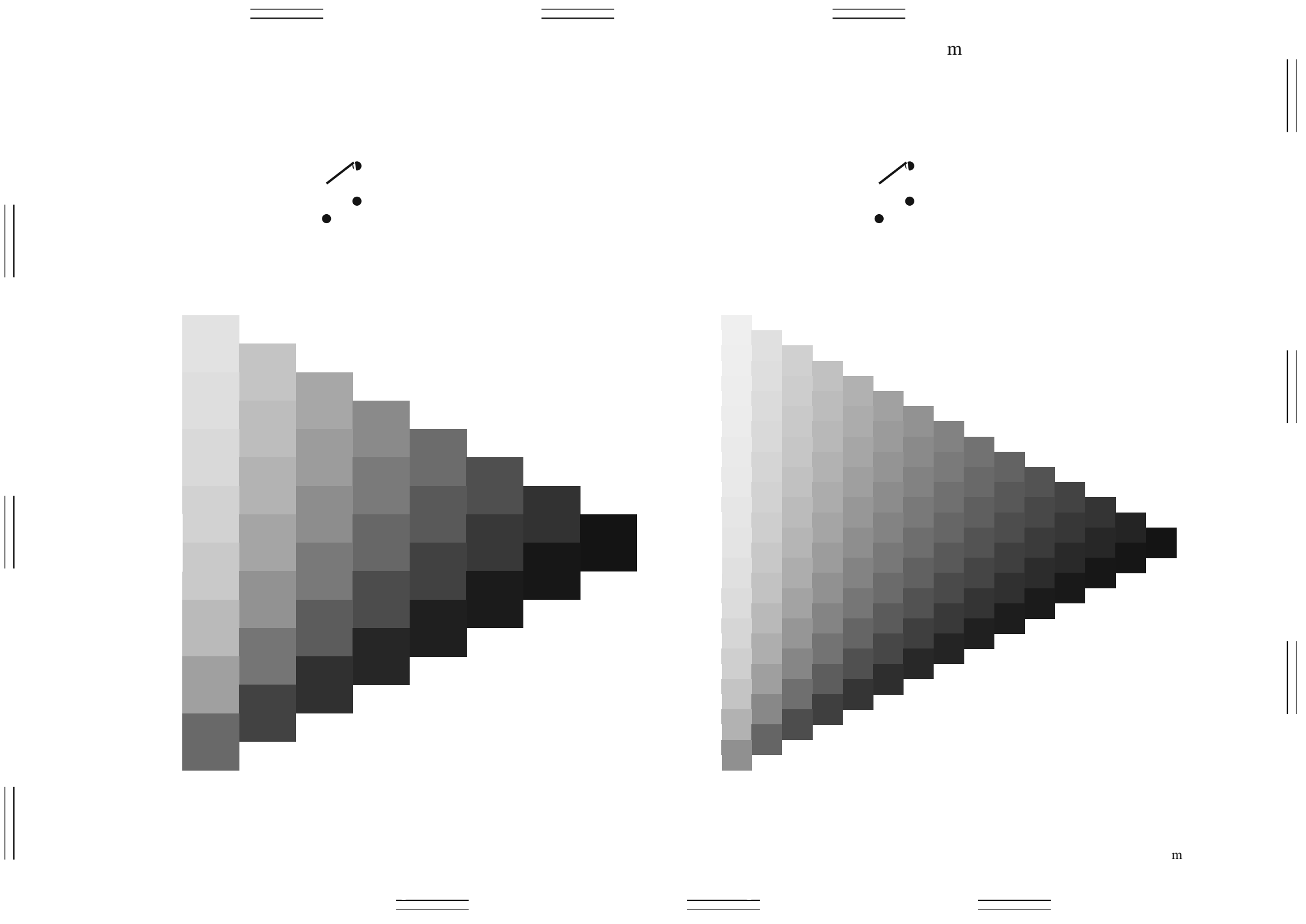
c

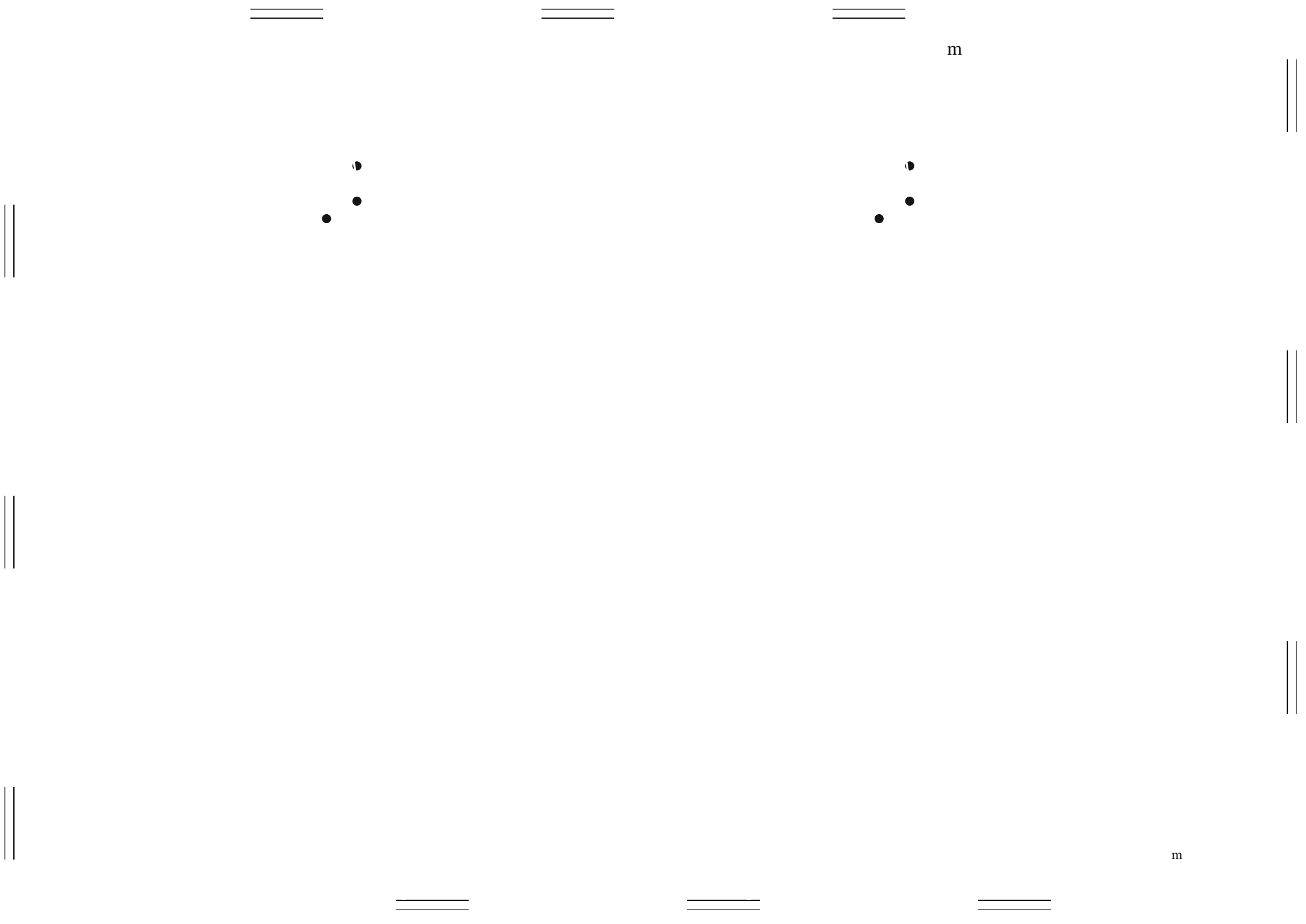


c



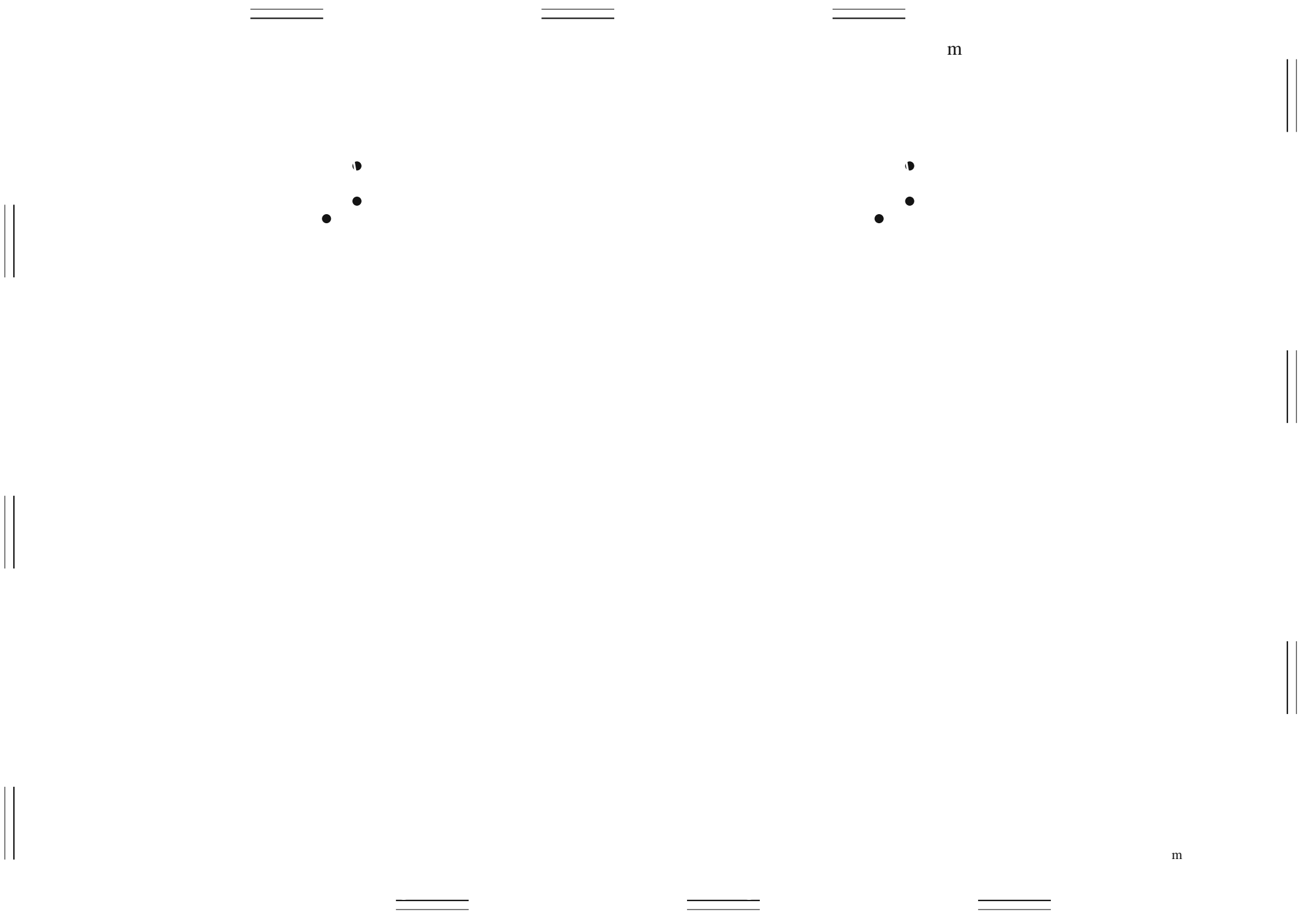


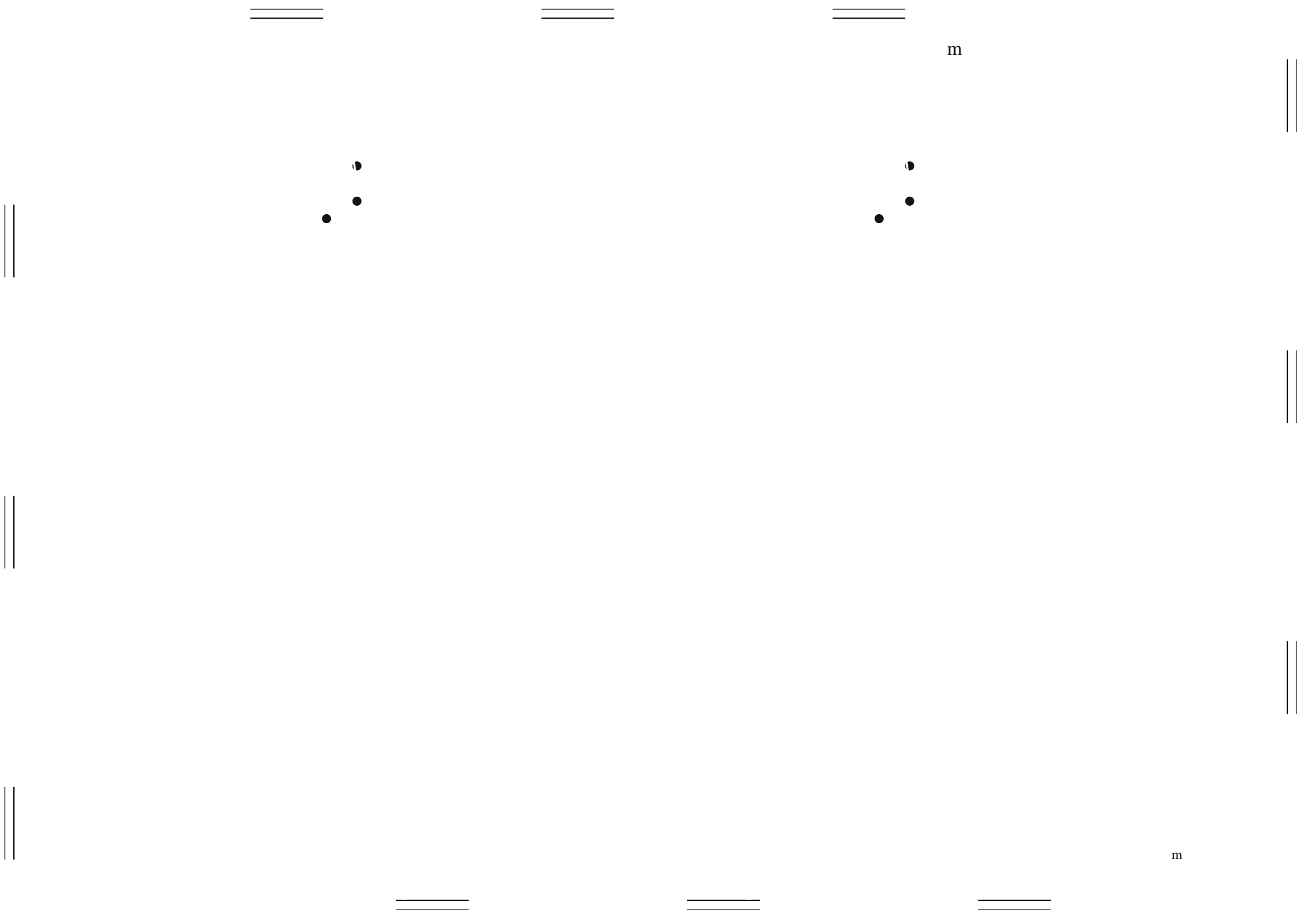


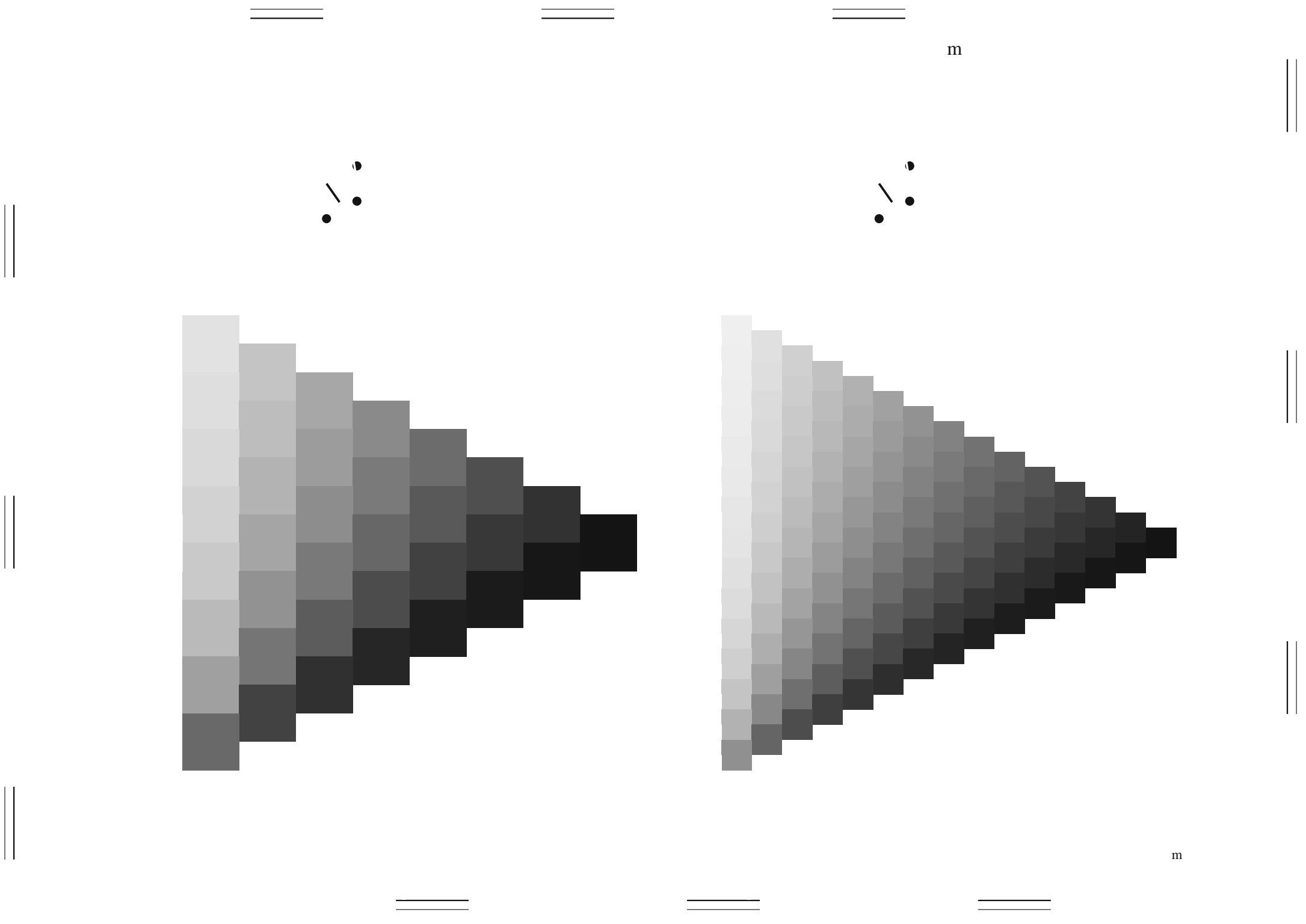


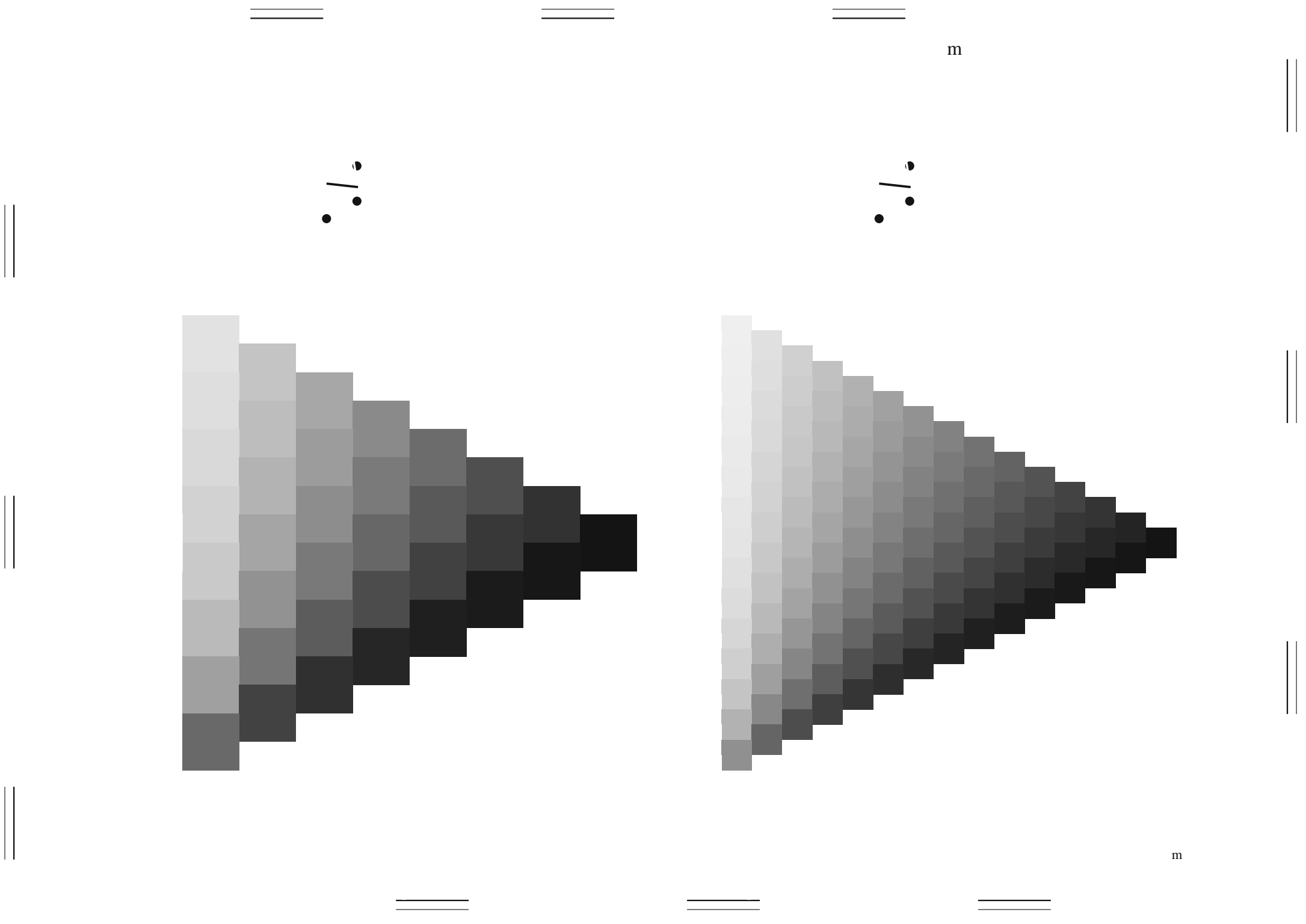
m

m



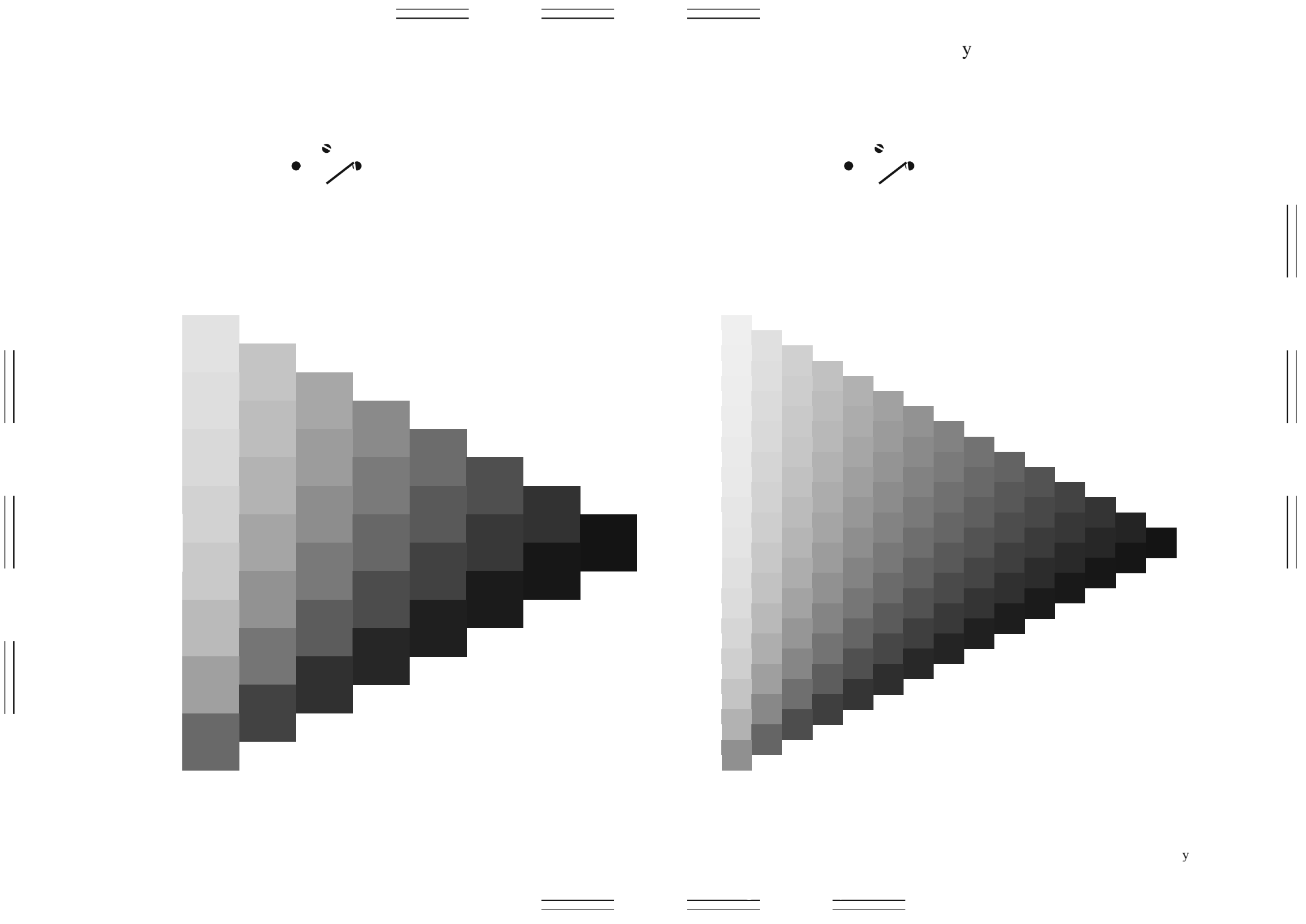


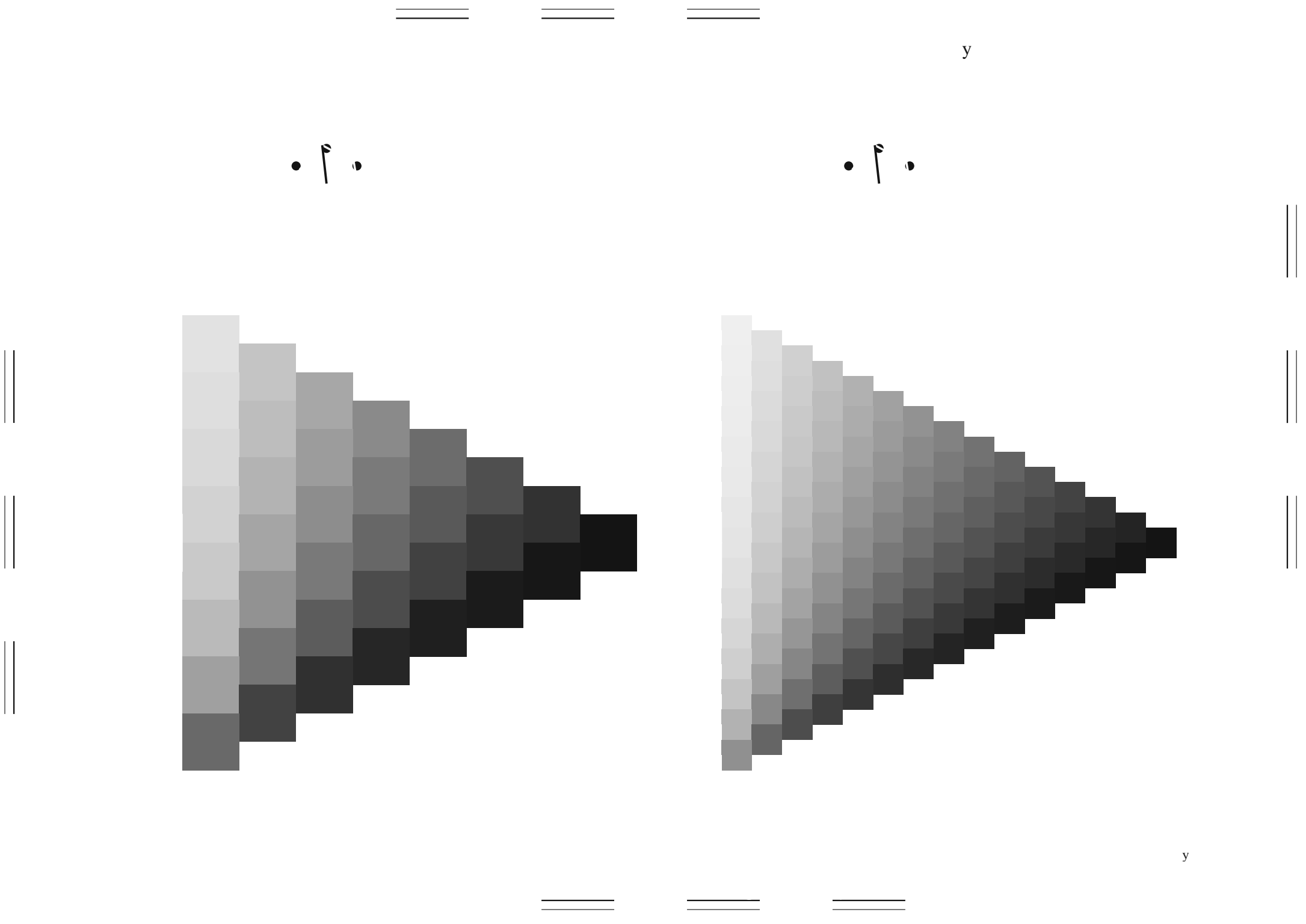


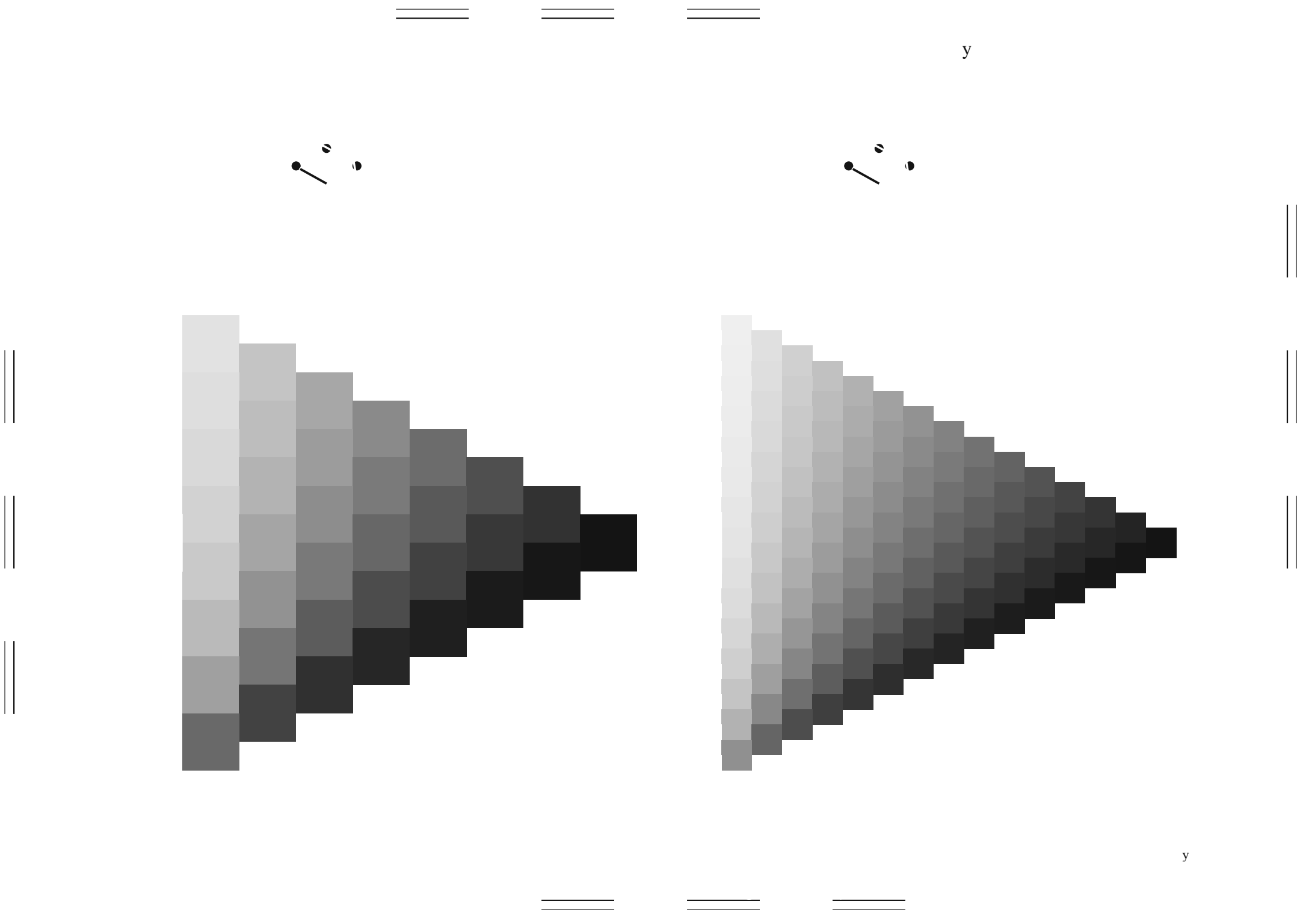


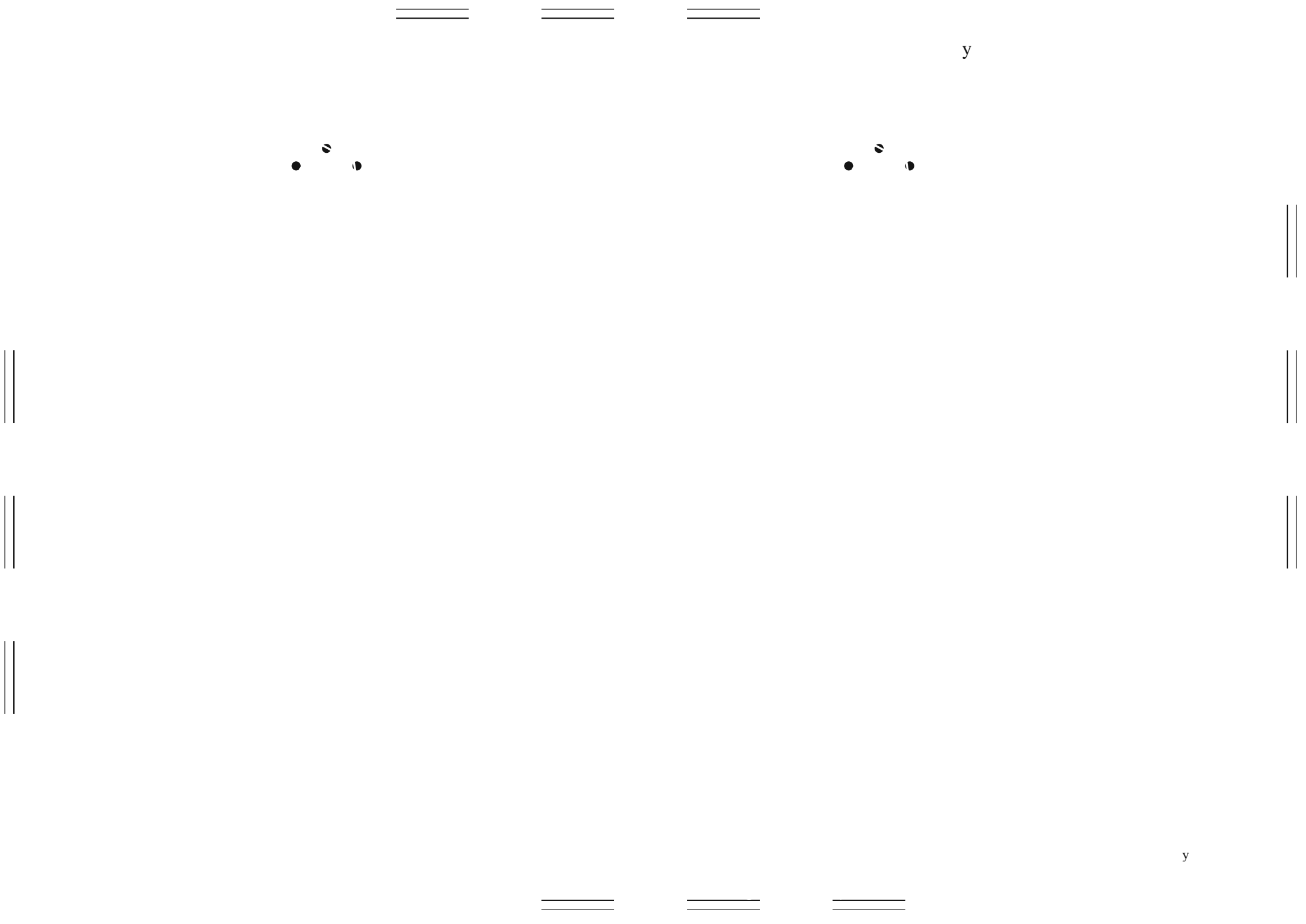
m

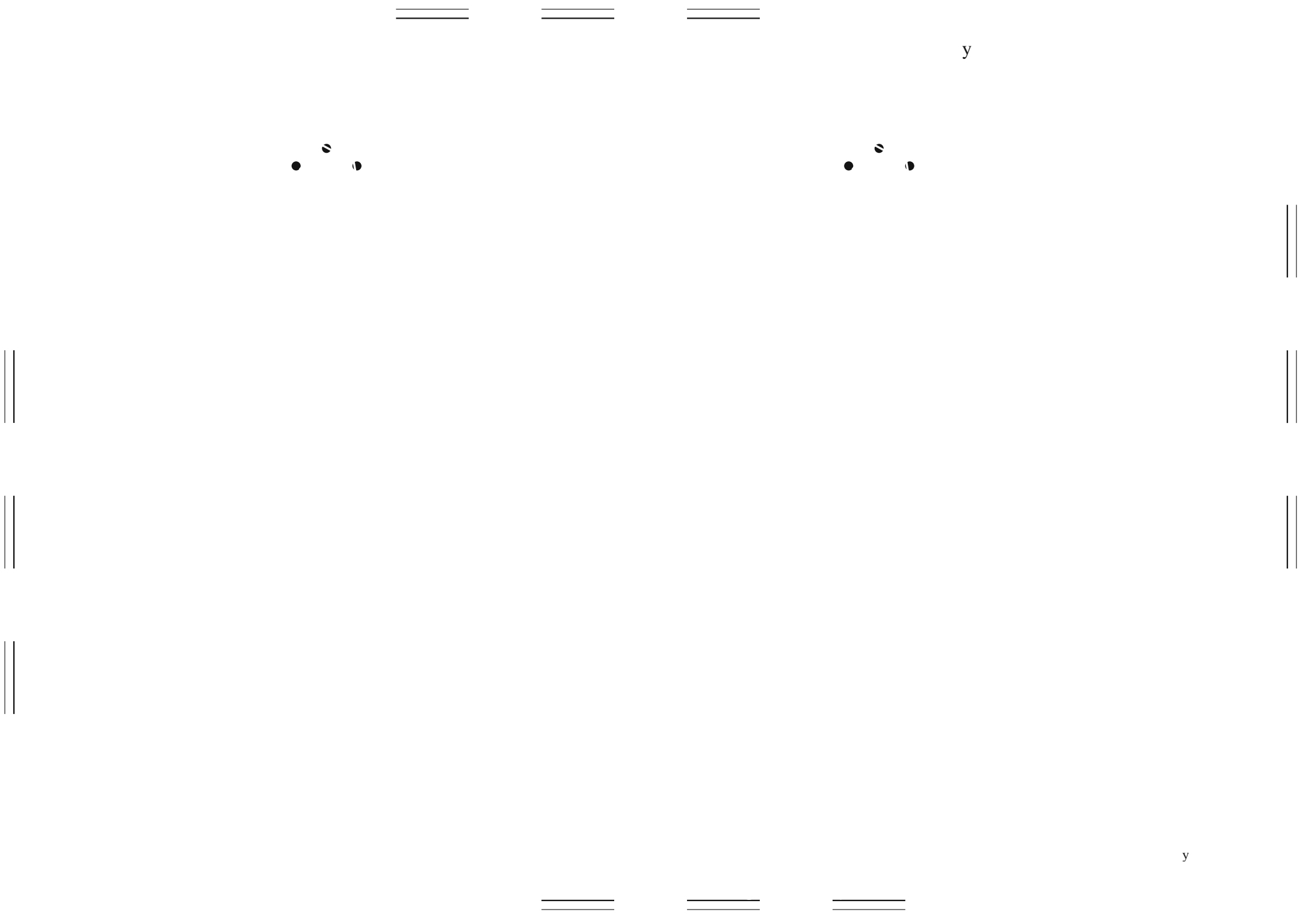
m

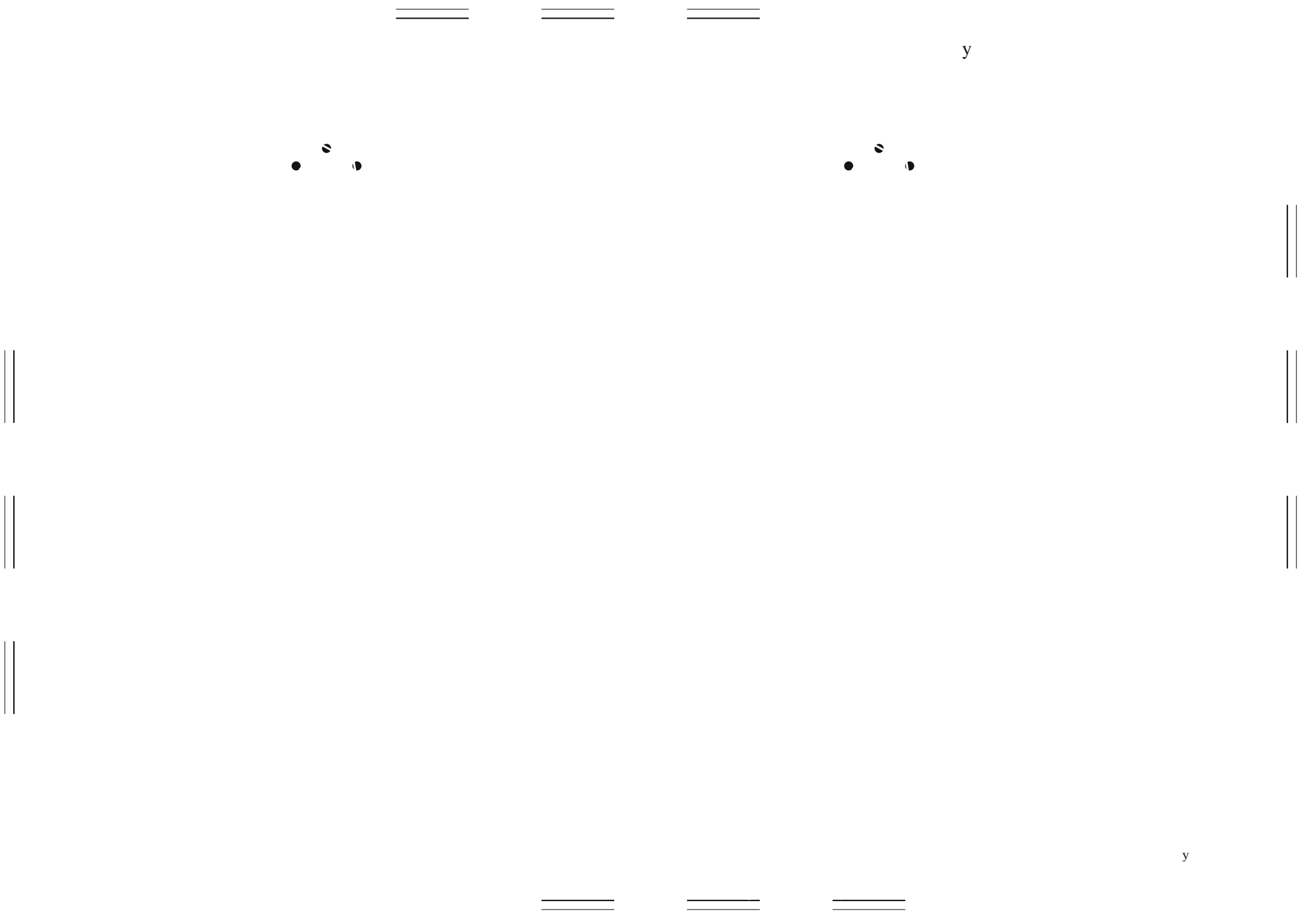












Eingabe: Farbmétrisches Offset-Reflektiv-System ORS18

für Buntton $h^* = lab^*h = 38/360 = 0.105$

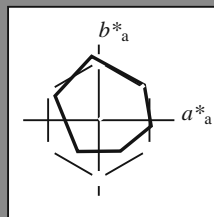
lab^*tch und lab^*nch

D65: Buntton O

LCH*Ma: 52 76 38

olv*Ma: 1.0 0.0 0.0

Dreiecks-Helligkeit t^*



%Umfang

$u^*_{rel} = 85$

%Regularität

$g^*_{H,rel} = 57$

$g^*_{C,rel} = 59$

ORS18; adaptierte CIELAB-Daten

	$L^*=L^*_a$	a^*_a	b^*_a	$C^*_{ab,a}$	$h^*_{ab,a}$
O _{Ma}	51.74	60.16	46.48	76.02	38
Y _{Ma}	90.77	-9.44	84.41	84.94	96
L _{Ma}	54.46	-57.8	32.16	66.15	151
C _{Ma}	61.56	-27.91	-41.41	49.95	236
V _{Ma}	31.3	28.61	-40.85	49.88	305
M _{Ma}	51.91	69.26	-7.69	69.68	354
N _{Ma}	24.2	0.0	0.0	0.0	0
W _{Ma}	95.41	0.0	0.0	0.0	0
R _{CIE}	44.36	53.97	24.82	59.4	25
J _{CIE}	82.39	-1.99	62.34	62.37	92
G _{CIE}	55.68	-38.87	10.82	40.36	164
B _{CIE}	35.76	1.06	-43.09	43.11	271

Ausgabe: Farbmétrisches Offset-Reflektiv-System ORS18

für Buntton $h^* = lab^*h = 38/360 = 0.105$

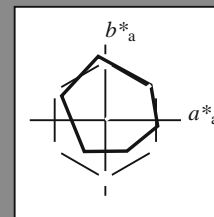
lab^*tch und lab^*nch

D65: Buntton O

LCH*Ma: 52 76 38

olv*Ma: 1.0 0.0 0.0

Dreiecks-Helligkeit t^*



%Umfang

$u^*_{rel} = 85$

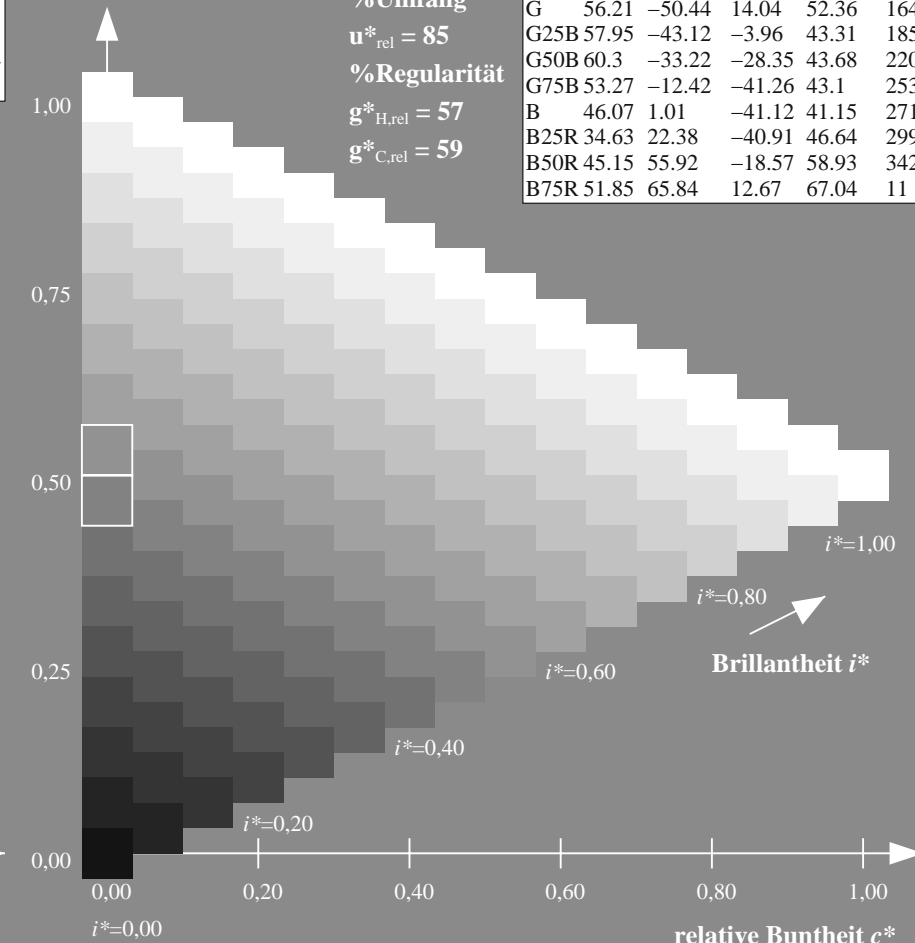
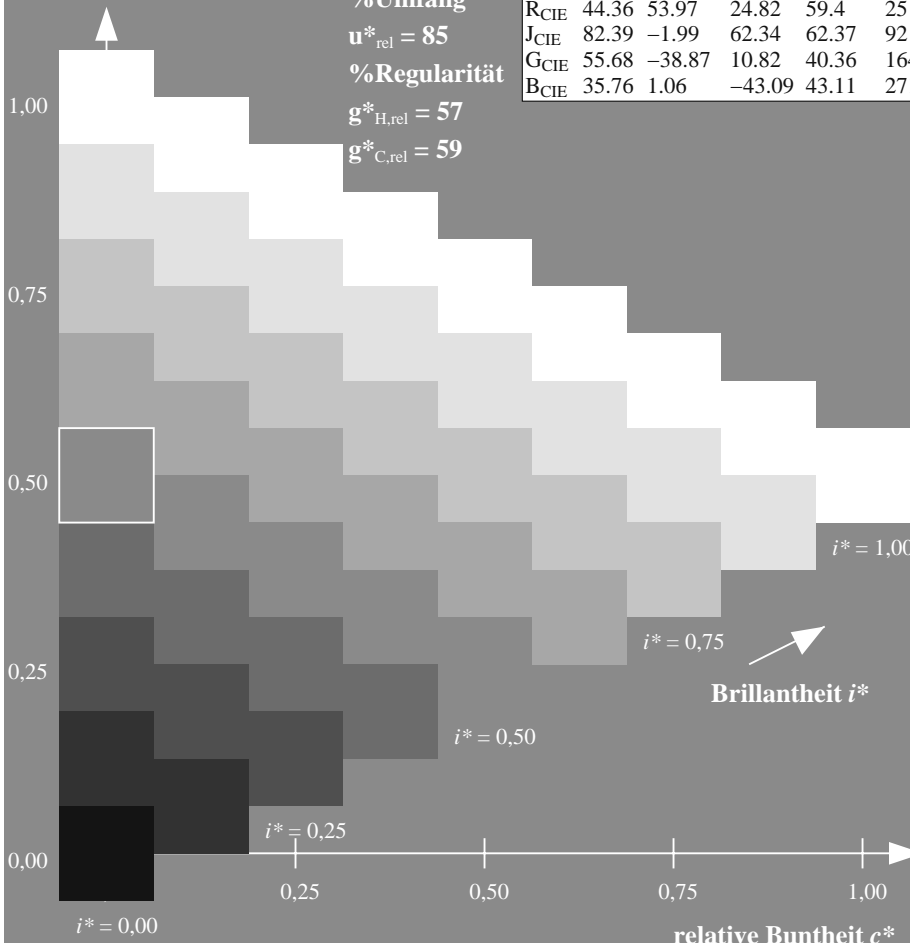
%Regularität

$g^*_{H,rel} = 57$

$g^*_{C,rel} = 59$

ORS18; adaptierte CIELAB-Daten

	$L^*=L^*_a$	a^*_a	b^*_a	$C^*_{ab,a}$	$h^*_{ab,a}$
R	51.79	63.09	29.02	69.44	25
R25J	53.73	56.6	48.42	74.48	41
R50J	65.47	35.67	59.82	69.65	59
R75J	76.51	15.98	70.55	72.34	77
J	86.93	-2.58	80.67	80.71	92
J25G	84.92	-17.23	75.99	77.92	103
J50G	73.11	-32.96	59.0	67.58	119
J75G	60.06	-50.34	40.22	64.44	141
G	56.21	-50.44	14.04	52.36	164
G25B	57.95	-43.12	-3.96	43.31	185
G50B	60.3	-33.22	-28.35	43.68	220
G75B	53.27	-12.42	-41.26	43.1	253
B	46.07	1.01	-41.12	41.15	271
B25R	34.63	22.38	-40.91	46.64	299
B50R	45.15	55.92	-18.57	58.93	342
B75R	51.85	65.84	12.67	67.04	11



ZG900-7N, 9stufige Reihen für konstanten CIELAB Buntton 38/360 = 0.105 (links)

Seite 31/36

ZG900-7N, 16stufige Reihen für konstanten CIELAB Buntton 38/360 = 0.105 (rechts)

n

BAM-Prüfvorlage ZG90; Farbmétrik-Systeme, Seite 31/36 Eingabe: $rgb / cmy0 set(rgb/cmyk)color$

D65: 9 und 16stufige Farbreihen für 6 Geräte-Bunttöne

Ausgabe: $-> cmy5* setcmykcolor$

Eingabe: Farbmétrisches Offset-Reflektiv-System ORS18

für Buntton $h^* = lab^*h = 96/360 = 0.268$

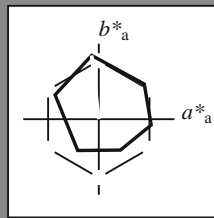
lab^*tch und lab^*nch

D65: Buntton Y

LCH*Ma: 91 85 96

olv*Ma: 1.0 1.0 0.0

Dreiecks-Helligkeit t^*



%Umfang

$u^*_{rel} = 85$

%Regularität

$g^*_{H,rel} = 57$

$g^*_{C,rel} = 59$

ORS18; adaptierte CIELAB-Daten

	$L^*=L^*_a$	a^*_a	b^*_a	$C^*_{ab,a}$	$h^*_{ab,a}$
O _{Ma}	51.74	60.16	46.48	76.02	38
Y _{Ma}	90.77	-9.44	84.41	84.94	96
L _{Ma}	54.46	-57.8	32.16	66.15	151
C _{Ma}	61.56	-27.91	-41.41	49.95	236
V _{Ma}	31.3	28.61	-40.85	49.88	305
M _{Ma}	51.91	69.26	-7.69	69.68	354
N _{Ma}	24.2	0.0	0.0	0.0	0
W _{Ma}	95.41	0.0	0.0	0.0	0
R _{CIE}	44.36	53.97	24.82	59.4	25
J _{CIE}	82.39	-1.99	62.34	62.37	92
G _{CIE}	55.68	-38.87	10.82	40.36	164
B _{CIE}	35.76	1.06	-43.09	43.11	271

Ausgabe: Farbmétrisches Offset-Reflektiv-System ORS18

für Buntton $h^* = lab^*h = 96/360 = 0.268$

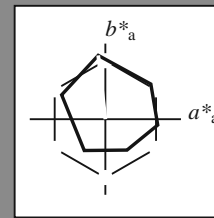
lab^*tch und lab^*nch

D65: Buntton Y

LCH*Ma: 91 85 96

olv*Ma: 1.0 1.0 0.0

Dreiecks-Helligkeit t^*



%Umfang

$u^*_{rel} = 85$

%Regularität

$g^*_{H,rel} = 57$

$g^*_{C,rel} = 59$

ORS18; adaptierte CIELAB-Daten

	$L^*=L^*_a$	a^*_a	b^*_a	$C^*_{ab,a}$	$h^*_{ab,a}$
R	51.79	63.09	29.02	69.44	25
R25J	53.73	56.6	48.42	74.48	41
R50J	65.47	35.67	59.82	69.65	59
R75J	76.51	15.98	70.55	72.34	77
J	86.93	-2.58	80.67	80.71	92
J25G	84.92	-17.23	75.99	77.92	103
J50G	73.11	-32.96	59.0	67.58	119
J75G	60.06	-50.34	40.22	64.44	141
G	56.21	-50.44	14.04	52.36	164
G25B	57.95	-43.12	-3.96	43.31	185
G50B	60.3	-33.22	-28.35	43.68	220
G75B	53.27	-12.42	-41.26	43.1	253
B	46.07	1.01	-41.12	41.15	271
B25R	34.63	22.38	-40.91	46.64	299
B50R	45.15	55.92	-18.57	58.93	342
B75R	51.85	65.84	12.67	67.04	11

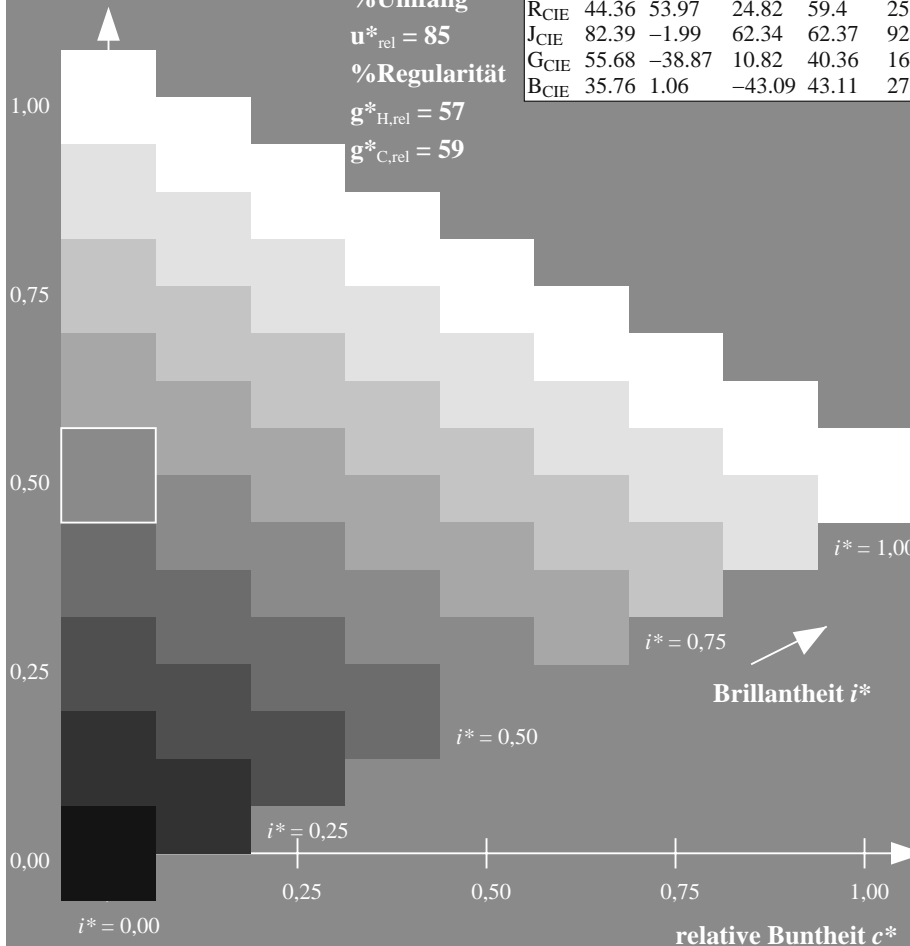
%Umfang

$u^*_{rel} = 85$

%Regularität

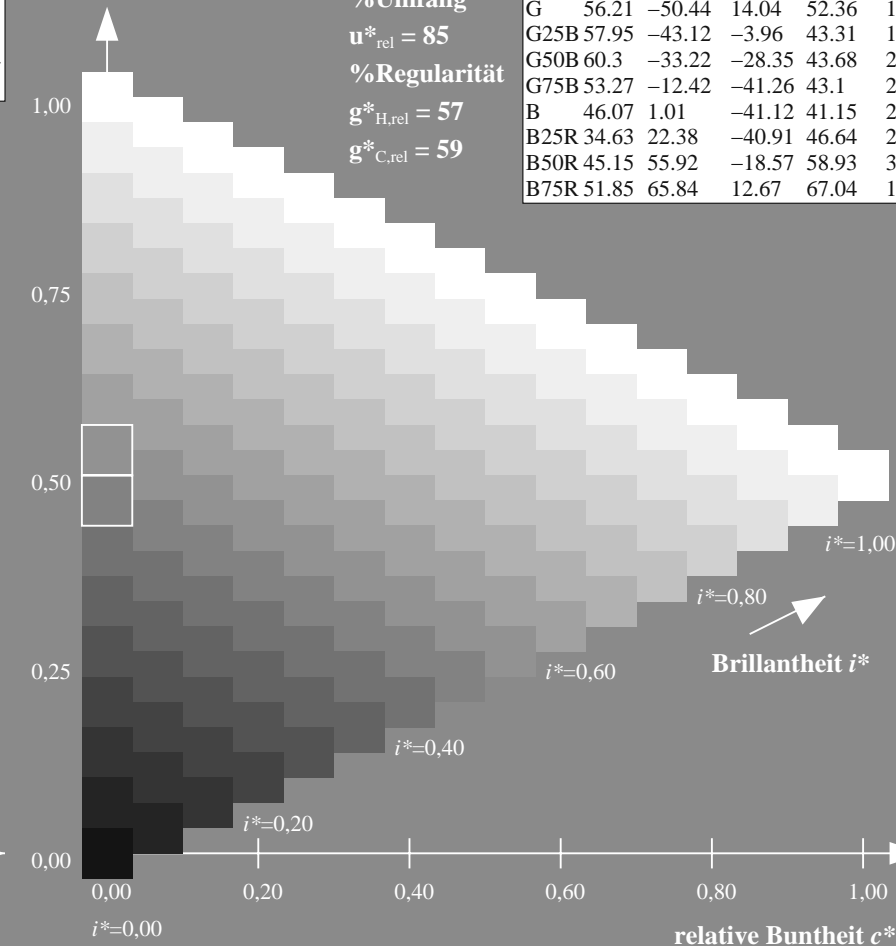
$g^*_{H,rel} = 57$

$g^*_{C,rel} = 59$



Brillantheit i^*

relative Bunttheit c^*



Brillantheit i^*

relative Bunttheit c^*

ZG900-7N, 9stufige Reihen für konstanten CIELAB Buntton 96/360 = 0.268 (links)

Seite 32/36

ZG900-7N, 16stufige Reihen für konstanten CIELAB Buntton 96/360 = 0.268 (rechts)

n

BAM-Prüfvorlage ZG90; Farbmétrik-Systeme, Seite 32/36 Eingabe: $rgb / cmy0 set(rgb/cmyk)color$

D65: 9 und 16stufige Farbreihen für 6 Geräte-Bunttöne

Ausgabe: $->cmy5* setcmykcolor$

Eingabe: Farbmétrisches Offset-Reflektiv-System ORS18

für Buntton $h^* = lab^*h = 236/360 = 0.656$

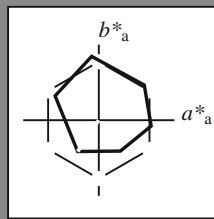
lab^*tch und lab^*nch

D65: Buntton C

LCH*Ma: 62 50 236

olv*Ma: 0.0 1.0 1.0

Dreiecks-Helligkeit t^*



%Umfang

$u^*_{rel} = 85$

%Regularität

$g^*_{H,rel} = 57$

$g^*_{C,rel} = 59$

ORS18; adaptierte CIELAB-Daten

	$L^*=L^*_a$	a^*_a	b^*_a	$C^*_{ab,a}$	$h^*_{ab,a}$
O _{Ma}	51.74	60.16	46.48	76.02	38
Y _{Ma}	90.77	-9.44	84.41	84.94	96
L _{Ma}	54.46	-57.8	32.16	66.15	151
C _{Ma}	61.56	-27.91	-41.41	49.95	236
V _{Ma}	31.3	28.61	-40.85	49.88	305
M _{Ma}	51.91	69.26	-7.69	69.68	354
N _{Ma}	24.2	0.0	0.0	0.0	0
W _{Ma}	95.41	0.0	0.0	0.0	0
R _{CIE}	44.36	53.97	24.82	59.4	25
J _{CIE}	82.39	-1.99	62.34	62.37	92
G _{CIE}	55.68	-38.87	10.82	40.36	164
B _{CIE}	35.76	1.06	-43.09	43.11	271

Ausgabe: Farbmétrisches Offset-Reflektiv-System ORS18

für Buntton $h^* = lab^*h = 236/360 = 0.656$

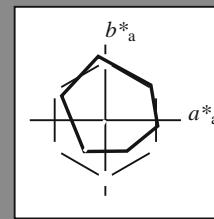
lab^*tch und lab^*nch

D65: Buntton C

LCH*Ma: 62 50 236

olv*Ma: 0.0 1.0 1.0

Dreiecks-Helligkeit t^*



%Umfang

$u^*_{rel} = 85$

%Regularität

$g^*_{H,rel} = 57$

$g^*_{C,rel} = 59$

ORS18; adaptierte CIELAB-Daten

	$L^*=L^*_a$	a^*_a	b^*_a	$C^*_{ab,a}$	$h^*_{ab,a}$
R	51.79	63.09	29.02	69.44	25
R25J	53.73	56.6	48.42	74.48	41
R50J	65.47	35.67	59.82	69.65	59
R75J	76.51	15.98	70.55	72.34	77
J	86.93	-2.58	80.67	80.71	92
J25G	84.92	-17.23	75.99	77.92	103
J50G	73.11	-32.96	59.0	67.58	119
J75G	60.06	-50.34	40.22	64.44	141
G	56.21	-50.44	14.04	52.36	164
G25B	57.95	-43.12	-3.96	43.31	185
G50B	60.3	-33.22	-28.35	43.68	220
G75B	53.27	-12.42	-41.26	43.1	253
B	46.07	1.01	-41.12	41.15	271
B25R	34.63	22.38	-40.91	46.64	299
B50R	45.15	55.92	-18.57	58.93	342
B75R	51.85	65.84	12.67	67.04	11

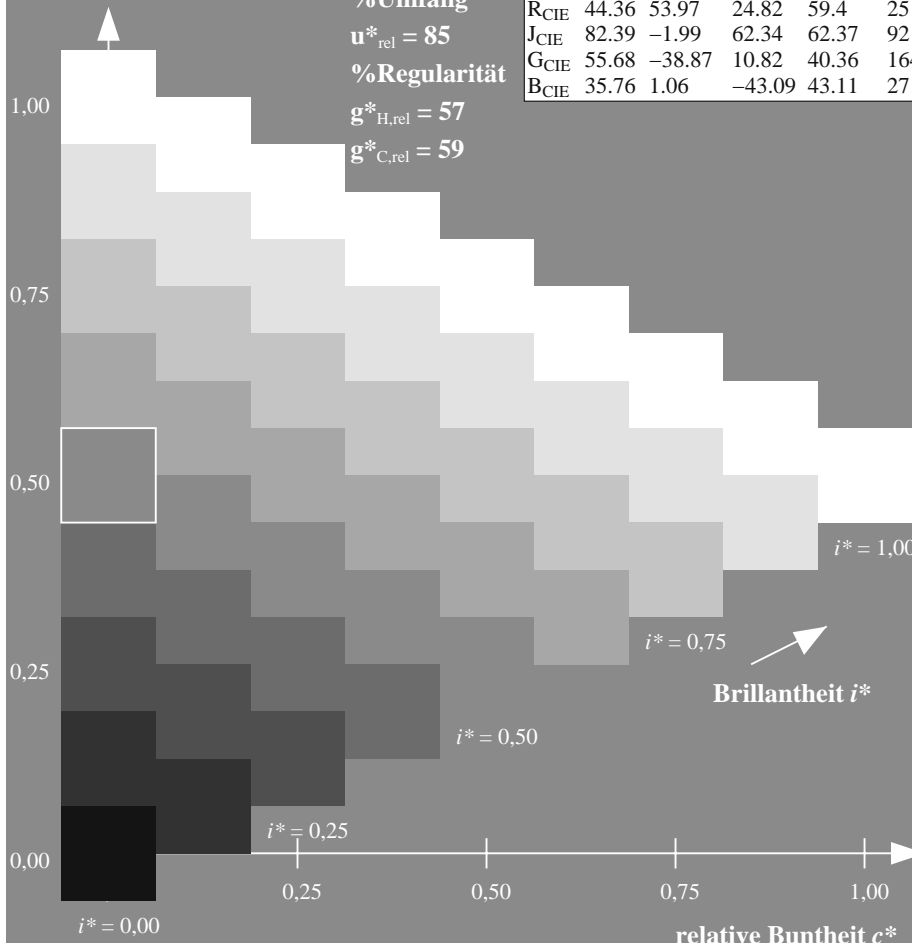
%Umfang

$u^*_{rel} = 85$

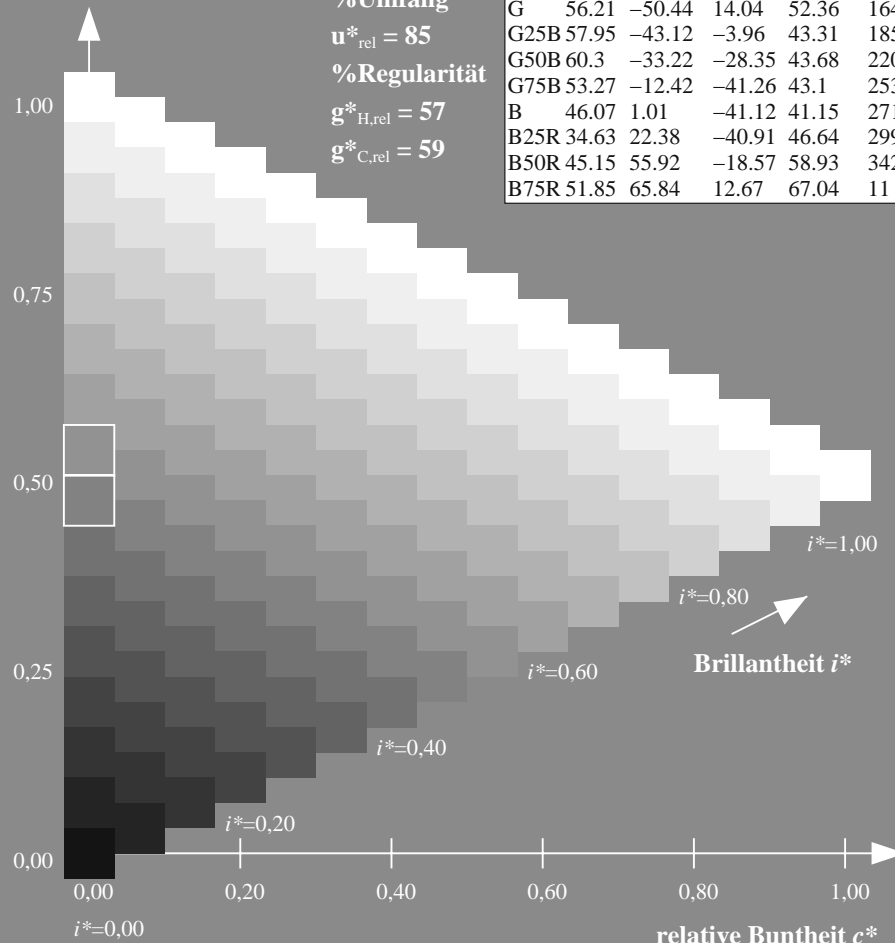
%Regularität

$g^*_{H,rel} = 57$

$g^*_{C,rel} = 59$



Brillantheit i^*



Brillantheit i^*

ZG900-7N, 9stufige Reihen für konstanten CIELAB Buntton 236/360 = 0.656 (links) Seite 34/36

ZG900-7N, 16stufige Reihen für konstanten CIELAB Buntton 236/360 = 0.656 (rechts) n

BAM-Prüfvorlage ZG90; Farbmétrik-Systeme, Seite 34/36 Eingabe: $rgb / cmy0 set(rgb/cmyk)color$

D65: 9 und 16stufige Farbreihen für 6 Geräte-Bunttöne Ausgabe: $->cmy5* setcmykcolor$

Siehe ähnliche Dateien: <http://www.ps.bam.de/ZG90/>; <http://www.ps.bam.de/ZG.HTM>
Technische Information: <http://www.ps.bam.de> Version 2.1, io=1,1

BAM-Registrierung: 20071001-ZG90/10L/L90G00NA.PS/.TXT BAM-Material: Code=rh4ta
Anwendung für Beurteilung und Messung von Drucker- oder Monitorssystemen

Eingabe: Farbmétrisches Offset-Reflektiv-System ORS18

für Buntton $h^* = lab^*h = 305/360 = 0.847$

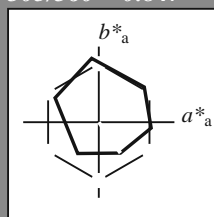
lab^*tch und lab^*nch

D65: Buntton V

LCH*Ma: 31 50 305

olv*Ma: 0.0 0.0 1.0

Dreiecks-Helligkeit t^*



%Umfang

$u^*_{rel} = 85$

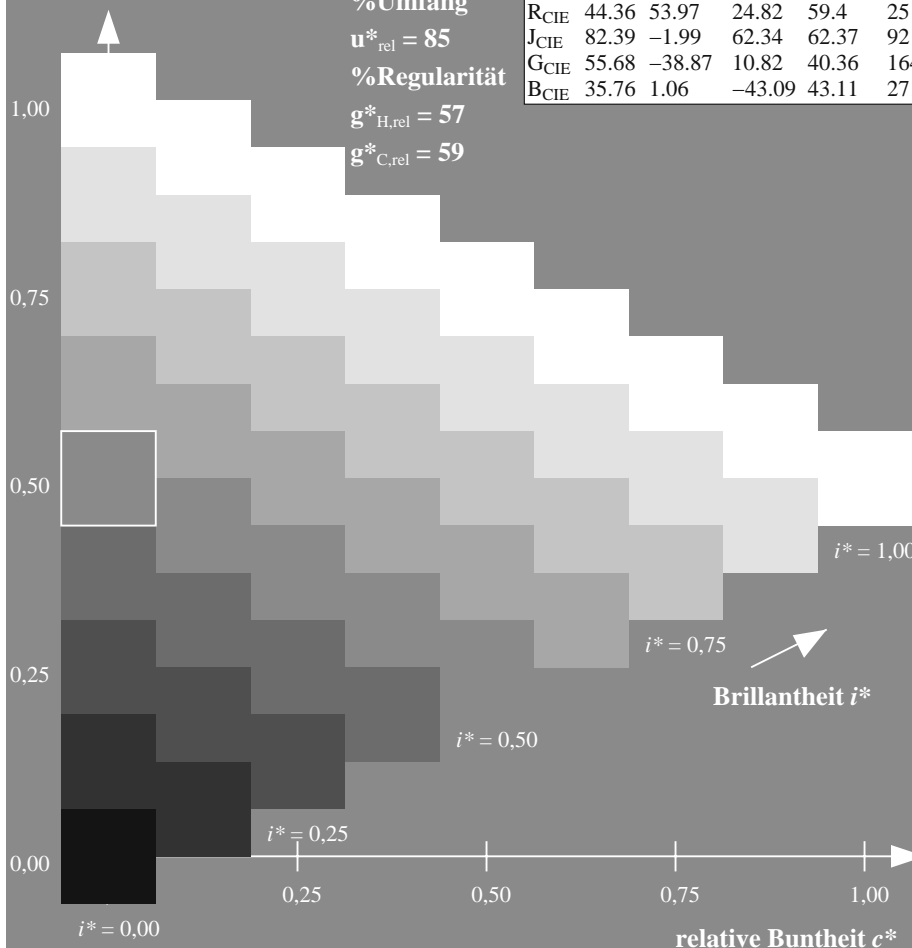
%Regularität

$g^*_{H,rel} = 57$

$g^*_{C,rel} = 59$

ORS18; adaptierte CIELAB-Daten

	$L^*=L^*_a$	a^*_a	b^*_a	$C^*_{ab,a}$	$h^*_{ab,a}$
O _{Ma}	51.74	60.16	46.48	76.02	38
Y _{Ma}	90.77	-9.44	84.41	84.94	96
L _{Ma}	54.46	-57.8	32.16	66.15	151
C _{Ma}	61.56	-27.91	-41.41	49.95	236
V _{Ma}	31.3	28.61	-40.85	49.88	305
M _{Ma}	51.91	69.26	-7.69	69.68	354
N _{Ma}	24.2	0.0	0.0	0.0	0
W _{Ma}	95.41	0.0	0.0	0.0	0
R _{CIE}	44.36	53.97	24.82	59.4	25
J _{CIE}	82.39	-1.99	62.34	62.37	92
G _{CIE}	55.68	-38.87	10.82	40.36	164
B _{CIE}	35.76	1.06	-43.09	43.11	271



Ausgabe: Farbmétrisches Offset-Reflektiv-System ORS18

für Buntton $h^* = lab^*h = 305/360 = 0.847$

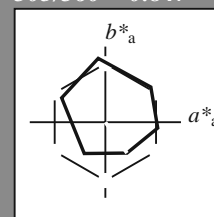
lab^*tch und lab^*nch

D65: Buntton V

LCH*Ma: 31 50 305

olv*Ma: 0.0 0.0 1.0

Dreiecks-Helligkeit t^*



%Umfang

$u^*_{rel} = 85$

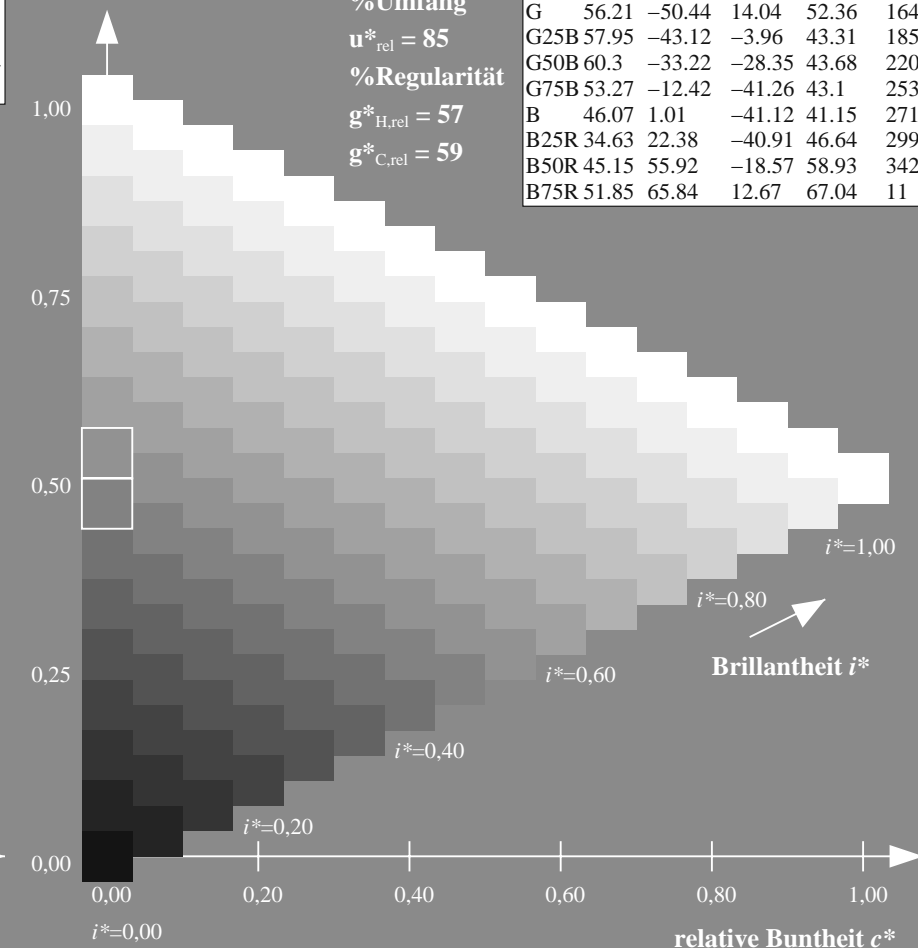
%Regularität

$g^*_{H,rel} = 57$

$g^*_{C,rel} = 59$

ORS18; adaptierte CIELAB-Daten

	$L^*=L^*_a$	a^*_a	b^*_a	$C^*_{ab,a}$	$h^*_{ab,a}$
R	51.79	63.09	29.02	69.44	25
R25J	53.73	56.6	48.42	74.48	41
R50J	65.47	35.67	59.82	69.65	59
R75J	76.51	15.98	70.55	72.34	77
J	86.93	-2.58	80.67	80.71	92
J25G	84.92	-17.23	75.99	77.92	103
J50G	73.11	-32.96	59.0	67.58	119
J75G	60.06	-50.34	40.22	64.44	141
G	56.21	-50.44	14.04	52.36	164
G25B	57.95	-43.12	-3.96	43.31	185
G50B	60.3	-33.22	-28.35	43.68	220
G75B	53.27	-12.42	-41.26	43.1	253
B	46.07	1.01	-41.12	41.15	271
B25R	34.63	22.38	-40.91	46.64	299
B50R	45.15	55.92	-18.57	58.93	342
B75R	51.85	65.84	12.67	67.04	11



ZG900-7N, 9stufige Reihen für konstanten CIELAB Buntton 305/360 = 0.847 (links) Seite 35/36

ZG900-7N, 16stufige Reihen für konstanten CIELAB Buntton 305/360 = 0.847 (rechts) n

Eingabe: Farbmétrisches Offset-Reflektiv-System ORS18

für Buntton $h^* = lab^*h = 354/360 = 0.982$

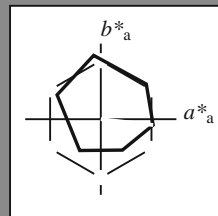
lab^*tch und lab^*nch

D65: Buntton M

LCH*Ma: 52 70 354

olv*Ma: 1.0 0.0 1.0

Dreiecks-Helligkeit t^*



%Umfang

$u^*_{rel} = 85$

%Regularität

$g^*_{H,rel} = 57$

$g^*_{C,rel} = 59$

ORS18; adaptierte CIELAB-Daten					
	$L^*=L^*_a$	a^*_a	b^*_a	$C^*_{ab,a}$	$h^*_{ab,a}$
O _{Ma}	51.74	60.16	46.48	76.02	38
Y _{Ma}	90.77	-9.44	84.41	84.94	96
L _{Ma}	54.46	-57.8	32.16	66.15	151
C _{Ma}	61.56	-27.91	-41.41	49.95	236
V _{Ma}	31.3	28.61	-40.85	49.88	305
M _{Ma}	51.91	69.26	-7.69	69.68	354
N _{Ma}	24.2	0.0	0.0	0.0	0
W _{Ma}	95.41	0.0	0.0	0.0	0
R _{CIE}	44.36	53.97	24.82	59.4	25
J _{CIE}	82.39	-1.99	62.34	62.37	92
G _{CIE}	55.68	-38.87	10.82	40.36	164
B _{CIE}	35.76	1.06	-43.09	43.11	271

Ausgabe: Farbmétrisches Offset-Reflektiv-System ORS18

für Buntton $h^* = lab^*h = 354/360 = 0.982$

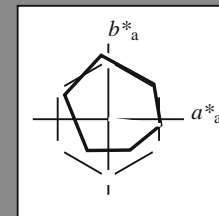
lab^*tch und lab^*nch

D65: Buntton M

LCH*Ma: 52 70 354

olv*Ma: 1.0 0.0 1.0

Dreiecks-Helligkeit t^*



%Umfang

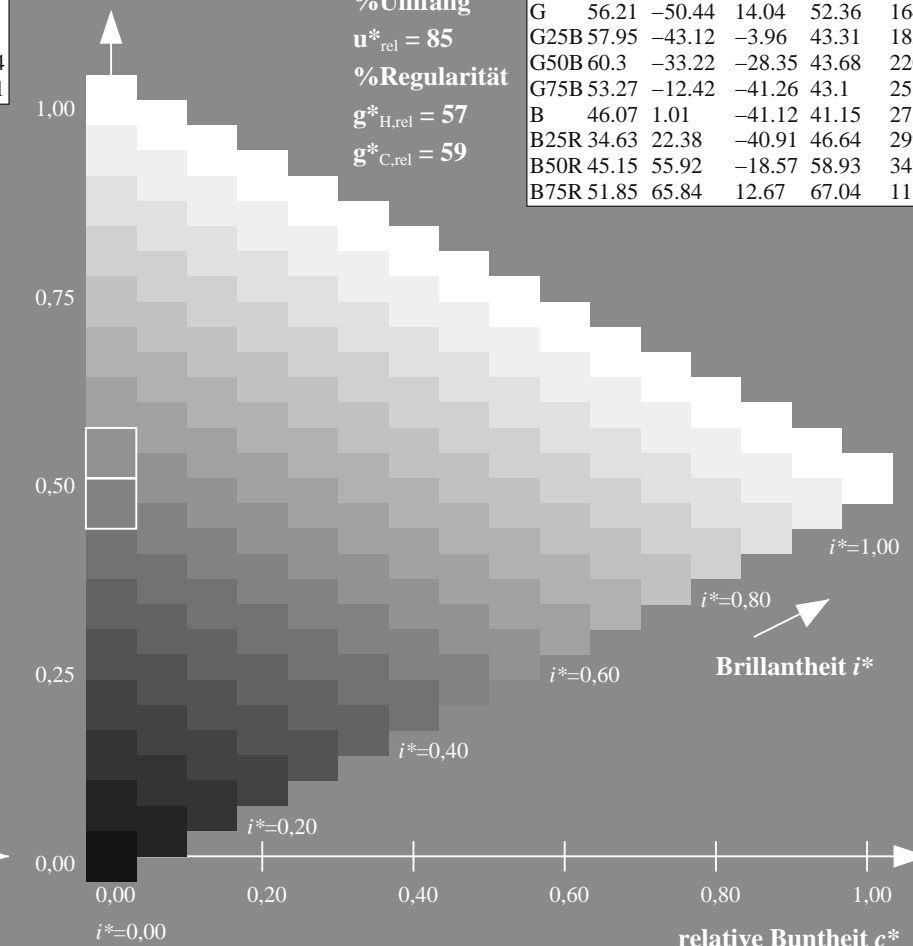
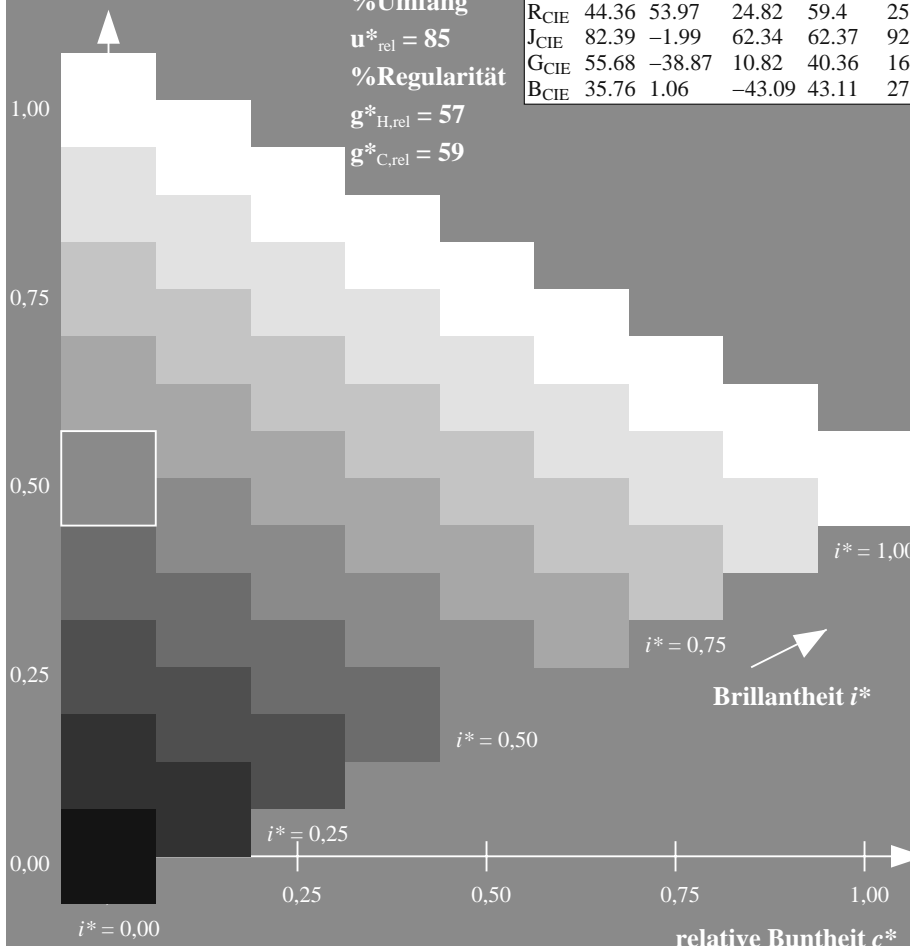
$u^*_{rel} = 85$

%Regularität

$g^*_{H,rel} = 57$

$g^*_{C,rel} = 59$

ORS18; adaptierte CIELAB-Daten					
	$L^*=L^*_a$	a^*_a	b^*_a	$C^*_{ab,a}$	$h^*_{ab,a}$
R	51.79	63.09	29.02	69.44	25
R25J	53.73	56.6	48.42	74.48	41
R50J	65.47	35.67	59.82	69.65	59
R75J	76.51	15.98	70.55	72.34	77
J	86.93	-2.58	80.67	80.71	92
J25G	84.92	-17.23	75.99	77.92	103
J50G	73.11	-32.96	59.0	67.58	119
J75G	60.06	-50.34	40.22	64.44	141
G	56.21	-50.44	14.04	52.36	164
G25B	57.95	-43.12	-3.96	43.31	185
G50B	60.3	-33.22	-28.35	43.68	220
G75B	53.27	-12.42	-41.26	43.1	253
B	46.07	1.01	-41.12	41.15	271
B25R	34.63	22.38	-40.91	46.64	299
B50R	45.15	55.92	-18.57	58.93	342
B75R	51.85	65.84	12.67	67.04	11



ZG900-7N, 9stufige Reihen für konstanten CIELAB Buntton 354/360 = 0.982 (links)

Seite 36/36

ZG900-7N, 16stufige Reihen für konstanten CIELAB Buntton 354/360 = 0.982 (rechts)

n

BAM-Prüfvorlage ZG90; Farbmétrik-Systeme, Seite 36/36 Eingabe: $rgb / cmy0 set(rgb/cmyk)color$

D65: 9 und 16stufige Farbreihen für 6 Geräte-Bunttöne

Ausgabe: $-> cmy5* setcmykcolor$